

به نام خدا



دانشکده مهندسی برق و رباتیک
گروه مهندسی برق قدرت

تنظیم و موقعیت یابی پایدارساز سیستم با در نظر گرفتن تأثیرات مدل و پارامترهای سیستم تحریک

نگارش:

میثم رحمتیان

استاد راهنما:

دکتر محسن اصیلی

ارائه شده جهت اخذ درجه کارشناسی ارشد مهندسی برق قدرت

شهریور ماه ۱۳۹۱

شماره : آ.آ.ت.ب ۹۷

تاریخ : ۹۱/۰۶/۲

ویرایش :

بسمه تعالیٰ



مدیریت تحصیلات تکمیلی

فرم شماره (۶)

فرم صور تجلیسه دفاع پایان نامه تحصیلی دوره کارشناسی ارشد

با تأییدات خداوند متعال و با استعانت از حضرت ولی عصر (عج) جلسه دفاع از پایان نامه کارشناسی ارشد خانم / آقای :

میثم رحمتیان رشته: برق گرایش: قدرت

تحت عنوان: **تنظيم و موقعیت یابی پایدارساز میثم قدرت با درنظر گرفت تاثیرات مول و پارامترهای میثم تعریف**
که در تاریخ ۹۱/۰۶/۲۷ با حضور هیأت محترم داوران در دانشگاه صنعتی شاہروود برگزار گردید به شرح زیر است:

مردود

دفاع مجدد

قبول (با درجه:
پسرانه امتیاز ۱۸/۴۶)

۲- بسیار خوب (۱۸/۹۹ - ۱۸/۹۹)

۱- عالی (۱۹ - ۲۰)

۴- قابل قبول (۱۵/۹۹ - ۱۴/۹۹)

۳- خوب (۱۷/۹۹ - ۱۶/۹۹)

۵- نمره کمتر از ۱۴ غیر قابل قبول

امضاء	موتبه علمی	نام و نام خانوادگی	عضو هیأت داوران
	استاد	دکتر راهنمایه	۱- استاد راهنما
-	-	-	۲- استاد مشاور
	-	دکتر محمد رضا هیدری	۳- نماینده شورای تحصیلات تکمیلی
	استاد	دکتر فرزاد ابراهیمی	۴- استاد ممتحن
	استاد	دکتر حمید زاره	۵- استاد ممتحن

رئیس دانشکده:

تعهد نامه

اینجانب هیئت مدیره دانشگاه صنعتی شاهرود نویسنده پایان نامه با عنوان :

رباتیک دانشگاه صنعتی شاهرود نویسنده پایان نامه با عنوان :

..... تضمیم و مددخواست یافته

..... پایه ریاضی و مهندسی برق با درجه امتیاز ۱۰۰٪ و با امتیازی سیمین درجه بر

تحت راهنمای آقای دکتر هحسن اصلی معهد می شوم :

- تحقیقات در این پایان نامه توسط اینجانب انجام شده است و از صحت و اصالت برخوردار است .
- در استفاده از نتایج پژوهش‌های محققان دیگر به مرجع مورد استفاده استناد شده است .
- مطالب مندرج در پایان نامه تاکنون توسط خود یا فرد دیگری برای دریافت هیچ نوع مدرک یا امتیازی در هیچ جا ارزش نشده است .
- کلیه حقوق معنوی این اثر متعلق به دانشگاه صنعتی شاهرود می باشد و مقالات مستخرج با نام « دانشگاه صنعتی شاهرود » و یا **Shahrood University of Technology** » به چاپ خواهد رسید .
- حقوق معنوی تمام افرادی که در به دست آمدن نتایج اصلی پایان نامه تأثیرگذار بوده اند در مقالات مستخرج از پایان نامه رعایت می گردد .
- در کلیه مراحل انجام این پایان نامه، در مواردی که از موجود زنده (یا بافت های آنها) استفاده شده است ضوابط و اصول اخلاقی رعایت شده است .
- در کلیه مراحل انجام این پایان نامه، در مواردی که به حوزه اطلاعات شخصی افراد دسترسی یافته یا استفاده شده است اصل رازداری ، ضوابط و اصول اخلاق انسانی رعایت شده است .

تاریخ: ۹۱/۶/۲۷

امضاء دانشجو

مالکیت نتایج و حق نشر

- کلیه حقوق معنوی این اثر و محصولات آن (مقالات مستخرج ، کتاب ، برنامه های رایانه ای ، نرم افزار ها و تجهیزات ساخته شده است) متعلق به دانشگاه صنعتی شاهرود می باشد . این مطلب باید به نحو مقتضی در تولیدات علمی مربوطه ذکر شود .
- استفاده از اطلاعات و نتایج موجود در پایان نامه بدون ذکر مرجع مجاز نمی باشد .

* متن این صفحه نیز باید در ابتدای نسخه های تکثیر شده پایان نامه وجود داشته باشد .

تقدیم به پیشگاه

پدر و مادر عزیزم

و برادر مهربانم

تقدیر و تشکر:

پس از حمد و سپاس خداوند مهربان که بی لطفش هیچ میسر نیست، بر خود لازم می‌دانم که از زحمات استاد ارجمند آقای دکتر محسن اصیلی که راهنما و مشوق اینجانب در انجام این پروژه بوده‌اند سپاسگزاری نمایم.

همچنین لازم است از زحمات و تلاش‌های آقایان دکتر رجبی، مهندس مرتضوی، مهندس یزدان پناه و تمامی کارشناسان گروه تحقیقات شرکت برق منطقه‌ای خراسان که در این پروژه و بخصوص در مرحله گردآوری اطلاعات آن، یاریگر اینجانب بوده‌اند تشکر و قدردانی کنم. نیز از اعضای محترم هیئت داوری آقایان دکتر مهدی باززاد و دکتر حسین قلی زاده به خاطر حضور در جلسه دفاعیه و رفع اشکالات این پایان‌نامه، و از دوست خوبم آقای مهندس لمعی به خاطر الطافشان تشکر و سپاسگزاری می‌کنم.

چکیده:

پایدار ساز سیستم قدرت (PSS) به عنوان یک سیستم کنترلی برای بهبود میرایی نوسانات فرکانس پایین مورد استفاده قرار می‌گیرد. استفاده از آن زمانی موثر خواهد بود که از پارامترهای مناسب برای تنظیم آن استفاده شود. بر اساس مطالعات صورت گرفته، روش غالب برای تنظیم پایدار ساز، متدهای جبران سازی فاز می‌باشد. فاز جبران سازی که زاویه‌ای پس فاز است، بر مبنای اطلاعات شبکه، ژنراتور و سیستم تحریک و در فرکانس معین مد نوسانی بدست خواهد آمد. عدم قطعیت در اطلاعات هر یک از موارد ذکر شده‌ی بالا منجر به محاسبه‌ی نادرست زاویه‌ی جبران سازی می‌شود که نتیجه‌ی آن اثر گذاری بر روی کارآمدی PSS خواهد بود. با فرض در دسترس بودن اطلاعات مربوط به شبکه و ژنراتور، در شبکه‌های بزرگ و پیچیده عدم قطعیت برای اطلاعات مدل و پارامترهای سیستم تحریک نمی‌تواند اجتناب پذیر باشد. از طرفی انجام مطالعات برای شناسایی دقیق مدل و پارامترهای سیستم تحریک به منظور رفع این عدم قطعیت زمان بر و پر هزینه می‌باشد. بنابراین نیازمند انجام مطالعاتی برای تعیین اثرگذاری این عدم قطعیت بر روی تنظیم PSS خواهیم بود. در این حالت عدم قطعیت مزبور به طور مستقیم بر روی تنظیم PSS تأثیر خواهد گذاشت.

از طرفی دیگر، زاویه‌ی جبران سازی در فرکانس مشخصی بدست خواهد آمد. از آن جا که سیستم‌های تحریک یکی از عوامل موثر بر پایداری سیگنال کوچک هستند، می‌توانند در نتایج آنالیزهای پایداری مانند آنالیز مقادیر ویژه تأثیر گذار باشند. بنابراین اگر عدم قطعیت مذکور بتواند فرکانس مد الکترومکانیکی را تغییر دهد، ممکن است مقدار زاویه‌ی جبران سازی و در نتیجه تنظیم PSS نیز از آن تأثیر بپذیرند. بنابراین باید از میزان اثر گذاری مدل‌ها و پارامترهای مختلف سیستم تحریک بر روی مد الکترومکانیکی مطلع باشیم.

بر این اساس نتایج پایان‌نامه در دو فصل مربوط به اثر گذاری مدل‌ها و پارامترهای مختلف تحریک بر روی مد الکترومکانیکی و شیفت فاز جبران سازی ارائه شده است.

Abstract :

Power system stabilizer (PSS) is used as a control system for improving low frequency oscillation damping. Its use will be effective when it is designed by an appropriate parameters. According to studies, the phase compensation method is generally used for designing power system stabilizers. In this method, the phase angle compensation is obtained based on network, generator and excitation system data. Uncertainty in each of these cases lead to incorrect calculation of the compensation angle and so influence on the design Procedure and will create a significant error in results. Although the data of the network and generators are available in large and complex networks, Uncertainty in model parameters and excitation system is inevitable. Studies to identify the exact model and system parameters in order to eliminate the uncertainty would be time consuming and expensive. In this thesis the effect of this uncertainty on efficiency of power system stabilizer design has been studied. In this case, the uncertainty will effect directly on PSS tuning.

On the other hand, the angle compensation will be obtained at a certain mode frequency. Since the excitation system is one of the factors that affect the small signal stability, can be affected on the results of the eigenvalue analysis stability. So if the uncertainty can change the frequency electromechanical mode, may result in the compensation angle and setting of PSS also take effect. Therefore we have to be informed the effect of excitation system models and parameters on the electromechanical mode.

The results of the thesis are provided in two chapters: the influence of different exciter models and parameters on electromechanical mode and phase shift compensation.

فهرست مطالب

۱	فصل ۱	۱
۱	۱ دیباچه	
۱	۱ پیش زمینه	۱-۱
۶	۲ پیکربندی پایان نامه	۲-۱
۷	۳ پایدار ساز سیستم قدرت	۳-۱
۸	۱-۳ سیگنال ورودی پایدار ساز سیستم قدرت	۱-۳-۱
۱۰	۲-۳ مکان نصب پایدار ساز سیستم قدرت	۲-۳-۱
۱۱	۱-۲-۳ مروری بر روش های ارائه شده برای موقعیت یابی PSS	۱-۲-۳-۱
۱۴	۳-۳ تنظیم پایدار ساز سیستم قدرت	۳-۳-۱
۱۷	۴-۱ سیستم های تحریک	۴-۱
۲۲	فصل ۲	
۲۲	۲ بررسی مدل های استاندارد سیستم های تحریک	
۲۲	۱-۲ مقدمه	۱-۲
۲۲	۲-۲ مدل های سیستم تحریک به منظور انجام مطالعات پایداری سیستم قدرت	۲-۲
۲۳	۳-۲ نمایش سیستم های تحریک ماشین سنکرون در مطالعات سیستم قدرت	۳-۲
۲۴	۱-۳-۲ مبدل ولتاژ پایانه و جبران کننده بار	۱-۳-۲
۲۵	۲-۳-۲ تنظیم کننده ولتاژ	۲-۳-۲
۲۶	۳-۳-۲ پایدار ساز سیستم قدرت	۳-۳-۲
۲۶	۴-۳-۲ مدار های محدود کننده و حفاظتی	۴-۳-۲
۲۷	۴-۲ انواع سیستم های تحریک	۴-۲
۲۷	۱-۴-۲ تحریک کننده جریان مستقیم - نوع <i>dc</i>	۱-۴-۲
۲۷	۱-۱-۴-۲ مدل سیستم تحریک نوع <i>DC1A</i>	۱-۱-۴-۲
۲۹	۲-۱-۴-۲ مدل سیستم تحریک نوع <i>DC2A</i>	۲-۱-۴-۲
۳۰	۳-۱-۴-۲ مدل سیستم تحریک نوع <i>DC3A</i>	۳-۱-۴-۲
۳۱	۴-۱-۴-۲ مدل سیستم تحریک نوع <i>DC4B</i>	۴-۱-۴-۲
۳۲	۲-۴-۲ سیستم های تحریک به همراه یکسو ساز و تغذیه شده از منبع جریان متناوب - نوع <i>AC</i>	۲-۴-۲
۳۳	۱-۲-۴-۲ مدل سیستم تحریک نوع <i>AC1A</i>	۱-۲-۴-۲

۳۴	مدل سیستم تحریک نوع <i>AC2A</i>	۲-۲-۴-۲
۳۵	مدل سیستم تحریک نوع <i>AC3A</i>	۳-۲-۴-۲
۳۷	مدل سیستم تحریک نوع <i>AC4A</i>	۴-۲-۴-۲
۳۷	مدل سیستم تحریک نوع <i>AC5A</i>	۵-۲-۴-۲
۳۸	مدل سیستم تحریک متناوب نوع <i>AC6A</i>	۶-۲-۴-۲
۳۹	مدل سیستم تحریک متناوب نوع <i>AC8B</i>	۷-۲-۴-۲
۴۰	سیستم‌های تحریک استاتیک- نوع <i>ST</i>	۳-۴-۲
۴۱	مدل سیستم تحریک استاتیک نوع <i>ST1A</i>	۱-۳-۴-۲
۴۳	مدل سیستم تحریک استاتیک نوع <i>ST2A</i>	۲-۳-۴-۲
۴۴	مدل سیستم تحریک استاتیک نوع <i>ST3A</i>	۳-۳-۴-۲
۴۵	مدل سیستم تحریک استاتیک نوع <i>ST4A</i>	۴-۳-۴-۲
۴۶		فصل ۳
۴۶	۳ پایدار سازهای سیستم‌های قدرت	
۴۶	مقدمه	۱-۳
۴۷	نمایش ساختار پایدار سازهای سیستم قدرت	۲-۳
۴۸	انواع سیستم‌های پایدار ساز قدرت	۳-۳
۴۸	مدل پایدار ساز سیستم قدرت نوع <i>PSS1A</i>	۱-۳-۳
۴۹	مدل پایدار ساز سیستم قدرت نوع <i>PSS2B</i>	۲-۳-۳
۵۰	مدل پایدار ساز سیستم قدرت نوع <i>PSS3B</i>	۳-۳-۳
۵۱	مدل پایدار ساز سیستم قدرت نوع <i>PSS4B</i>	۴-۳-۳
۵۳	اصول عملکرد بهینه پایدار ساز سیستم قدرت	۴-۳
۵۳	موقعیت یابی پایدار ساز سیستم قدرت	۱-۴-۳
۵۵	تنظیم پایدار ساز سیستم قدرت	۲-۴-۳
۶۰		فصل ۴
۶۰	۴ بررسی اثر عدم قطعیت در اطلاعات سیستم‌های تحریک بر روی مد الکترومکانیکی	
۶۰	مقدمه	۱-۴
۶۱	اثر گذاری عدم قطعیت در اطلاعات سیستم تحریک بر روی مدهای الکترومکانیکی	۲-۴
۶۲	شبکه تک ماشین متصل به باس بی‌نهایت	۱-۲-۴
۶۴	مدل سیستم تحریک استاندارد <i>IEEET1</i>	۱-۱-۲-۴

۶۸	مدل سیستم تحریک <i>AC1A</i>	۲-۱-۲-۴
۷۰	مدل سیستم تحریک <i>DC1A</i>	۳-۱-۲-۴
۷۳	مدل سیستم تحریک <i>ST1A</i>	۴-۱-۲-۴
۷۵	نتایج مطالعات در شبکه تک ماشین متصل به باس بی‌نهایت	۵-۱-۲-۴
۷۸	شبکه‌ی نمونه ۲ ناحیه‌ای ۴ ماشینه	۲-۲-۴
۷۹	تأثیر مدل‌های مختلف سیستم تحریک بر روی مد بین ناحیه‌ای شبکه‌ی ۴ ماشینه	۱-۲-۲-۴
۸۰	تأثیر پارامترهای مختلف سیستم تحریک بر روی مد بین ناحیه‌ای شبکه‌ی ۴ ماشینه	۲-۲-۲-۴
۸۵	نتایج مطالعات در شبکه دو ناحیه‌ای ۴ ماشینه	۳-۲-۲-۴
۸۶	فصل ۵
۸۶	۵ بررسی اثر عدم قطعیت در اطلاعات سیستم‌های تحریک بر شیفت فاز جبران سازی	
۸۶	۱-۵ مقدمه
۸۷	سیستم‌های تحریک متناوب	۲-۵
۸۷	بررسی تأثیر پارامترها بر روی شیفت فاز مدل‌های سیستم تحریک متناوب	۱-۲-۵
۸۷	سیستم تحریک مدل <i>AC1A</i>	۱-۱-۲-۵
۹۰	سیستم تحریک مدل <i>AC2A</i>	۲-۱-۲-۵
۹۲	سیستم تحریک مدل <i>AC3A</i>	۳-۱-۲-۵
۹۴	سیستم تحریک مدل <i>AC4A</i>	۴-۱-۲-۵
۹۵	سیستم تحریک مدل <i>AC5A</i>	۵-۱-۲-۵
۹۶	سیستم تحریک مدل <i>AC6A</i>	۶-۱-۲-۵
۹۸	سیستم تحریک مدل <i>AC8B</i>	۷-۱-۲-۵
۱۰۰	نتایج بررسی تأثیر عدم قطعیت در پارامترهای تحریک متناوب بر روی شیفت فازی	۲-۲-۵
۱۰۰	امکان سنجی تنظیم PSS در شرایط عدم قطعیت مدل سیستم تحریک متناوب	۳-۲-۵
۱۰۲	بررسی طراحی روابست PSS	۴-۲-۵
۱۰۲	مقایسه تشابه طراحی PSS در مدل‌های تحریک متناوب	۱-۴-۲-۵
۱۰۶	سیستم تحریک متناوب مدل <i>AC1A</i>	۲-۴-۲-۵
۱۰۷	سیستم تحریک متناوب مدل <i>AC2A</i>	۳-۴-۲-۵
۱۰۸	سیستم تحریک متناوب مدل <i>AC4A</i>	۴-۴-۲-۵
۱۰۹	سیستم تحریک متناوب مدل <i>AC8B</i>	۵-۴-۲-۵
۱۰۹	سیستم تحریک متناوب مدل <i>AC5A</i>	۶-۴-۲-۵

۱۱۰	سیستم تحریک متناوب مدل AC6A	۷-۴-۲-۵
۱۱۰	سیستم تحریک متناوب مدل AC3A	۸-۴-۲-۵
۱۱۱	نتایج بررسی تأثیر عدم قطعیت در مدل‌های تحریک متناوب بر روی شیفت فازی	۵-۲-۵
۱۱۲	سیستم‌های تحریک استاتیک	۳-۵
۱۱۲	بررسی تأثیر پارامترها بر روی شیفت فاز مدل‌های سیستم تحریک استاتیک	۱-۳-۵
۱۱۲	سیستم تحریک مدل ST1A	۱-۱-۳-۵
۱۱۳	سیستم تحریک مدل ST2A	۲-۱-۳-۵
۱۱۵	سیستم تحریک مدل ST3A	۳-۱-۳-۵
۱۱۶	سیستم تحریک مدل ST4B	۴-۱-۳-۵
۱۱۸	نتایج بررسی تأثیر عدم قطعیت در پارامترهای تحریک استاتیک بر روی شیفت فاز	۲-۳-۵
۱۱۸	امکان‌سنجی تنظیم PSS در شرایط عدم قطعیت در مدل تحریک استاتیک	۳-۳-۵
۱۱۹	بررسی طراحی روابط PSS برای سیستم تحریک استاتیک	۴-۳-۵
۱۱۹	مقایسه تشابه طراحی PSS در مدل‌های تحریک استاتیک	۱-۴-۳-۵
۱۲۱	سیستم تحریک استاتیک مدل ST1A	۲-۴-۳-۵
۱۲۳	سیستم تحریک استاتیک مدل ST2A	۳-۴-۳-۵
۱۲۳	سیستم تحریک استاتیک مدل ST3A	۴-۴-۳-۵
۱۲۴	سیستم تحریک استاتیک مدل ST4B	۵-۴-۳-۵
۱۲۵	نتایج بررسی تأثیر عدم قطعیت در مدل‌های تحریک استاتیک بر روی شیفت فازی	۵-۳-۵
۱۳۸	فصل ۶	
۱۲۶	نتیجه گیری و پیشنهادات	
۱۲۹	پیوست ۱	
۱۲۹	پارامترها و مشخصات شبکه‌های تست	
۱۲۹	الف. شبکه‌ی تک ماشین متصل به باس بی‌نهایت	
۱۲۹	ب. شبکه‌ی نمونه دو ناحیه‌ای ۴ ماشینه	
۱۳۱	مراجع	

فهرست شکل‌ها

شکل ۱-۱ : تغییرات زاویه روتور در اثر تغییرات گشتاور الکتریکی.	۲
شکل ۲-۱ شاخه بندی پایداری سیستم قدرت.....	۳
شکل ۳-۱ : نمودار بلوکی پایدار ساز سیستم قدرت با ورودی سرعت- توان.....	۱۰
شکل ۴-۱ : دیاگرام سیستم تک ماشین و باس بی نهایت به همراه بلوک‌های اکسایتر و تنظیم کننده‌ی اتوماتیک ولتاژ	۱۸
شکل ۴-۲ : آرایش ارتباط و ترتیب مؤلفه‌های تحریک	۲۳
شکل ۵-۱ : بلوک دیاگرام سیستم کنترل تحریک ماشین سنکرون.....	۲۴
شکل ۵-۲ : بلوک دیاگرام مبدل ولتاژ پایانه به همراه جبران ساز بار.....	۲۵
شکل ۶-۱ : تحریک کننده با کموتاتور DC - نوع DC1A	۲۸
شکل ۶-۲ : تحریک کننده با کموتاتور DC - نوع DC2A با تغذیه تنظیم کننده ولتاژ از باس	۲۹
شکل ۶-۳ : تحریک کننده با کموتاتور DC - نوع DC3A	۳۱
شکل ۶-۴ : تحریک کننده با کموتاتور DC - نوع DC4B	۳۲
شکل ۷-۱ : اثر یکسو ساز کنترل نشده‌ی سه فاز بر خروجی تحریک کننده.....	۳۳
شکل ۹-۱ : سیستم تحریک به همراه یکسو ساز و منبع جریان متناوب با فیدبک از جریان میدان تحریک کننده- نوع AC1A	۳۴
شکل ۱۰-۱ : سیستم تحریک با پاسخ اولیه سریع به همراه یکسو ساز کنترل نشده و منبع جریان متناوب با فیدبک از جریان میدان - نوع AC2A	۳۵
شکل ۱۱-۱ : تحریک کننده با یکسو ساز و منبع جریان متناوب به همراه محدود کننده جریان میدان- نوع AC3A	۳۶
شکل ۱۲-۱ : تحریک کننده با منبع تغذیه‌ی متناوب به همراه یکسو ساز قابل کنترل- مدل AC4A	۳۷
شکل ۱۳-۱ : نمایش ساده شده سیستم تحریک با یکسو ساز دوار- نوع AC5A	۳۸
شکل ۱۴-۱ : نمایش ساده شده سیستم تحریک با یکسو ساز دوار- نوع AC6A	۳۸
شکل ۱۵-۱ : سیستم تحریک متناوب به همراه یکسو ساز- نوع AC8A	۳۹
شکل ۱۶-۱ : یکسو ساز تمام پل کنترل شده سه فاز.....	۴۱
شکل ۱۷-۱ : تحریک کننده با یکسو ساز قابل کنترل و منبع پتانسیل نوع ST1A	۴۲
شکل ۱۸-۱ : تحریک کننده با یکسو ساز و به همراه منبع کمپوند نوع ST2A	۴۳
شکل ۱۹-۱ : تحریک کننده با یکسو ساز قابل کنترل و منبع کمپوند به همراه حلقه کنترل ولتاژ میدان – مدل ST3A	۴۴
شکل ۲۰-۱ : تحریک کننده با یکسو ساز قابل کنترل و به همراه منبع کمپوند یا منبع پتانسیل – مدل ST4A	۴۵

..... ۴۷	شکل ۱-۳ : حلقه کنترلی اضافی (PSS) برای سیستم تنظیم‌کننده ولتاژ
..... ۴۷ شکل ۲-۳ : مؤلفه‌های اصلی یک PSS
..... ۴۹ شکل ۳-۳ : PSS با یک ورودی- مدل PSS1A
..... ۴۹ شکل ۴-۳ : PSS با دو ورودی- مدل PSS2B
..... ۵۱ شکل ۵-۳ : PSS با دو ورودی- مدل PSS3B
..... ۵۲ شکل ۶-۳ : PSS مدل PSS4B
..... ۵۳ شکل ۷-۳ : ترانسیدیوسرهای انحراف سرعت PSS
..... ۵۶ شکل ۸-۳ : مدل تک ماشین و باس بی‌نهایت هفرون- فیلیپس
..... ۵۷ شکل ۹-۳ : دیاگرام بد برایتابع تبدیل پیش فاز- پس فاز
..... ۶۲ شکل ۱-۴ : شماتیک تک خطی سیستم تک ماشین و باس بی‌نهایت
..... ۶۴ شکل ۲-۴ : دیاگرام تک خطی مدل سیستم تحریک IEEET1
..... ۶۷ شکل ۳-۴ : اثر تغییر پارامترهای سیستم تحریک IEEET1 بر روی مد الکترومکانیکی
..... ۶۹ شکل ۴-۴ : اثر تغییر پارامترهای سیستم تحریک AC1A بر روی مد الکترومکانیکی
..... ۷۲ شکل ۵-۴ : اثر تغییر پارامترهای سیستم تحریک DC1A بر روی مد الکترومکانیکی
..... ۷۴ شکل ۶-۴ : اثر تغییر پارامترهای سیستم تحریک ST1A بر روی مد الکترومکانیکی
..... ۷۶ شکل ۷-۴ نرخ تغییرات مد شبکه تک ماشینه برای مدل‌های مختلف تحریک
..... ۷۸ شکل ۸-۴ : مدل شبکه‌ی نمونه دو ناحیه‌ای ۴ ماشینه
..... ۸۰ شکل ۹-۴ : نرخ تغییرات مد شبکه ۴ ماشینه برای مدل‌های مختلف تحریک
..... ۸۱ شکل ۱۰-۴ : اثر تغییر پارامترهای سیستم تحریک IEEET1 بر روی مد بین ناحیه‌ای
..... ۸۲ شکل ۱۱-۴ : اثر تغییر پارامترهای سیستم تحریک AC1A بر روی مد بین ناحیه‌ای
..... ۸۳ شکل ۱۲-۴ : اثر تغییر پارامترهای سیستم تحریک DC1A بر روی مد بین ناحیه‌ای
..... ۸۴ شکل ۱۳-۴ : اثر تغییر پارامترهای سیستم تحریک ST1A بر روی مد بین ناحیه‌ای
..... ۱۰۱ شکل ۱-۵ : منحنی مکان هندسی شیفت فاز سیستم‌های تحریک متناوب
..... ۱۰۴ شکل ۲-۵ : منحنی مکان هندسی شیفت فاز سیستم‌های تحریک AC8B AC4A AC2A ACIA
..... ۱۰۴ شکل ۳-۵ : منحنی مکان هندسی شیفت فاز سیستم‌های تحریک AC3A AC6A AC5A
..... ۱۱۹ شکل ۴-۵ : منحنی مکان هندسی شیفت فاز سیستم‌های تحریک استاتیک

فهرست جدول‌ها

جدول ۱-۴ : مقادیر ویژه شبکه تک ماشین بدون سیستم تحریک.....	۶۳
جدول ۲-۴ : آنالیز ضرایب مشارکت مد الکترومکانیکی برای سیستم بدون تحریک	۶۳
جدول ۳-۴ : مقادیر نوعی پارامترهای مدل سیستم تحریک <i>IEEET1</i>	۶۵
جدول ۴-۴ : مد الکترومکانیکی شبکه تک ماشین با سیستم تحریک <i>IEEET1</i>	۶۵
جدول ۵-۴ : آنالیز ضرایب مشارکت مد الکترومکانیکی با سیستم تحریک <i>IEEET1</i>	۶۵
جدول ۶-۴ : تغییرات مد الکترومکانیکی بر مبنای تغییر در پارامترهای سیستم تحریک <i>IEEET1</i>	۶۷
جدول ۷-۴ : مقادیر نوعی مدل سیستم تحریک <i>AC1A</i>	۶۸
جدول ۸-۴ : مد الکترومکانیکی شبکه تک ماشین با سیستم تحریک <i>AC1A</i>	۶۸
جدول ۹-۴ : آنالیز ضرایب مشارکت مد الکترومکانیکی با سیستم تحریک <i>AC1A</i>	۶۹
جدول ۱۰-۴ : تغییرات مد الکترومکانیکی بر مبنای تغییر در پارامترهای سیستم تحریک <i>AC1A</i>	۷۰
جدول ۱۱-۴ : مقادیر نوعی مدل سیستم تحریک <i>DC1A</i>	۷۰
جدول ۱۲-۴ : مد الکترومکانیکی شبکه تک ماشین با سیستم تحریک <i>DC1A</i>	۷۱
جدول ۱۳-۴ : آنالیز ضرایب مشارکت مد الکترومکانیکی با سیستم تحریک <i>DC1A</i>	۷۱
جدول ۱۴-۴ : تغییرات مد الکترومکانیکی بر مبنای تغییر در پارامترهای سیستم تحریک <i>DC1A</i>	۷۲
جدول ۱۵-۴ : مقادیر نوعی مدل سیستم تحریک <i>ST1A</i>	۷۳
جدول ۱۶-۴ : مد الکترومکانیکی شبکه تک ماشین با سیستم تحریک <i>ST1A</i>	۷۳
جدول ۱۷-۴ : آنالیز ضرایب مشارکت مد الکترومکانیکی با سیستم تحریک <i>ST1A</i>	۷۴
جدول ۱۸-۴ : تغییرات مد الکترومکانیکی بر مبنای تغییر در پارامترهای سیستم تحریک <i>ST1A</i>	۷۵
جدول ۱۹-۴ : نتایج تأثیر تغییرات مدل تحریک بر مد الکترومکانیکی شبکه‌ی تک ماشینه	۷۶
جدول ۲۰-۴ : نتایج تأثیر تغییرات مدل‌های تحریک بر مد الکترومکانیکی سیستم ۴ ماشینه	۷۹
جدول ۲۱-۴ : تغییرات مد بین ناحیه‌ای بر مبنای تغییر در پارامترهای سیستم تحریک <i>IEEET1</i>	۸۱
جدول ۲۲-۴ : تغییرات بین ناحیه‌ای بر مبنای تغییر در پارامترهای سیستم تحریک <i>AC1A</i>	۸۲

جدول ۲۳-۴ : تغییرات مد بین ناحیه‌ای بر مبنای تغییر در پارامترهای سیستم تحریک DCIA	۸۳
جدول ۲۴-۴ : تغییرات مد بین ناحیه‌ای بر مبنای تغییر در پارامترهای سیستم تحریک STIA	۸۴
جدول ۱-۵ : مقادیر پارامترهای موثر در مدل ACIA	۸۹
جدول ۲-۵ : مقدار تغییر فاز به سبب تغییر پارامترهای مدل ACIA در فرکانس ۰/۲۷ هرتز	۹۰
جدول ۳-۵ : مقدار حساسیت شیفت فاز نسبت به تغییر پارامترهای مدل ACIA	۹۰
جدول ۴-۵ : مقادیر پارامترهای موثر در مدل AC2A و تغییرات اعمال شده	۹۱
جدول ۵-۵ : مقدار تغییر فاز به سبب تغییر پارامترهای مدل AC2A در فرکانس ۰/۲۷ هرتز	۹۱
جدول ۶-۵ : مقدار حساسیت شیفت فاز نسبت به تغییر پارامترهای AC2A	۹۲
جدول ۷-۵ : مقادیر پارامترهای موثر در مدل AC3A و تغییرات اعمال شده	۹۲
جدول ۸-۵ مقدار تغییر فاز به سبب تغییر پارامترهای مدل AC3A در فرکانس ۰/۲۷ هرتز	۹۳
جدول ۹-۵ : مقدار حساسیت شیفت فاز نسبت به تغییر پارامترهای مدل AC3A	۹۳
جدول ۱۰-۵ : مقادیر پارامترهای موثر در مدل AC4A و تغییرات اعمال شده	۹۴
جدول ۱۱-۵ : مقدار تغییر فاز به سبب تغییر پارامترهای مدل AC4A در فرکانس ۰/۲۷ هرتز	۹۴
جدول ۱۲-۵ : مقدار حساسیت شیفت فاز نسبت به تغییر پارامترهای مدل AC4A	۹۴
جدول ۱۳-۵ : مقادیر پارامترهای موثر در مدل AC5A و تغییرات اعمال شده	۹۵
جدول ۱۴-۵ : مقدار تغییر فاز به سبب تغییر پارامترهای مدل AC5A در فرکانس ۰/۲۷ هرتز	۹۶
جدول ۱۵-۵ : مقدار حساسیت شیفت فاز نسبت به تغییر پارامترهای مدل AC5A	۹۶
جدول ۱۶-۵ : مقادیر پارامترهای موثر در مدل AC6A و تغییرات اعمال شده	۹۷
جدول ۱۷-۵ : مقدار تغییر فاز به سبب تغییر پارامترهای مدل AC6A در فرکانس ۰/۲۷ هرتز	۹۷
جدول ۱۸-۵ : مقدار حساسیت شیفت فاز نسبت به تغییر پارامترهای مدل AC6A	۹۸
جدول ۱۹-۵ : مقادیر پارامترهای موثر در مدل AC8A و تغییرات اعمال شده	۹۸
جدول ۲۰-۵ : مقادیر شیفت فاز به سبب تغییر پارامترهای مدل AC8B در فرکانس ۰/۲۷ هرتز	۹۹
جدول ۲۱-۵ : مقدار حساسیت شیفت فاز نسبت به تغییر پارامترهای مدل AC8B	۹۹

..... ۱۰۳	جدول ۲۲-۵ : شیفت فازی مدل‌های مختلف تحریک متناوب در ۴ مقدار فرکانسی
..... ۱۰۵	جدول ۲۳-۵ : نرخ تغییرات اندازه‌ی تابع پایدارساز در ۴ مقدار فرکانسی
..... ۱۰۵	جدول ۲۴-۵ : گروه‌بندی مدل‌های تحریک متناوب از لحاظ تشابه در تنظیم
..... ۱۰۶	جدول ۲۵-۵ : آنالیز مدل شبکه‌ی ۴ ماشینه برای سیستم تحریک ACIA
..... ۱۰۷	جدول ۲۶-۵ : مقادیر تنظیمی پارامترهای پایدارساز برای تمام مدل‌های سیستم تحریک متناوب
..... ۱۰۷	جدول ۲۷-۵ : آنالیز مقادیر ویژه در شبکه‌ی ۴ ماشینه برای سیستم تحریک ACIA با PSS
..... ۱۰۸	جدول ۲۸-۵ : آنالیز مقادیر ویژه در شبکه‌ی ۴ ماشینه برای سیستم تحریک AC2A قبل و بعد از اعمال PSS
..... ۱۰۸	جدول ۲۹-۵ : آنالیز مقادیر ویژه در شبکه‌ی ۴ ماشینه برای سیستم تحریک AC4A قبل و بعد از اعمال PSS
..... ۱۰۹	جدول ۳۰-۵ : آنالیز مقادیر ویژه در شبکه‌ی ۴ ماشینه برای سیستم تحریک AC8A قبل و بعد از اعمال PSS
..... ۱۰۹	جدول ۳۱-۵ : آنالیز مقادیر ویژه در شبکه‌ی ۴ ماشینه برای سیستم تحریک AC5A قبل و بعد از اعمال PSS
..... ۱۱۰	جدول ۳۲-۵ : آنالیز مقادیر ویژه در شبکه‌ی ۴ ماشینه برای سیستم تحریک AC6A قبل و بعد از اعمال PSS
..... ۱۱۱	جدول ۳۳-۵ : آنالیز مقادیر ویژه در شبکه‌ی ۴ ماشینه برای سیستم تحریک AC3A قبل و بعد از اعمال PSS
..... ۱۱۲	جدول ۳۴-۵ : مقادیر پارامترهای موثر در مدل STIA و تغییرات اعمال شده
..... ۱۱۳	جدول ۳۵-۵ : مقدار تغییر فاز به سبب تغییر پارامترهای مدل STIA در فرکانس ۰/۲۷ هرتز
..... ۱۱۳	جدول ۳۶-۵ : مقدار حساسیت شیفت فاز نسبت به تغییر پارامترهای مدل STIA
..... ۱۱۴	جدول ۳۷-۵ : مقادیر پارامترهای موثر در مدل ST2A و تغییرات اعمال شده
..... ۱۱۴	جدول ۳۸-۵ : مقدار تغییر فاز به سبب تغییر پارامترهای مدل ST2A در فرکانس ۰/۲۷ هرتز
..... ۱۱۵	جدول ۳۹-۵ : مقدار حساسیت شیفت فاز نسبت به تغییر پارامترهای مدل ST2A
..... ۱۱۵	جدول ۴۰-۵ : مقادیر پارامترهای موثر در مدل ST3A و تغییرات اعمال شده
..... ۱۱۶	جدول ۴۱-۵ : مقدار تغییر فاز به سبب تغییر پارامترهای مدل ST3A در فرکانس ۰/۲۷ هرتز
..... ۱۱۶	جدول ۴۲-۵ : مقدار حساسیت شیفت فاز نسبت به تغییر پارامترهای مدل ST3A
..... ۱۱۷	جدول ۴۳-۵ : مقادیر پارامترهای موثر در مدل ST4B و تغییرات اعمال شده
..... ۱۱۷	جدول ۴۴-۵ : مقدار تغییر فاز به سبب تغییر پارامترهای مدل ST4B در فرکانس ۰/۲۷ هرتز

۱۱۷	جدول ۴۵-۵ : مقدار حساسیت شیفت فاز نسبت به تغییر پارامترهای مدل <i>ST4B</i>
۱۲۰	جدول ۴۶-۵ : شیفت فازی مدل‌های تحریک استاتیک در ۴ مقدار فرکانسی
۱۲۰	جدول ۴۷-۵ : گروه‌بندی مدل‌های تحریک استاتیک از لحاظ تشابه در تنظیم
۱۲۱	جدول ۴۸-۵ : نرخ تغییرات اندازه‌یتابع تبدیل پایدارساز در ۴ مقدار فرکانسی
۱۲۱	جدول ۴۹-۵ : مقادیر تنظیم پایدارساز برای تمام مدل‌های سیستم تحریک استاتیک
۱۲۲	جدول ۵۰-۵ : آنالیز مقادیر ویژه در شبکه‌ی ۴ ماشینه برای سیستم تحریک <i>ST1A</i> قبل و بعد از اعمال PSS
۱۲۲	جدول ۵۱-۵ : آنالیز ضرایب مشارکت مد بین‌ناحیه‌ای با سیستم تحریک <i>ST1A</i>
۱۲۳	جدول ۵۲-۵ : آنالیز مقادیر ویژه در شبکه‌ی ۴ ماشینه برای سیستم تحریک <i>ST2A</i> قبل و بعد از اعمال PSS
۱۲۴	جدول ۵۳-۵ : آنالیز مقادیر ویژه در شبکه‌ی ۴ ماشینه برای سیستم تحریک <i>ST3A</i> قبل و بعد از اعمال PSS
۱۲۴	جدول ۵۴-۵ : آنالیز مقادیر ویژه در شبکه‌ی ۴ ماشینه برای سیستم تحریک <i>ST4B</i> قبل و بعد از اعمال PSS

فصل ۱

دیباچه

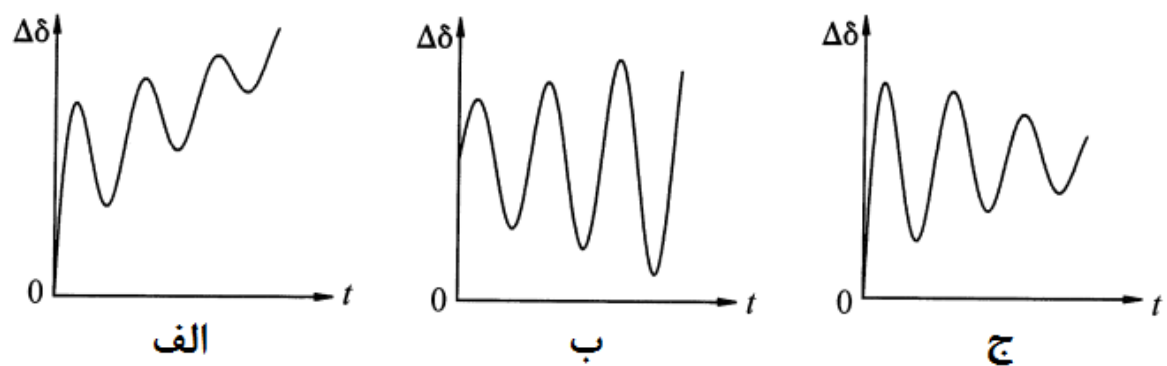
۱-۱ پیش زمینه

سیستم قدرت یکی از بزرگ‌ترین سیستم‌های دینامیکی و فیزیکی ساخت بشر می‌باشد. افزایش درخواست انرژی سبب گسترش روزافزون این سیستم‌ها شده است. این گستردگی و پیچیدگی، در چند سال اخیر توجه بسیاری از پژوهشگران را به جستجو و بررسی روش‌های بهبود و افزایش کرانه پایداری شبکه‌های قدرت و اداشته است. پایداری یک شبکه قدرت را به صورت توانایی آن در حفظ یک نقطه کار پایدار در حالت کار دائمی و یا بازگشت به یک نقطه کار پایدار بعد از بروز یک اغتشاش تعریف می‌کنند. سیستم قدرت به سبب ماهیت غیر خطی و دینامیکی خود دائماً تحت تأثیر عواملی است که موجب خارج شدن آن از نقطه‌ی کار پایدار می‌شود. بنابراین اساسی‌ترین مسئله در بهره برداری موثر از سیستم‌های قدرت حفظ و بهبود پایداری آن‌ها است. می‌توان گفت مهم‌ترین عناصر در سیستم قدرت، ژنراتورها می‌باشند. بدین ترتیب ساده‌ترین شکل پایداری در یک شبکه‌ی قدرت به عملکرد پایدار یک ژنراتور سنکرون مربوط می‌شود. این نوع پایداری توسط عواملی همچون محدودیت‌های سیم بندی استاتور و روتور، ماکزیمم توان خروجی ماشین و محدودیت‌های پایداری ماشین محدود می‌شود [۱].

در حالت پایدار مابین گشتاور مکانیکی ورودی ژنراتور سنکرون و گشتاور الکتریکی خروجی آن تعادل خوبی برقرار است. بروز عدم تعادل مابین این گشتاورها، به دلیل بروز اغتشاش در سیستم، سبب افزایش یا کاهش

در سرعت محور ژنراتور می‌شود. اگر این حالت برای ژنراتوری اتفاق بیافتد، اختلاف سرعت مابین آن و ژنراتور دیگر سبب اختلاف زاویه بین آن‌ها می‌شود. این اختلاف زاویه سبب می‌شود تا بخشی از توان ماشین کندر به ماشین تند تر منتقل شود. بنابراین نوسانات موجود در زاویه‌ی روتور سبب بروز نوسان در توان خروجی ژنراتور می‌شود. در صورت نبود سیستم کنترلی مناسب، این روند به صورت دائم اتفاق می‌افتد و منجر به ناپایداری سیستم می‌شود.

برای بیان چگونگی اثر گذاری یک اغتشاش بر پایداری سیستم، از تجزیه‌ی تغییرات گشتاور الکتریکی ماشین، حاصل شده از اغتشاش به دو مؤلفه‌ی گشتاورهای سنکرون کننده و میرا کننده استفاده می‌شود. گشتاور سنکرون کننده گشتاوری هم راستا با تغییرات زاویه‌ی روتور و گشتاور میرا کننده، گشتاوری هم راستا با تغییرات سرعت زاویه‌ی روتور می‌باشد و در صفحه‌ی مختلط 90° درجه جلوتر از مؤلفه‌ی سنکرون کننده می‌باشد. کمبود گشتاور سنکرون کننده منجر به ناپایداری غیر نوسانی زاویه‌ی روتور می‌شود (افزایش یکنواخت زاویه‌ی روتور) شکل ۱-۱-الف و از طرف دیگر کمبود گشتاور میراکنندگی منجر به ناپایداری نوسانی می‌شود (افزایش اندازه نوسان توان) شکل ۱-۱-ب. در نتیجه برای حصول پایداری وجود هر دو مؤلفه‌ی گشتاور لازم می‌باشد شکل ۱-۱-ج.



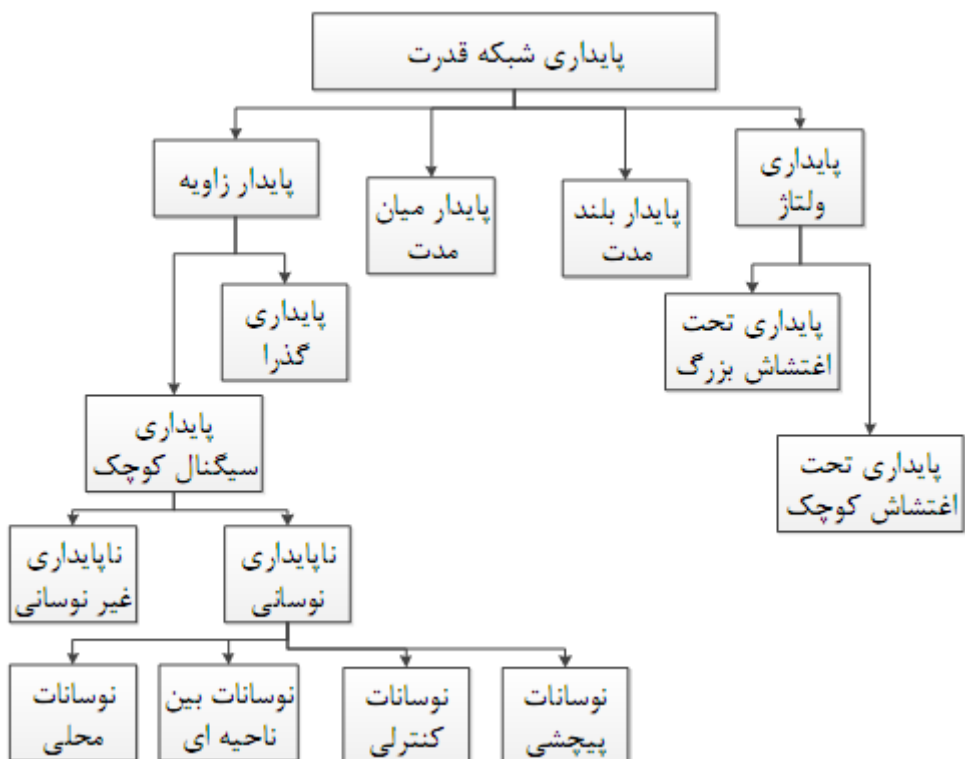
شکل ۱-۱ : تغییرات زاویه روتور در اثر تغییرات گشتاور الکتریکی. الف: گشتاور میراکننده مثبت و گشتاور سنکرون کننده منفی. ب: گشتاور میراکننده منفی و گشتاور سنکرون کننده مثبت. ج: گشتاور میراکننده مثبت و گشتاور سنکرون کننده مثبت [۱].

به منظور بررسی مشکلات پایداری و ارائه روش‌هایی برای بهبود آن، پایداری شبکه‌های قدرت به دو شاخه‌ی

واسع دسته بندی می‌شود (شکل ۲-۱):

الف. پایداری زاویه : توانایی شبکه در حفظ حالت هماهنگ ژنراتورها می‌باشد که نتیجه‌ی آن پایداری در روتور ماشین‌های سنکرون است.

ب. پایداری ولتاژ : توانایی شبکه در حفظ ولتاژهای حالت دائم کار می‌باشد.



شکل ۲-۱ : شاخه بندی پایداری سیستم قدرت [۱]

در این پایان‌نامه با توجه به اهمیت مسائل مطرح شده در حوزه پایداری سیگنال کوچک، توجه ویژه‌ای به بررسی پایداری زاویه شده است.

در حوزه‌ی پایداری زاویه دو شاخه‌ی زیر مطرح می‌باشند:

۱. پایداری گذرا.
۲. پایداری سیگنال کوچک یا فرکانس کوچک.

پایداری گذرا به ثابت زمانی و دامنه سیگنال اغتشاش وابسته است. این اغتشاش به طور معمول به صورت یک خطأ در سیستم‌های انتقال تعریف می‌شود. معمولاً توجه بسیاری به بهبود پاسخ کوتاه مدت شبکه‌های قدرت می‌شود. بنابراین شبکه به گونه طراحی می‌شود تا از نظر پایداری گذرا قابل اطمینان باشد. این قابلیت اطمینان با نصب رله‌هایی مانند رله‌های اضافه جریان، رله ریکلوزر و ... مهیا می‌شود.

نوع دیگر پایداری زاویه‌ی روتور، پایداری سیگنال کوچک می‌باشد. این نوع پایداری در اثر بروز اغتشاش‌های کوچک در شبکه مطرح می‌شود. از اغتشاش‌های کوچک موجود در شبکه می‌توان به تغییرات دائمی تولید و مصرف اشاره کرد. این توانایی به عوامل چندی از قبیل نقطه کار اولیه، قدرت سیستم انتقال و نوع سیستم کنترل تحریک بستگی دارد [۱]. همان‌طور که گفته شده ایجاد پایداری به وجود هر دو مؤلفه‌ی گشتاور سنکرون کننده و میرا کننده بستگی دارد. با این حال در سال‌های اخیر، علت اصلی ناپایداری سیگنال کوچک را در سیستم‌های قدرت ناکافی بودن گشتاور میرا کننده می‌دانند و تلاش‌ها در جهت افزایش این مؤلفه گشتاور الکتریکی می‌باشد.

پدیده‌ی ناپایداری سیگنال کوچک سبب بروز نوساناتی می‌شود که می‌توان آن‌ها را در ۴ دسته زیر تقسیم‌بندی کرد:

۱. نوسانات محلی: بر اثر نوسان یک واحد و با واحدهای یک نیروگاه نسبت به بقیه سیستم قدرت به وجود می‌آیند. عبارت محلی به دلیل آنکه نوسانات در یک نیروگاه یا بخش کوچکی از سیستم قدرت رخ می‌دهند، به کار می‌رود.

۲. نوسانات بین ناحیه‌ای: بر اثر نوسان چندین ماشین سنکرون در یک ناحیه از سیستم قدرت، در برابر ماشین‌های سنکرون ناحیه‌ی دیگر به وجود می‌آیند. در این نوسانات ژنراتورهای هر ناحیه در فاصله نزدیکی از هم قرار دارند و ناحیه‌ها به وسیله‌ی خطوط ضعیفی به هم مرتبط می‌باشند.

۳. نوسانات مدهای سیستم کنترل: مربوط به کنترل کننده‌های نیروگاهها و سایر کنترل کننده‌ها است. معمولاً در صورتی که سیستم‌های کنترلی نظیر، سیستم‌های تحریک، گاورنرها، کنورترهای HVDC و جبرانگرهای استاتیکی توان راکتیو (SVC) بد تنظیم شده باشند، رخ می‌دهد.

۴. نوسان مدهای پیچشی (носانات زیر سنکرون): مربوط به اجزای چرخان روی محور توربین – ژنراتور است. این نوسان ممکن است به علت تأثیر متقابل اجزای مذکور با سیستم تحریک، گاورنر، کنترل کننده‌های HVDC و خطوط انتقالی که با خازن جبران شده‌اند، اتفاق بیافتد.

با توجه به اهمیت نوسانات ذکر شده، در مطالعات سیگنال کوچک توجه خاصی به نوسانات بین ناحیه‌ای و محلی می‌شود. رنج فرکانسی مربوط به این نوسانات در مراجع مختلف متفاوت می‌باشد. بطوریکه در استاندارد IEEE 421.2 [۲] دامنه فرکانسی برای نوسان‌های محلی بین ۷/۰ هرتز تا ۲ هرتز تعریف شده است و این رنج برای نوسانات بین ناحیه‌ای کمتر از ۵/۰ هرتز می‌باشد. این در حالی است که مرجع [۳] این رنج‌ها را برای نوسانات محلی و بین ناحیه‌ای به ترتیب حدود ۱ هرتز و کمتر از ۲۵/۰ هرتز تعریف کرده است. در مراجع [۱۶-۲۴] رنج نوسانات فرکانس پایین بین ۲/۰ هرتز تا ۲ هرتز معرفی شده است. این بازه برای نوسانات محلی و بین ناحیه‌ای به ترتیب بین ۸/۰ هرتز تا ۲ هرتز و ۲/۰ هرتز تا ۸/۰ هرتز می‌باشد. به دلیل آنکه این مراجع به عنوان منابع اصلی در مطالعات دینامیک سیستم‌های قدرت می‌باشند و در بسیاری از مقالات و کتاب‌های دیگر مورد استفاده قرار گرفته‌اند، ما نیز با استناد بر آن‌ها این بازه‌های فرکانسی را در نوسانات ذکر شده مد نظر قرار خواهیم داد. حال باید دید چگونه می‌توان میرایی این نوسانات را در شبکه‌های بزرگ و گسترده که دارای پدیده‌های متنوع و پیچیده‌ای می‌باشند، افزایش داد.

به طور معمول برای افزایش میرایی نوسانات فرکانس پایین از پایدار ساز سیستم قدرت (PSS^۱) استفاده می‌شود [۱]. همان‌طور که گفته شد یکی از عوامل تأثیر گذار بر پایداری سیگنال کوچک، سیستم کنترل تحریک می‌باشد که می‌تواند با اعمال گشتاور میراکنندگی منفی موجبات ناپایداری را فراهم آورد. از این رو

^۱ Power System Stabilizer

PSS با ایجاد یک حلقه‌ی کنترلی اضافی بر روی سیستم تحریک، و جبران سازی فاز سعی در اعمال گشتاور میراکندگی مثبت و بهبود میرایی نوسانات ذکر شده می‌کند. با توجه به حضور سیستم تحریک در مطالعات تنظیم PSS و همچنین احتمال اثر گذاری متغیرهای حالت آن بر روی مکان نصب پایدار ساز، به نظر می‌رسد اطلاعات مربوط به اکسایتر باید از دقت خوبی برخوردار باشند. بنابراین باید دید بحث عدم قطعیت در اطلاعات اکسایتر که در سیستم‌های بزرگ و پیچیده چندان دور از انتظار نیست، چه اثراتی بر روی کارایی PSS خواهد گذاشت.

در این پایان‌نامه به طور گسترده بحث اثر گذاری عدم قطعیت در مدل و پارامترهای اکسایتر بر روی کارآمدی PSS مورد مطالعه قرار گرفته است. در این راستا از مدل‌های مختلف تحریک و PSS ارائه شده در استاندارد ۴۲۱.۵ IEEE [۳۹] بهره برده‌ایم.

در ادامه پیکربندی و نکات مهم فصل‌های پایان‌نامه و روند انجام مطالعات بیان شده است.

۲-۱ پیکربندی پایان‌نامه

هدف اصلی این پایان‌نامه بررسی اثر گذاری مدل‌ها و پارامترهای مختلف سیستم تحریک بر روی تنظیم و موقعیت یابی پایدارساز سیستم قدرت می‌باشد. جزئیات مورد بحث در هر فصل بشرح زیر است:

در ادامه‌ی فصل اول پس از ارائه توضیحاتی در مورد پدیده‌ی پایداری سیگنال کوچک، مطالبی در خصوص عوامل موثر بر کارآیی پایدار ساز سیستم قدرت بیان کرده‌ایم. همچنین مروری بر روش‌های مختلف تنظیم و موقعیت یابی PSS داشته‌ایم. در ادامه در مورد چگونگی اثر گذاری سیستم تحریک بر روی پایداری سیگنال کوچک نیز بحث شد. علاوه بر این در انتهای فصل اهمیت بررسی موضوع عدم قطعیت در اطلاعات سیستم تحریک توضیح داده شده است.

در فصل دوم با بررسی مدل‌های مختلف تحریک و بلوک‌های مدل شده در آن‌ها، مطالب مفید و جامعی در مورد سیستم‌های تحریک بیان شده است. در این فصل سعی شد انواع سیستم‌های تحریک مورد بررسی قرار گیرد.

فصل سوم به بررسی و تحلیل چگونگی عملکرد انواع پایدارسازهای سیستم قدرت می‌پردازد. همچنین روش‌های غالب در تنظیم و موقعیت یابی PSS نیز توضیح داده شده‌اند.

در فصل چهارم مطالب و نتایج مربوط به مطالعات عددی در شبکه‌های تک ماشینه و ۴ ماشینه ارائه شده است. در این فصل اثرگذاری پارامترها و مدل‌های مختلف سیستم تحریک بر روی مدل الکترومکانیکی شبکه بررسی شده است.

در فصل پنجم بررسی‌های مربوط به تاثیر پذیری شیفت فاز جبران سازی از تغییر در مدل و پارامترهای سیستم‌های تحریک متناوب و استاتیک ارائه شده است. همچنین در این فصل طراحی روابط جدید برای PSS تعریف شده است.

۳-۱ پایدار ساز سیستم قدرت

بهبود میرایی نوسانات فرکانس پایین یا مدهای الکترومکانیکی، تحت عنوان بهبود پایداری دینامیکی در مطالعات سیستم‌های قدرت شناخته می‌شود. برای بهبود رفتار دینامیکی سیستم‌های قدرت باید از پایدار سازهای مناسب بهره برد. یکی از این پایدار سازها که به طور عمده در مباحث مربوط به افزایش میرایی نوسان‌های الکترومکانیکی مورد استفاده قرار می‌گیرد، پایدار ساز سیستم قدرت (PSS) می‌باشد. همان‌طور که گفته شد یکی از عوامل موثر در پایداری سیگنال کوچک، سیستم کنترل تحریک است. سیستم تحریک می‌تواند در بسیاری از شرایط کاری، موجب کاهش مؤلفه‌ی میرا کننده گشتاور الکتریکی شود. این موضوع در ادامه توضیح داده خواهد شد. سیستم کنترلی PSS با استفاده از سیگنال‌های کمکی پایدار کننده همانند سرعت زاویه‌ای روتور، فرکانس ترمینال و یا توان الکتریکی و اعمال آن‌ها به سیگنال خطای ولتاژ تحریک

سعی در تولید گشتاور الکتریکی هم فاز با تغییرات سرعت زاویه‌ای (گشتاور میرا کننده) دارد. در واقع PSS به عنوان کنترل کننده سیستم تحریک، آن را وامی دارد با اعمال میرایی بیشتری بر نوسانات الکترومکانیکی روتور ماشین سنکرون، پایداری کل را افزایش دهد. از نکات با اهمیت در این باب انتخاب سیگنال مناسب برای اعمال به پایدار ساز سیستم قدرت می‌باشد که به مبانی کاربردی طراحی ساختار کنترل مربوط می‌شود [۵]. نکته‌ی با اهمیت دیگر به محل نصب PSS در شبکه‌ی قدرت مربوط می‌شود که یکی از مشکلات مطرح در شبکه‌های قدرت چند ماشینه است. همچنین تنظیم درست PSS و تخصیص پارامترهای مناسب برای آن، به منظور دریافت کارایی بهینه PSS امری ضروری است. در ادامه به طور مختصر درباره‌ی این عوامل مطالبی ارائه خواهد شد.

۱-۳-۱ سیگنال ورودی پایدار ساز سیستم قدرت

همان‌طور که گفتیم انحراف سرعت محور ژنراتور، توان و فرکانس پایانه در میان سیگنال‌های متداول به کار گرفته شده به عنوان ورودی PSS قرار دارند [۱]. هر یک از این ورودی‌ها اثرات خاص خود را بر پایداری کلی سیستم می‌گذارند. بنابراین می‌توان PSS‌ها را بر مبنای ورودی‌های آن به سه دسته زیر تقسیم کرد:

۱. پایدار سازهای مبتنی بر سیگنال انحراف سرعت محور ژنراتور ($\Delta\omega_r$)

این نوع PSS‌ها به طور معمول می‌توانند به خوبی نوسانات مدهای الکترومکانیکی را بهبود دهند. این در حالی است که اگر سیگنال سرعت به طور مناسبی اندازه‌گیری نشود و تنظیم تنها با توجه به مد الکترومکانیکی انجام گیرد، ممکن است بعضی از مدهای پیچشی ناپایدار شوند. نتیجه‌ی این امر افزایش گشتاور نوسانی است که منجر به خستگی شفت می‌شود. به منظور رفع این پدیده، از نمونه‌گیری سرعت در دو یا چند نقطه از محور ژنراتور استفاده می‌شود و سرعت معادل بدست آمده به عنوان ورودی PSS بکار می‌رond. همچنین می‌توان از یک فیلتر پیچشی برای تضعیف نوسانات پیچشی در مسیر پایدار ساز استفاده کرد. این فیلتر علاوه بر تضعیف مؤلفه‌های پیچشی سیگنال پایدار کننده، تأثیر بسزایی بر مد تحریک کننده دارد (مدی که به طور عمد مربوط به ولتاژ تحریک است). این بدان دلیل

است که مدار فیلتر به گونه‌ای است که بهره را در گستره‌ی فرکانسی مربوط به مدد تحریک افزایش می‌دهد. در نتیجه بهره سیگنال سرعت باید در مقداری که پایداری کافی برای مدد تحریک کننده به وجود آید، محدود شود. از این رو بالاترین حد مجاز بهره پایدار ساز این گونه بدست خواهد آمد [۱]. مقدار محدود کننده بهره به امپدانس سیستم خارجی، مشخصه‌های ژنراتور و وضعیت کاری سیستم وابسته است [۱].

۲. پایدار سازهای سرعت-توان [۱و۷-۸]

در این پایدار ساز از سیگنال کمکی انحراف توان برای تولید سیگنال معادل سرعت، بدون نوسانات پیچشی استفاده می‌شود. معادلات زیر روند تولید سیگنالی متناسب با سرعت از سیگنال توان را نمایش می‌دهند. اساس این نوع پایدار سازها با (رابطه ۱-۱) نمایش داده می‌شود.

$$\Delta\omega_{eq} = \frac{1}{M} \int (\Delta P_m - \Delta P_e) dt \quad (1-1)$$

که پارامترهای آن به صورت زیر تعریف می‌شوند:

$$M = \text{ثابت اینرسی،}$$

$$\Delta P_m = \text{تغییر در ورودی توان مکانیکی،}$$

$$\Delta P_e = \text{تغییر در خروجی توان الکتریکی،}$$

$$\Delta\omega_{eq} = \text{انحراف سرعت معادل.}$$

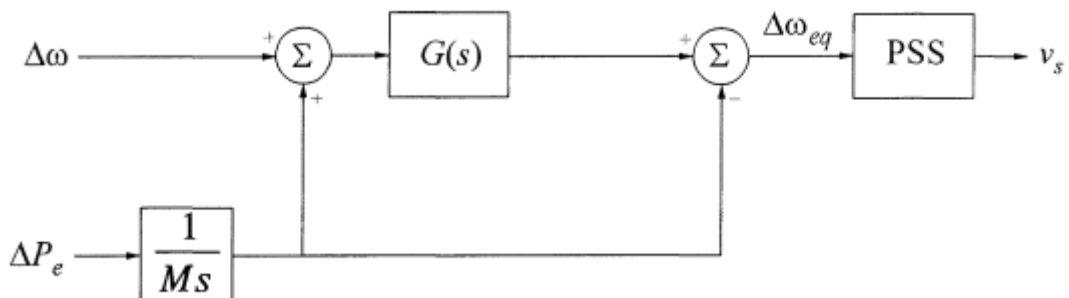
انتگرال توان مکانیکی را می‌توان به صورت رابطه (۲-۱)، معادل تغییر سرعت و انتگرال توان الکتریکی نمایش داد. این سیگنال، دارای نوسانات پیچشی می‌باشد و برای رفع این مشکل از یک فیلتر پیچشی یا همان فیلتر پایین گذر برای حذف فرکانس‌های پیچشی استفاده می‌شود. در نتیجه سیگنال سرعت معادل با جایگذاری رابطه (۲-۲) در (۱-۱) و اعمال فیلتر پیچشی به صورت رابطه (۳-۳) بیان می‌شود.

$$\int \Delta P_m dt = M\Delta\omega + \int \Delta P_e dt \quad (2-1)$$

$$\Delta\omega_{eq}(s) = -\frac{\Delta P_e(s)}{Ms} + G(s) \left[\frac{\Delta P_e(s)}{Ms} + \Delta\omega(s) \right] \quad (3-1)$$

که در آن $G(s)$ تابع تبدیل فیلتر پیچشی می‌باشد.

دیاگرام بلوکی این نوع پایدار ساز به صورت شکل ۱-۳ نمایش داده می شود.



شکل ۱-۳ : نمودار بلوکی پایدار ساز سیستم قدرت با ورودی سرعت- توان [۱]

با توجه به مباحث مطرح شده، به دلیل آنکه در این نوع پایدار ساز محدودیت بهره آن ناشی از پایداری مدد تحریک کننده وجود ندارد، می توان با افزایش مقدار بهره، به پایداری بیشتری در مدد الکتروموکانیکی دست یافت. بنابراین به نظر می رسد استفاده از پایدار ساز با ورودی سرعت- توان نسبت به ورودی سرعت مناسب تر است.

۳. پایدار سازهای مبتنی بر فرکانس

در این پایدار سازها، سیگنال فرکانس پایانه ژنراتور به طور مستقیم به عنوان ورودی استفاده می شود. عملکرد این نوع پایدار ساز نیز همانند پایدار ساز ورودی سرعت می باشد و باید در مورد فیلتر کردن نوسان های پیچشی و تنظیم آن دقیق شود [۱]. نکته مهم در این پایدار سازها این می باشد که حساسیت سیگنال فرکانس به نوسانات روتور با ضعیفتر شدن خط انتقال افزایش می یابد و این امر، مسئله کاهش بهره پایدار ساز به دلیل در نظر گرفتن پایداری مدد تحریک کننده و پیچشی را جبران می کند [۶].

۱-۳-۲ مکان نصب پایدار ساز سیستم قدرت

هدف از اعمال پایدار ساز و انتخاب سیگنال مناسب برای اعمال به آن، دستیابی به عملکرد بهتر سیستم می باشد. لذا باید میرایی مدهای نوسانی دارای میرایی کم، بهبود یابد و به عبارت دیگر مدد نوسانی مورد نظر در صفحه مختلط به سمت چپ حرکت نماید. همچنین لازم است عملکرد سایر حلقه های کنترلی و حدود

پایداری مختل نگردند. همان طور که گفته شد یکی از مؤلفه‌های مهم در کارآمدی PSS انتخاب محل نصب آن می‌باشد. از آنجا که PSS با اعمال سیگنال پایدارکننده‌ای در سیگنال خطای ولتاژ تحریک، سعی در بهبود گشتاور میرا کننده ماشین دارد، بنابراین بهترین مکان برای نصب آن، ژنراتوری است که بیشترین تأثیر را در میرایی مد الکترومکانیکی نوسانی داشته است. بدین ترتیب می‌بایست با انجام مطالعاتی، تأثیر ژنراتورهای مختلف بر میرایی مد نوسانی شناسایی شود. در واقع پس از تشخیص مد نوسانی باید دانست کدام ژنراتورها بیشترین تأثیر را در تشکیل آن داشته‌اند.

در بخش بعدی مروری کلی بر مقالات مهم منتشر شده در مورد موقعیت‌یابی پایدار ساز سیستم قدرت خواهیم داشت.

۱-۲-۳-۱ مروری بر روش‌های ارائه شده برای موقعیت‌یابی PSS

همان‌طور که اشاره کردیم، هدف تعیین ژنراتوری با حداکثر مشارکت در میرایی مد نوسانی می‌باشد. در این راستا فعالیت زیادی در انتخاب محل مناسب اعمال پایدار ساز سیستم قدرت صورت گرفته است. بر این اساس آقای دیملو و همکارانش به عنوان پیشگامان این موضوع در سال ۱۹۸۰ روشی بر اساس حساسیت مقادیر ویژه را برای تعیین تأثیر ژنراتورها در میرایی مدها، ارائه کردند. در این روش به منظور تعیین بهترین واحد برای نصب پایدار ساز، بهره متناظر با تغییرات شار ماشین E_{qi} بر حسب سرعت f_i آن که معادل با تغییرات توان بر حسب ولتاژ داخلی هر واحد می‌باشد تغییر داده می‌شود و تأثیر پذیری مناسب مد نوسانی از این تغییر، به عنوان ملاک انتخاب استفاده می‌شود. بهره مورد نظر به صورت $g_i = E_{qi}/f_i$ تعریف می‌شود [۹]. آقای آبدولا و همکارانش نیز با استفاده از حساسیت مقادیر ویژه روشی دیگر ارائه کردند [۱۰]. بر پایه این روش حساسیت مد نوسانی به تغییر ضریب میرایی تک تک واحدها محاسبه می‌شود و مؤثرترین ژنراتور انتخاب خواهد شد. در کاری دیگر آقای ژاو و همکارانش حساسیت اثر پایدار ساز^(۱) (SPE) را به صورت شاخصی جهت سنجش تغییرات مد نوسانی به تغییرات پایدار ساز معرفی کردند و از آن برای تشخیص مکان نصب PSS بهره برند [۱۱]. این شاخص با استفاده از بردار ویژه چپ و راست و مشخصات

^(۱) Sensitivity of pss effects

سیستم تحریک، تعریف می‌شود. در اقدامی مشابه آقای ژانگ و همکارانش روشی دیگر بر پایه حساسیت مقادیر ویژه نسبت به پایدار ساز ارائه کردند [۱۲]. در این روش حساسیت مقادیر ویژه، به خصوص آن‌هایی که باید انتقال داده شوند، نسبت به تغییر بهره پایدار ساز به عنوان معیاری برای سنجش اثر گذاری ژنراتورها بر میرایی مدها معرفی شد. آقای فلیاچی روش دیگری بر مبنای شاخص کارایی ارائه کرد [۱۳]. در این روش ابتدا، با استفاده از تعریف شاخص کارایی انتگرالی، مد یا مدهای بحرانی سیستم تشخیص داده می‌شوند. سپس با تعیین حداقل تعداد پایدار سازهای مورد نیاز سیستم، با استفاده از شاخص حساسیت مناسب‌ترین مکان برای پایدار سازها تعیین می‌شود.

در روش‌های که در بالا به آن‌ها اشاره شد، اثر تمام متغیرهای حالت برای یک مد نوسانی مورد بررسی قرار می‌گیرد تا از بزرگ‌ترین اثر مناسب‌ترین ژنراتور برای نصب PSS تشخیص داده شود. حال آنکه در شبکه‌های بزرگ این مدهای نوسانی یکتا نیستند و بسته به شرایط کار می‌توانند متعدد باشند، در نتیجه انجام محاسبات در چنین حالت‌های زمان‌بر و پیچیده خواهد بود.

در کاری دیگر آقای ین و همکارش روشی بر اساس تعقیب مقادیر ویژه را برای تعیین مناسب‌ترین مکان نصب پایدار ساز ارائه کردند [۱۴]. در این روش حرکت مقادیر ویژه سیستم از یک سیستم بهم پیوسته به سمت یک سیستم جدا از هم، برای تعیین مکان پایدار ساز بررسی می‌شود. در واقع این روش با رسم منحنی مکان هندسی مدهای سیستم محقق می‌شود. به دلیل آنکه در سیستم جدا از هم هر مد متأثر از یک ژنراتور می‌باشد، در نتیجه مؤثرترین ژنراتور برای مد نوسانی در سیستم بهم پیوسته مشخص خواهد شد. توسط آقای هیاما و همکارانش روشی دیگر مبتنی بر وابستگی مابین ژنراتورها، برای تعیین مکان بهینه نصب پایدار ساز پیشنهاد شد [۱۵]. در این روش پس از جداسازی یک سیستم قدرت چند ماشینه به چندین گروه جدا با عناصر وابسته، انتخاب مؤثرترین ژنراتور برای نصب پایدار ساز در هر گروه انجام می‌گیرد.

آقای انگوین روشی پویا بر مبنای کنترل پذیری گرامین را برای تعیین مکان نصب پایدار ساز ارائه کرد. در این روش بهترین مکان، بازتاب بهترین کنترل پذیری در میان تمام متغیرهای حالت سیستم می‌باشد [۱۶].

در واقع پس از محاسبه‌ی بردار کنترل پذیری برای مدهای نوسانی، بزرگ‌ترین مؤلفه نشان‌دهنده مناسب‌ترین مکان برای نصب PSS خواهد بود.

آقای هسو و همکارانش روشی با نام ضرایب مشارکت را برای تعیین مکان بهینه نصب پایدار ساز ارائه کردند. ضرایب مشارکت که از ضرب عناصر متناظر با حالات در بردارهای ویژه چپ و راست بدست می‌آید، در تعیین محل مناسب پایدار ساز و یا سیگنال مناسب جهت اعمال به آن استفاده می‌شود [۱۷]. این روش پس از محاسبه ماتریس مشارکت، ژنراتوری که بیشترین مشارکت را در مد نوسانی دارد، به عنوان محل نصب پایدار ساز معرفی می‌کند. اشکال ضرایب مشارکت اینست که در آن توجهی به ماتریس ورودی B و ماتریس خروجی C نشده و تنها از ماتریس حالت سیستم A بدست می‌آید. با این حال این روش به دلیل سادگی و کاربردی بودن به عنوان روشی غالب در مبحث مکان یابی PSS شناخته می‌شود.

آقای آو و همکارانش تأثیر تغییر بهره حلقه کنترل ولتاژ بر مدهای نوسانی را به عنوان معیاری جهت تعیین مؤثرترین واحد برای نصب PSS معرفی نمودند [۱۸]. روش دیگری که در این حوزه مطرح شد، توسط آقای کریم‌پور و همکارانش ارائه شد [۱۹]. آن‌ها روشی بر پایه تجزیه‌ی مقادیر تکین (SVD)^۱ تابع تبدیل، برای تعیین مکان نصب PSS ارائه کردند. بعلاوه می‌توان از این روش برای تعیین ژنراتورهایی که در برابر یکدیگر نوسان می‌کنند، استفاده کرد. در این روش به صورت غیر مستقیم کنترل پذیری و رویت پذیری مدهای نوسانی با توجه به مشارکت ژنراتورها، در نظر گرفته شده است. آقای میلانوویچ و همکارش از آرایه بهره نسبی در تشخیص ژنراتور مناسب جهت اعمال پایدار ساز سیستم قدرت استفاده کرده است. آرایه بهره نسبی به صورت ماتریسی از بهره نسبی تعریف شده است. بهره نسبی برای یک ورودی و خروجی مشخص به صورت نسبت بهره کنترل نشده به بهره کنترل شده تعریف می‌شود. [۲۰].

مارتینز و همکارانش روشی بر پایه ماتریس مانده‌ها برای تعیین مکان نصب PSS معرفی کردند. آن‌ها بیان کردند که مانده‌ها در واقع معیاری کمی از مقدار تغییر مد نوسانی می‌باشند. بدین ترتیب این تغییر می‌تواند

^۱ Singular value decomposition

واحد مورد نظر و سیگنال مورد نظر را برای اعمال پایدار ساز تعیین کند [۲۱]. اساس این روش در نظر گرفتن توأم کنترل پذیری و رویت پذیری می‌باشد.

آقای لی و همکارانش با استفاده از ساده‌سازی ماتریس مانده‌ها، شاخصی را تعریف کردند، که با محاسبه و مقایسه بین ژنراتورها، مکان نصب پایدارساز را معرفی می‌کند [۱۹].

همان‌طور که قبلاً نیز اشاره کردیم در سیستم‌های بزرگ و پیچیده انجام روش‌ها و آنالیزهای بیان شده در بالا دشوار و زمان‌بر خواهد بود از این رو به نظر می‌رسد استفاده از روش‌های بر پایه الگوریتم جستجو برای تعیین مکان نصب PSS بسیار مفید و موثر باشد. در این راستا نیز تعدادی الگوریتم ارائه شده است. از آن جمله می‌توان به کار آقای سبا و همکارش اشاره کرد [۲۱]. آن‌ها با استفاده از الگوریتم ژنتیک و بهینه‌سازی توانستند مناسب‌ترین واحد برای نصب PSS را معرفی کنند. در کاری دیگر آقای هسایو و همکارانش روشی بر پایه بهینه سازی را برای تعیین موقعیت پایدارساز معرفی کردند [۲۴]. روش آن‌ها مناسب‌ترین واحد برای نصب PSS را در چندین مدل الکترومکانیکی به طور همزمان مشخص می‌کند. روش دیگری که ارائه شد، توسط خانم اسلامی و همکارانش مطرح گردید [۲۵]. این روش با استفاده از الگوریتم بهینه‌سازی دسته ذرات بهبود یافته، ژنراتور مناسب برای نصب پایدارساز را معرفی می‌کند.

اما سومین مسئله‌ی مورد اهمیت در مورد پایدار سازها، تنظیم و تخصیص پارامترهای مناسب برای آن‌ها می‌باشد. در بخش بعدی به مروری مختصر بر مقالات این مبحث می‌پردازیم.

۱-۳-۳ تنظیم پایدارساز سیستم قدرت

در دهه‌های اخیر، کارهای پژوهشی زیادی درباره‌ی تنظیم PSS ها ارائه شد. هدف اصلی اکثر این پژوهش‌ها دست‌یابی به کارایی بهینه PSS در دامنه‌ی وسیعی از نقاط کار سیستم است. استراتژی‌های مختلف کنترلی همانند کنترل تطبیقی، جایابی قطب و یا الگوریتم‌های مختلف بهینه‌سازی برای دست‌یابی به این هدف ارائه شده‌اند. می‌توان گفت ارائه‌ی روش‌های تنظیم PSS و بررسی پایداری ماشین، ابتدا بر روی سیستم تک

ماشین متصل به باس بی‌نهایت مطرح و انجام پذیرفت و سپس با پیشرفت در این حوزه و توسعه مدل‌های چند ماشینه این مبحث به طور فزاینده‌ای گسترش یافت. در ادامه سعی شده است به طور مختصر بر جسته‌ترین کارها در این حوزه معرفی شود.

ایده‌ی طراحی PSS به منظور تولید گشتاوری هم فاز با سرعت برای میرا کردن نوسانات در توان خروجی ژنراتور، اولین بار توسط دی ملو و کنکوردیا [۲۶] مطرح شد. در این روش طراحی PSS بر اساس جبران سازی فاز انجام گرفت. فازی که باید توسط PSS جبران شود، زاویه‌ی پس فازی است که توسط سیستم تحریک به ماشین اعمال می‌شود. اعمال خروجی پایدارساز که دارای زاویه پیش فازی است به انحراف ولتاژ سیستم تحریک این پس فازی را جبران می‌کند. پس از آن‌ها آقایان کندور [۲۷] و لارسن و سوآن [۶] به توسعه طراحی سیستم‌های PSS با یک ورودی پرداختند. آن‌ها به طور گستردۀ نکاتی که باید در این روش لحاظ شود را بیان نموده‌اند. همچنین در کاری دیگر از دی‌ملو [۷]، او و همکارش طراحی یک PSS با ۲ ورودی را مورد بررسی قرار دادند. ورودی نهایی این PSS سرعت معادلی بود که از ترکیب سرعت زاویه‌ای و توان الکتریکی ژنراتور بدست می‌آمد. به دلیل آنکه این نوع پایدار سازها تحت تأثیر نوسانات پیچشی نمی‌باشند، عملکرد بهتری نسبت به مدل تک ورودی از خود نشان دادند.

کار دیگری که در ادامه این طراحی‌ها ارائه شد، تلاش برای هماهنگ کردن PSS‌ها در سیستم‌های چند ماشینه می‌باشد. آقای اوستاجیک با استفاده از یک روش هیبرید تلاشی برای هماهنگ کردن طراحی PSS‌های سیستم چند ماشینه انجام داد [۲۸]. او در این روش از آنالیزهای مдал و محدوده‌ی فرکانسی، بهره برد. هدف او از این کار برآوردن پایدارسازی مقاوم در سیستم‌های دارای چند مد الکترومکانیکی نوسانی با کاهش در تعداد PSS‌ها و افزایش هماهنگی مابین آن‌ها بوده است.

لیم و الانگووان، روشی را برای طراحی پایدار سازهای غیر متمرکز در یک سیستم چند ماشینه با استفاده از روش حوزه‌ی فرکانس ارائه دادند [۲۸]. با استفاده از این روش، پارامترهای PSS به گونه‌ای بدست می‌آیند

که برخی یا تمام مقادیر ویژه الکترومکانیکی سیستم ممکن است در نقاط از قبل تعیین شده صفحه مختلط قرار بگیرند.

حسنويچ و فلياچي با استفاده از روش تحليل پرونی تابع تبديل مرتبه پايين شبکه‌ی قدرت دو ناحيه‌ای را به منظور طراحی PSS شناسايی نمودند [۲۹]. در اين روش تابع تبديل با استفاده از داده‌های حوزه‌ی زمان معروف به داده تخمين بدست می‌آيد و می‌توان با بهره‌گيری از پاسخ فرکانسي اين تابع، اقدام به تنظيم PSS نمود.

به منظور دست‌يابي به تنظيمی مقاوم برای پايدار سازها که قادر به پاسخ‌گويی مناسب برای دامنه‌ی وسیعی از نقاط کار باشد، روش‌های بهينه‌سازی و الگوريتم‌های جستجوی متفاوتی مطرح شد. طراحی‌های معرفی شده در بالا معمولاً برای يك نقطه‌ی کار مشخص تعریف می‌شوند و اين يکی از ضعف‌های آن‌ها می‌باشد. در اين راستا [۳۰] و [۳۱] از روش کنترل H_{∞} به منظور طراحی PSS بهره برده‌اند. اين روش امكان در نظر گرفتن توابع کنترلي زيادي برای دست‌يابي به تنظيم مقاوم دارد. به عنوان مثال می‌توان، توابع کاري‌پايدارساز و تنظيم مقاوم را در سیستم کنترلي ترکيب کرد. اين روش از قوانين کنترل برای طراحی در حالت کاري نامي استفاده می‌کند و برای افزایش مقاومت، تنظيم در حالت غير اسمی نيز تنظيم می‌شود. از آن برای تنظيم PSS در رنج وسیعی از شرایط کار می‌توان استفاده نمود.

طراحی به روش H_{∞} ، به طور ذاتی يك روش در حوزه‌ی فرکانس می‌باشد و نمی‌تواند کنترل زيادي بر رفتار گذرا و مكان قطب حلقه بسته داشته باشد. بنابراین تمایل داريم يك پايدارساز مقاومی داشته باشيم که کاري‌خوبی در مطالعات سيگنال کوچک داشته باشد. راو و سن روشی بر پایه جايابي قطب با استفاده از حل نامعادله ماترييس خطی ارائه کردند [۳۲-۳۳]. نامعادله ماترييس خطی، نمايش دهنده محدوديت مربوط به قرار گرفتن قطب‌ها در ناحيه‌ای از صفحه‌ی مختلط می‌باشد.

در اثر تغيير شرایط کاري سیستم، تضمینی برای کاري‌پايدار ندارد. حتی ممکن است در بعضی از حالات‌ها شبکه ناپايدار نيز شود. به همين دليل روش‌های ديگری بر پایه الگوريتم جستجو و بهينه‌سازی

برای طراحی مقاوم PSS معرفی شد. از جمله این روش‌ها می‌توان به الگوریتم ژنتیک (GA) [۳۴]، بهینه سازی دسته پرندگان (PSO) [۳۵] و جمعیت بر اساس یادگیری نموی (PBIL) [۳۶] اشاره کرد.

الگوریتم ژنتیک روشی است که با الهام از کروموزوم‌های انسان و رفتار آن‌ها به هنگام ترکیب با یکدیگر، به انتخاب جمعیت اولیه برای داده‌ها و ترکیب آن‌ها برای تشکیل داده‌های مراحل بعد در الگوریتم جستجو، می‌پردازد. این الگوریتم از طریق جستجو در میان داده‌های وسیعی، امکان تخصیص بهینه برای پارامترهای PSO را فراهم می‌آورد [۳۴]. روش جستجوی دیگری که می‌توان نام برد الگوریتم PSO می‌باشد [۳۵ و ۳۷]-[۳۸]. الگوی این روش نیز همانند الگوریتم GA از طبیعت استخراج شده است. اساس این روش از رفتار دسته‌ی پرندگان و گروه ماهی‌ها الهام گرفته شده است. این روش با محاسبه تابع خطا برای تمام جمعیت، و تشخیص گروهی از جمعیت که دارای خطای کمتری می‌باشند، از آن‌ها برای تشکیل جمعیت بعدی استفاده می‌کند. در واقع این روش سعی در بهینه کردن انتخاب جمعیت اولیه در ابتدای اجرای هر تکرار دارد و به همین دلیل باید گفت تعداد پارامترهای کمتری نسبت به GA استفاده می‌کند. بنابراین می‌توان اجرای این روش را ساده‌تر از GA دانست. روش جمعیت بر پایه یادگیری نموی، روش دیگری است که در این حوزه معرفی شده است. این روش ترکیبی از مشخصه‌های GA با شبکه‌های عصبی مصنوعی (ANN) می‌باشد [۳۶]. می‌توان با ترکیب تابع هدف‌های متفاوتی طراحی مقاومی برای پایدار سازها بدست آورد.

۱-۴ سیستم‌های تحریک

در سیستم‌های قدرت یکی از کنترل کننده‌های واحد تولید، سیستم اکسایتر آن می‌باشد که وظیفه‌ی تنظیم ولتاژ ژنراتور و توان راکتیو خروجی آن را بر عهده دارد. سیستم‌های تحریک بنا بر آنکه منبع تولید میدان dc مورد نیاز برای سیم پیچ‌های تحریک ژنراتور چگونه تغذیه می‌شود در ۳ نوع زیر طبقه بندی می‌شوند [۳۹]:

۱. سیستم‌های تحریک جریان مستقیم: که از یک ژنراتور جریان مستقیم با یک کمotaتور به عنوان منبع تحریک ژنراتور سیستم قدرت مورد استفاده قرار می‌گیرند.

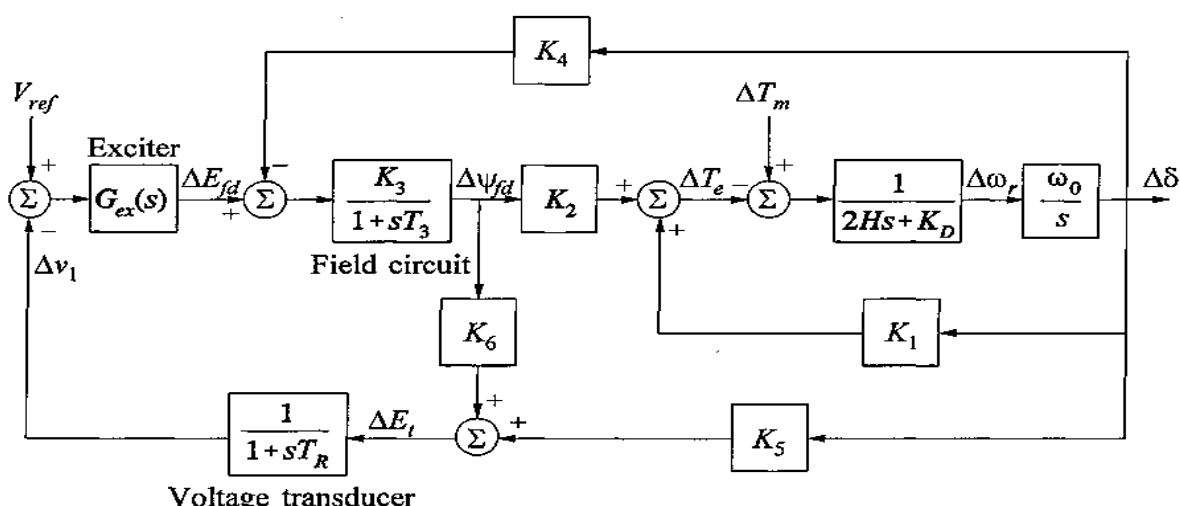
۲. سیستم‌های تحریک جریان متناوب: که از یک ژنراتور متناوب به همراه یکسو سازهای چرخان یا ساکن برای تولید جریان مستقیم مورد نیاز میدان ماشین سنکرون استفاده می‌کند.

۳. سیستم‌های تحریک استاتیک: که در آن‌ها توان منع تحریک از طریق ترانسفورمرها یا سیم‌پیچ اضافی ژنراتور و همراه با یکسو ساز تأمین می‌شود.

در فصل ۳ به طور کامل به بررسی انواع مختلف سیستم تحریک خواهیم پرداخت.

همان‌طور که بیان کردہ‌ایم یکی از عوامل موثر در پایداری سیگنال کوچک، سیستم تحریک ماشین می‌باشد. سیستم‌های تحریک متفاوت اثرات مختلفی بر روی پایداری خواهند داشت. به عنوان مثال در کار تحقیقاتی مرجع [۴۰]، اثر سیستم‌های تحریک خود تحریک و تحریک مستقل بر روی پایداری سیگنال کوچک در یک سیستم چند ماشینه مورد بررسی قرار گرفت. نتایج این بررسی نشان می‌دهد که سیستم تحریک مستقل نسبت به سیستم خود تحریک در برابر یک اختشاش یکسان، مشخصه‌های دینامیکی بهتری دارد.

برای تشریح چگونگی اثر گذاری سیستم اکسایتر بر روی پایداری سیگنال کوچک از دیاگرام شکل ۴-۱ بهره خواهیم برد. این شکل نمایش‌دهنده مدل سیستم تک ماشین متصل به باس بی نهایت می‌باشد که به همراه سیستم‌های کنترلی اکسایتر و تنظیم کننده‌ی اتوماتیک ولتاژ نمایش داده شده است.



شکل ۴-۱: دیاگرام سیستم تک ماشین و باس بی نهایت به همراه بلوک‌های اکسایتر و تنظیم کننده‌ی اتوماتیک ولتاژ [۱]

اثر گذاری سیستم اکسایتر بر روی پایداری وابسته به شرایط کاری و ساختار خود سیستم تحریک است [۱]. در سیستم‌های قدرت برای آنکه بتوانند تحلیل درستی از پایداری سیگنال کوچک در اثر بروز اغتشاش داشته باشند، از تجزیه‌ی تغییرات گشتاور الکتریکی استفاده می‌کنند.

می‌توان با رجوع به شکل ۴-۱ تغییر گشتاور الکتریکی ماشین ΔT_e را در اثر تغییر شار میدان $\Delta \psi_{fd}$ به سبب تغییر زاویه‌ی روتور، به صورت رابطه‌ی دیفرانسیلی (۴-۱) بر گرفته از مرجع [۱] بیان کرد.

$$\Delta T_e \Big|_{\Delta \psi_{fd}} = \frac{-K_2 K_3 [K_4(1+ST_R) + K_5 Gex]}{S^2 T_3 T_R + S(T_3 + T_R) + 1 + K_3 K_6 Gex} \Delta \delta \quad (4-1)$$

در این رابطه ضرایب K_2 تا K_6 ضرایب شش‌گانه‌ی مدل هفرون فیلیپس [۴۱] می‌باشند، TR ثابت زمانی بلوك ترانسديوسر ولتاژ و $T3$ برابر با حاصل ضرب ثابت زمانی گذراي مدار باز ماشين $Td\sigma$ در ضریب K_3 می‌باشد. بلوك Gex نیز نشان دهنده‌یتابع تبدیل مدل اکسایتر در سیستم می‌باشد که بهوضوح مشخص است که می‌تواند اثر گذاری بر روی تغییرات گشتاور بر حسب مؤلفه‌های سنکرون کننده و میرا کننده می‌توان به نحوه‌ی اثر گذاری سیستم‌های اکسایتر و پارامترهایشان بر روی پایداری سیگنال کوچک شبکه پی برد. برای حصول پایداری وجود هر دو مؤلفه‌ی گشتاور الکتریکی لازم می‌باشد.

توجه کنید که به دلیل اختلاف در ساختار سیستم‌های اکسایتر و در نتیجه تفاوت حاصله در تابع تبدیل‌های آن‌ها باید انتظار اثرات متفاوت آن‌ها بر روی پایداری شبکه را داشته باشیم. از سوی دیگر به دلیل حضور ضریب $K5$ در رابطه‌ی (۱-۵) و اینکه علامت این ضریب بسته به شرایط کاری و امپدانس معادل شبکه می‌تواند مثبت یا منفی باشد (سایر ضرایب معمولاً مثبت هستند) [۲۶]، اثر گذاری اکسایتر بر روی تغییرات گشتاور، بسته به شرایط شبکه دست خوش تغییر خواهد شد. این موضوع تأثیر ساختار شبکه بر روی پایداری را نشان می‌دهد.

بنابراین با توجه به مباحث مطرح شده در بالا باید گفت تأثیر سیستم تحریک بر روی پایداری شبکه، وابسته به شرایط کاری و ساختار خود آن متفاوت است.

در بسیاری از روش‌های مطرح شده برای تنظیم PSS، رابطه‌ی (۱-۴) نقش کلیدی را در تعیین زاویه‌ی جبران سازی ایفا می‌کند. در واقع تخصیص ثابت زمانی‌های مناسب برای بلوک‌های پس فاز-پیش فاز وابسته به میزان جبران سازی فازی دارد که توسط این رابطه مقدار پس فاز آن محاسبه می‌شود. در این رابطه همان‌طور که گفتیم حضور تابع تبدیل سیستم تحریک برای مدل و پارامترهای مختلف آن از نظر فازوری دامنه و فاز متفاوتی خواهد داشت. با فرض مشخص و در دسترس بودن مشخصات ماشین و ساختار شبکه از دید همان ماشین (که چندان فرض اشتباہی نیست)، مشخصات سیستم تحریک نقش تعیین کننده‌ای در محاسبه زاویه جبران سازی و به طبع آن تنظیم پایدارساز خواهد داشت.

حال اگر اطلاعات تحریک در دسترس باشد تنظیم و موقعیت‌یابی PSS انجام خواهد شد. حال آنکه بر پایه مطالعات صورت گرفته، در شبکه‌های بزرگ و پیچیده همانند شبکه‌ی کشور به نظر می‌رسد که نقش اطلاعات در حوزه‌ی سیستم‌های تحریک امری اجتناب ناپذیر می‌باشد. این نکته از مطالعه و مقایسه اطلاعات موجود در بعضی از سیستم‌های اکسایتر شبکه‌ی شبیه‌سازی شده‌ی کشور با اطلاعات واقعی گرفته شده از بعضی نیروگاه‌ها [۴۲] استنتاج شده است. به دلیل آنکه انجام مطالعات به منظور از بین بردن عدم قطعیت در اطلاعات سیستم‌های تحریک کاری زمان بر و پر هزینه می‌باشد، بنابراین می‌بایست به دنبال پاسخ مناسبی برای این سؤال که آیا اثر گذاری عدم قطعیت در اطلاعات سیستم تحریک منجر به عدم اطمینان ما از نتایج مطالعات مربوط به پایدارساز سیستم قدرت خواهد شد یا خیر؟ باشیم.

در این پایان‌نامه سعی شده است با بهره‌گیری از مدل‌ها و پارامترهای مختلف سیستم تحریک و بررسی اثر آن‌ها بر مباحث حوزه‌ی PSS، پاسخ مشخصی به پرسش بالا داده شود. همچنین در ادامه بررسی با توجه به نتایج حاصله، گروه‌بندی‌هایی برای سیستم‌های تحریک ارائه شده است. این گروه‌بندی بر طبق تشابه تنظیم PSS بدست آمده است، بطوریکه مدل‌های تحریک قرار گرفته در یک گروه دارای تنظیم مشابهی می‌باشند و

در صورت طراحی PSS برای مدلی مشخصی از یک گروه، پروسه طراحی برای سایر مدل‌های همان گروه انجام نخواهد شد و مقادیر بدست آمده در تنظیم ابتدایی در سایر مدل‌ها نیز پاسخگو خواهد بود.

فصل ۲

بررسی مدل‌های استاندارد سیستم‌های تحریک

۱-۲ مقدمه

در مطالعات مرتبط با پایداری سیستم قدرت، مدل سیستم تحریک از اهمیت ویژه‌ای برخوردار است. سیستم تحریک مؤثرترین حلقه کنترلی در ایجاد و همچنین کنترل نوسانات سیگنال کوچک توان الکتریکی می‌باشد. از دهه ۱۹۶۰ میلادی با محز شدن اهمیت مدل‌سازی دقیق این سیستم، تا کنون چندین گزارش توسط نهاد انجمن مهندسین برق و الکترونیک آمریکا IEEE منتشر شده و در نهایت منجر به تدوین مدل‌های استانداردی گردیده که آخرین بازنگری بر روی آن‌ها در سال ۲۰۰۵ صورت پذیرفته است.

۲-۲ مدل‌های سیستم تحریک به منظور انجام مطالعات پایداری سیستم

قدرت

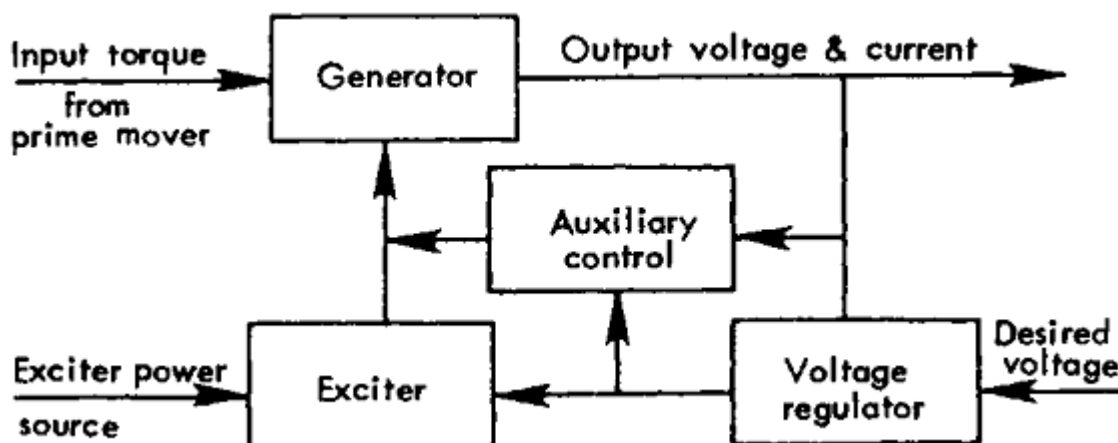
هنگامی که عملکرد دینامیکی ماشین‌های سنکرون به منظور انجام بررسی‌های مرتبط با پایداری سیستم قدرت شبیه‌سازی می‌شوند، باید سیستم‌های تحریک ماشین‌های سنکرون با جزئیات کافی مدل شوند. لازم است مدل‌های بدست آمده قابلیت نمایش عملکرد واقعی سیستم تحریک را در مقابل اغتشاشات بزرگ و همچنین اختلالات کوچک را داشته باشند. مدل‌هایی که برای سیستم تحریک در نظر گرفته می‌شوند برای انحرافات فرکانس تا ± 5 درصد از مقدار فرکانس نامی و فرکانس‌های نوسان تا ۳ هرتز صادق می‌باشند. این

مدل‌ها برای بررسی‌های مربوط به رزونانس زیر سنکرون^۱ (SSR) و یا مشکلات مربوط به تداخلات پیچشی شفت مناسب نیستند. چرا که فرکانس این نوع نوسانات بیشتر از ۴ هرتز است [۲].

۳-۲ نمایش سیستم‌های تحریک ماشین سنکرون در مطالعات سیستم

قدرت

وظیفه اصلی سیستم تحریک، تأمین جریان مستقیم سیم‌پیچ تحریک ماشین سنکرون است. بعلاوه سیستم تحریک با کنترل ولتاژ تحریک (و در نتیجه جریان تحریک) وظیفه‌ی کنترل و حفاظت را که در عملکرد مناسب یک سیستم قدرت مهم است اجرا می‌کند. وظایف کنترل شامل کنترل ولتاژ و توان راکتیو انتقالی و تقویت پایداری سیستم می‌شود. شکل ۱-۲ چگونگی ارتباط میان سیگنال‌های ژنراتور و مؤلفه‌های تحریک را نمایش می‌دهد.



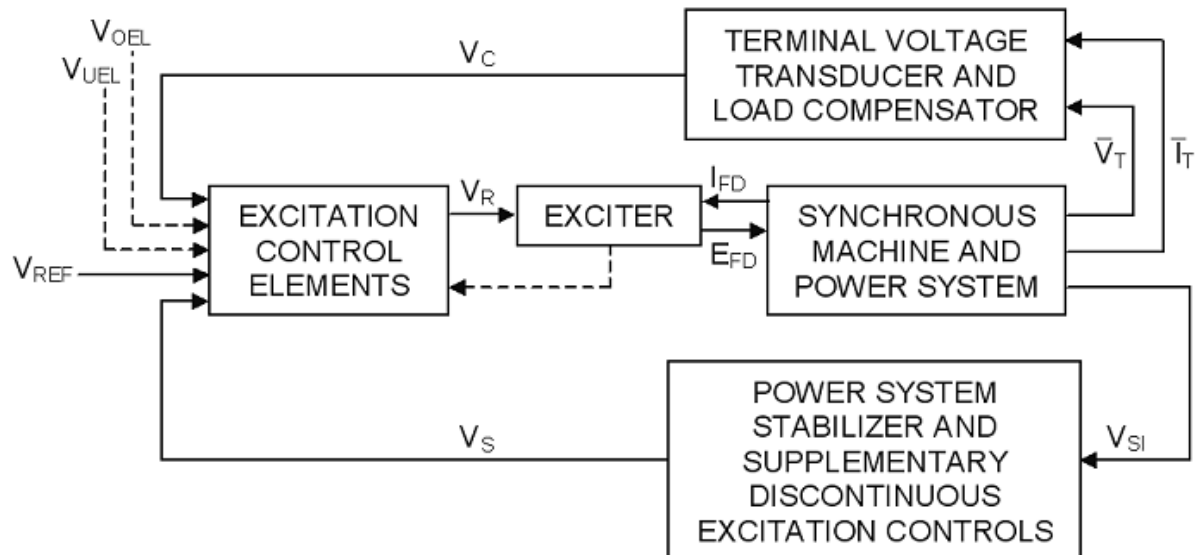
شکل ۱-۲ : آرایش ارتباط و ترتیب مؤلفه‌های تحریک [۴۳]

می‌توان نمای مجتمع شده‌ی این دیاگرام به همراه سایر بلوک‌های معمول در سیستم کنترل تحریک را در شکل ۲-۲ مشاهده نمود. همان‌طور که ملاحظه می‌کنید سیستم کنترل تحریک شامل زیر سیستم‌هایی شامل مبدل^۲ ولتاژ به همراه جبران ساز بار، مؤلفه‌های کنترل تحریک، تحریک کننده، و در بسیاری از موارد

¹ Subsynchronous resonance

² Transducer

دارای یک پایدارساز سیستم قدرت نیز می‌باشد. در این میان مؤلفه‌ی کنترل تحریک شامل تابع‌های تنظیم کننده^۱ و پایدارکننده تحریک می‌باشد. همچنین سیگنال‌های V_{OEL} و V_{UEL} به عنوان محدود کننده‌های فوق تحریک و زیر تحریک به صورت ورودی کنترل تحریک مورد استفاده قرار می‌گیرند.



شکل ۲-۲ : بلوک دیاگرام سیستم کنترل تحریک ماشین سنکرون [۳۹]

با توجه به مطالب فوق ذکر، توابع معمول و ضروری سیستم‌های تحریک عبارتند از:

مبدل ولتاژ پایانه و جبران کننده بار

تنظیم کننده

پایدارساز سیستم قدرت

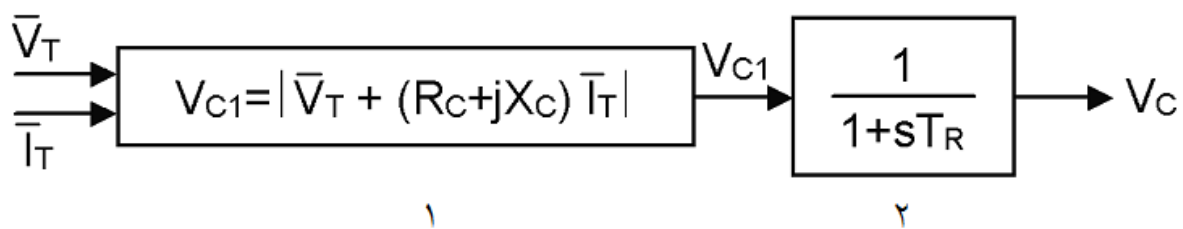
مدارهای محدود کننده و حفاظتی

۲-۳-۱- مبدل ولتاژ پایانه و جبران کننده بار

نمای این دو تابع در شکل ۳-۲ آورده شده است. بلوک شماره ۱ نمایش دهنده تابع جبران کننده بار می‌باشد. ورودی این بلوک سیگنال‌های اندازه‌گیری شده‌ی جریان I_T و ولتاژ V_T پایانه ژنراتور می‌باشد. به

^۱ Regulator

طور معمول این اندازه‌گیری در پایانه ژنراتور صورت می‌پذیرد، با این حال اگر V_T و I_T در نقطه‌ای داخل یا خارج ماشین اندازه‌گیری شوند، بلوک جبران ساز مقدار ولتاژی که باید به ولتاژ پایانه اضافه شود (اندازه‌گیری داخل ماشین) و یا از آن کم شود (اندازه‌گیری خارج از ماشین) را از طریق محاسبه‌ی امپدانس $Z_C = R_C + jX_C$ ، جبران می‌کند. البته در بسیاری از موارد مقدار R_C بسیار ناچیز است و در نظر گرفته نمی‌شود. بدیهی است اگر سیگنال‌های ولتاژ و جریان در پایانه ماشین اندازه‌گیری شوند، نیازی به جبران سازی نیست و مؤلفه‌های R_C و X_C مساوی صفر خواهند بود.



شکل ۳-۲ : بلوک دیاگرام مبدل ولتاژ پایانه به همراه جبران ساز بار

بلوک شماره‌ی ۲ معرفی کننده تابع مبدل ولتاژ می‌باشد. پس ساختن سیگنال ولتاژ V_{C1} از سیگنال‌های پایانه ماشین، بلوک مبدل ولتاژ وظیفه‌ی یکسو سازی و آماده‌سازی آن را برای اعمال به تنظیم‌کننده ولتاژ بر عهده دارد. ثابت زمانی T_R در این بلوک، مقدار بسیار کوچکی دارد.

۲-۳-۲ تنظیم کننده ولتاژ

این بلوک با مقایسه‌ی مابین سیگنال اندازه‌گیری شده‌ی V_{C1} ، سیگنال مرجع V_{REF} و سیگنال‌های کنترلی V_{UEL} ، V_{OEL} و ... و با اعمال عملگرهایی بر روی سیگنال خروجی از این مقایسه، ولتاژ تحریک، تحریک کننده را می‌سازد. همچنین این بلوک به همراه یک بلوک پایدارساز سیستم تحریک مورد استفاده قرار می‌گیرد. بلوک پایدارساز، به صورت یک کنترل کننده‌ی فیدبکی عمل می‌کند. ورودی پایدارساز، خروجی مدار تحریک کننده و خروجی آن به صورت یک سیگنال کنترلی اضافی وارد تنظیم کننده می‌شود. نکته‌ای که می‌بایست در مورد تنظیم‌کننده‌ها دقت شود، سرعت پاسخ‌گویی آن‌ها می‌باشد. در واقع در صورت به وجود آمدن تغییری در ورودی، سیستم تحریک تا زمانی از تنظیم کننده دستوری دریافت نکند،

پاسخ را تغییر نمی‌دهد. بدین ترتیب سیستم‌هایی که دارای تنظیم‌کننده‌های کندی می‌باشند، بدون توجه به سرعت پاسخ‌گویی تحریک‌کننده، از آن‌ها با نام سیستم‌های ضعیف یاد می‌شود. همچنین برای داشتن سیستمی با قابلیت اطمینان و دسترسی بالا، استفاده از تنظیم‌کننده‌هایی که دارای عملکرد پیوسته می‌باشند، ضروری است. یعنی هر گونه عملکرد اصلاحی می‌بایست متناسب با انحراف ولتاژ پایانه ac از مقدار مرجع و بدون توجه به کوچکی دامنه‌ی آن، اعمال شود [۴۳].

۳-۳-۲ پایدارساز سیستم قدرت

این بلوک با اعمال سیگنال کنترلی کمکی به ورودی تنظیم‌کننده ولتاژ وظیفه‌ی میرا کردن نوسانات فرکانس پایین را بر عهده دارد. در فصل آینده در مورد بعضی از انواع مدل‌های پایدارساز توضیحاتی ارائه شده است.

۴-۳-۲ مدارهای محدودکننده و حفاظتی

مدارها و المان‌های کنترلی و حفاظتی زیادی برای اطمینان از کارکرد سیستم تحریک مورد استفاده قرار می‌گیرند. اثر این المان‌ها به سه صورت در مدل‌سازی‌ها در نظر گرفته می‌شود. نوع اول در نظر گرفتن آن‌ها، اعمال سیگنالی به عنوان ورودی یک بلوک کنترلی می‌باشد. به عنوان مثال سیگنال‌های V_{UEL} ، V_{OEL} در شکل ۲-۲ از این نوع می‌باشند. نوع دوم حدودی می‌باشند که بر روی بلوک‌های کنترلی و یا خروجی آن‌ها اعمال می‌شوند. وظیفه‌ی هر دو آن‌ها محدود کردن سیگنال خروجی در محدوده‌ی تعریفی می‌باشد. نوع سوم استفاده از بلوک‌های مزایده‌ای^۱ می‌باشد. در این بلوک‌ها، پس از مقایسه‌ی بین سیگنال خروجی و سیگنال مرجع بنا بر تعریف نوع مزایده، سیگنال کوچک‌تر و یا بزرگ‌تر به عنوان خروجی عبور می‌کند [۱].

^۱ auctioneer

۴-۲ انواع سیستم‌های تحریک

همان‌طور که گفتیم سیستم‌های تحریک بنا بر نوع منبع تغذیه تحریک ماشین به سه دسته‌ی زیر تقسیم می‌شوند.

۱- سیستم‌های تحریک جریان مستقیم

۲- سیستم‌های تحریک جریان متناوب

۳- سیستم‌های تحریک استاتیک

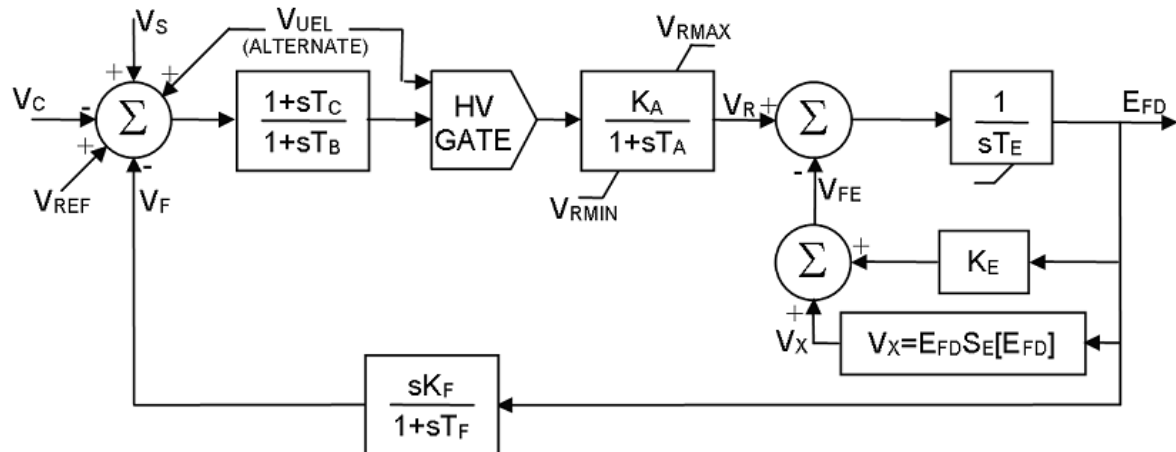
هر یک از طبقه‌بندی‌هایی بالا در بخش ذیل به صورت مختصر و جامع توضیح داده شده‌اند.

۴-۲-۱ تحریک‌کننده جریان مستقیم- نوع dc [۳۹]

تعداد محدودی از ماشین‌های سنکرون جدید به این نوع سیستم‌های تحریک مجهز شده‌اند، و بسیاری از آن‌ها نیز با سیستم‌های متناوب و یا استاتیک جایگزین شده‌اند. با این حال تعداد زیادی از آن‌ها در حال سرویس می‌باشند. در ادامه مدل‌های $DC1A$ ، $DC2A$ ، $DC3A$ و مدل جدیدتر $DC4B$ به تفصیل بررسی خواهد شد.

۴-۲-۱-۱ مدل سیستم تحریک نوع $DC1A$

این مدل که شمای آن در شکل ۴-۲ آورده شده است به منظور نمایش تحریک‌کننده‌ها با کموتاتورهای جریان dc کنترل شده با میدان که به همراه تنظیم‌کننده‌های ولتاژ می‌باشند، بکار گرفته می‌شود. از آن جایی که این مدل در صنعت بسیار بکار گرفته شده است در زمانی که اطلاعات مربوط به سایر نوع‌های سیستم تحریک در دست نباشد و یا مدل ساده‌ای از سیستم تحریک dc مورد نیاز باشد از این مدل استفاده می‌گردد. ورودی اصلی این مدل ولتاژ خروجی، V_C ، است که از ترانسیدیوسر ولتاژ ترمینال و جبران ساز بار گرفته می‌شود.



شکل ۴-۲ : تحریک‌کننده با کموتاتور DC-نوع DC1A

در قسمتی که ولتاژها با یکدیگر جمع می‌شوند، خروجی ترانزیدیوسر ولتاژ ترمینال (V_C) از مرجع تنظیم شده ولتاژ (V_{REF}) کم می‌شود. ولتاژ فیدبک پایدارساز (V_F) هم از حاصل کاسته می‌گردد و در نهایت با اضافه شدن ولتاژ پایدارساز سیستم قدرت (V_s), ولتاژ خطای ساخته می‌شود. در حالت دائمی ولتاژهای فیدبک و پایدارساز سیستم قدرت صفر هستند. ثابت زمانی اصلی تنظیم‌کننده ولتاژ T_A و بهره آن K_A می‌باشد. همراه تنظیم‌کننده ولتاژ، محدودکننده‌هایی هستند که نشان‌دهنده اشباع و یا محدوده‌های تأمین توان تقویت‌کننده^۱ می‌باشند. ثوابت زمانی T_B و T_C ممکن است به منظور مدل کردن ثوابت زمانی معادل در تنظیم‌کننده‌های ولتاژ بکار گرفته شوند ولی این ثابت‌های زمانی اغلب کوچک هستند و می‌توان از آن صرف نظر نمود.

خروجی تنظیم‌کننده ولتاژ، V_R ، به منظور کنترل تحریک‌کننده که ممکن است به صورت تحریک مجزا یا خود تحریک باشد بکار گرفته می‌شود. زمانی که میدان شنت به صورت خود تحریک مورد استفاده قرار می‌گیرد، مقدار K_E نشان‌دهنده مقدار تنظیمی رئوستای شنت میدان است.

اکثر تحریک‌کننده‌ها از میدان‌های شنت خود تحریک به همراه تنظیم‌کننده‌های ولتاژی که به طور معمول در حالت افزاینده-کاهنده^۲ قرار دارند، مورد استفاده قرار می‌گیرند. در بعضی کاربردها مقدار K_E صفر

¹ amplifier

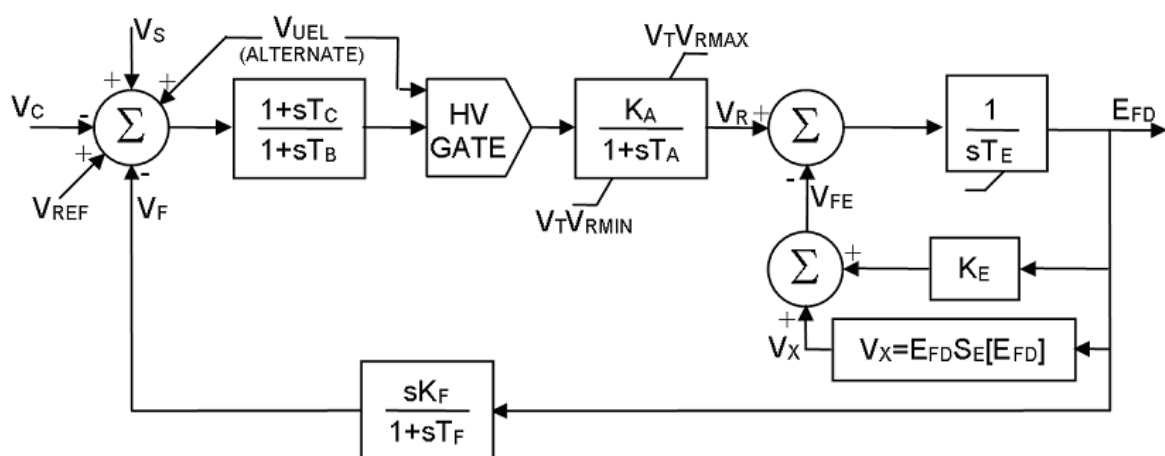
² buck-boost

برای حالت خود تحریک بکار گرفته می‌شود. همچنین در بسیاری از آن‌ها مقدار K_E ثابت می‌باشد. این مقدار به صورتی انتخاب می‌شود که خود تحریکی در حالتی نزدیک شرایط نامی باشد. مقدار K_E برابر با یک به منظور نشان دادن تحریک‌کننده‌ها با تحریک مجزا بکار گرفته می‌شود.تابع $S_E[EFD]$ یک تابع غیرخطی برای در نظر گرفتن اثر اشباع می‌باشد و معمولاً از تابع نمایی برای نمایش آن استفاده می‌شود. خروجی این بلوک اشباع، V_X ، حاصل ضرب ولتاژ تحریک E_{FD} در مقدار تابع اشباع $S_E[EFD]$ در همان ولتاژ تحریک است.

سیگنال پایدارساز سیستم تحریک با نمونه‌گیری از ولتاژ میدان، V_F ، و از طریق فیدبک با بهره K_F و ثابت زمانی T_F ساخته می‌شود.

۲-۱-۴-۲ مدل سیستم تحریک نوع DC2A

مدلی که در شکل ۲-۶ نشان داده شده است به منظور نشان دادن تحریک‌کننده‌های کمotaتور dc کنترل شونده با میدان به همراه تنظیم‌کننده‌های ولتاژ با عملکرد پیوسته که منبع تغذیه‌ی آن‌ها ژنراتور و یا باس کمکی است، بکار گرفته می‌شود. تفاوت این مدل با مدل DC1A فقط در محدود کننده‌های خروجی تنظیم کننده ولتاژ می‌باشد که در این حالت حدود اعمالی متناسب با ولتاژ ترمینال ژنراتور، V_T ، هستند.



شکل ۵-۲ : تحریک‌کننده با کمotaتور DC-نوع DC2A با تغذیه تنظیم‌کننده ولتاژ از باس

۲-۴-۳- مدل سیستم تحریک نوع DC3A

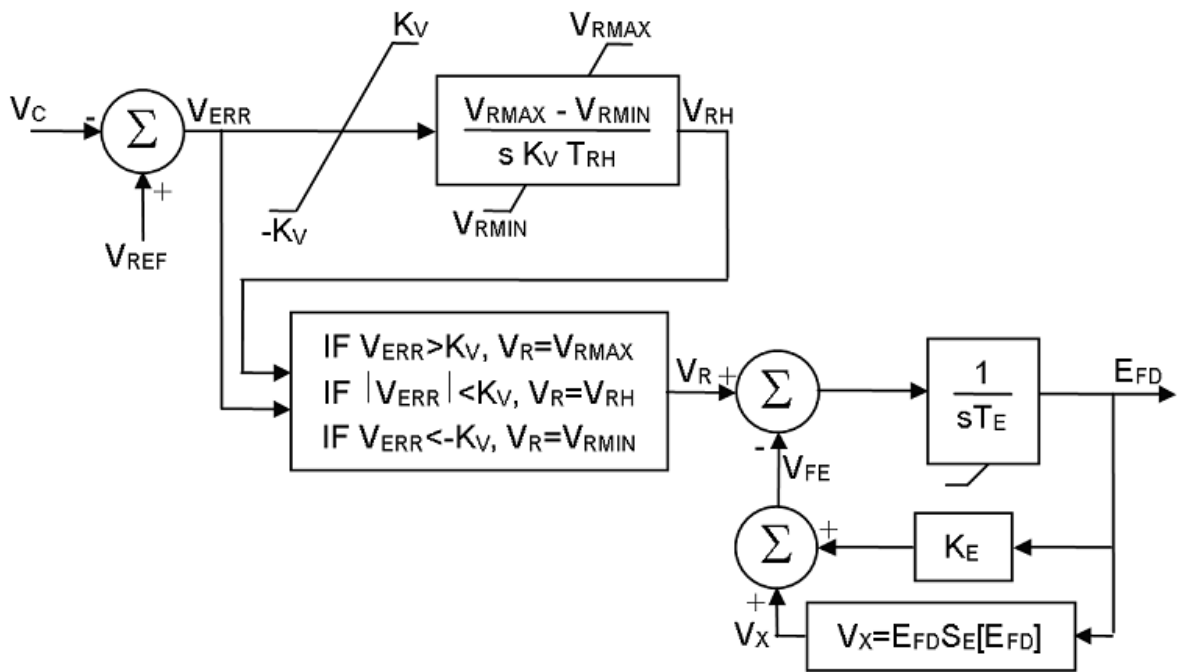
سیستمی که در قسمت قبل توضیح داده شد نشاندهنده نسل اول منابع تحریک با سرعت بالا و بهره زیاد می‌باشد. مدل DC3A نشاندهنده سیستم‌های قدیمی‌تر، به خصوص تحریک‌کننده‌هایی با کمotaتور dc به همراه تنظیم‌کننده‌هایی با عملکرد گسسته می‌باشد که قبل از نوع پیوسته‌ی آن به طور معمول استفاده می‌شوند.

پاسخ‌دهی این سیستم‌ها بسته به مقدار خطای ولتاژ، با دو سرعت مختلف انجام می‌پذیرد. برای خطاهای کوچک، تنظیم به صورت متناوب با اعمال سیگنالی به موتور گرداننده رئوستا انجام می‌گیرد. خطاهای بزرگ‌تر باعث می‌شوند که مقاومت‌ها به سرعت اتصال کوتاه و یا وارد مدار شوند و سیگنال بزرگی به تحریک‌کننده اعمال شود. در شکل ۶-۲ تحریک‌کننده به مانند سیستم‌های قبلی عمل می‌کند. توجه داشته باشید که پایدارساز سیستم تحریک استفاده نشده است.

بسته به مقدار خطای ولتاژ، $V_{REF}-V_C$ ، حالت‌های مختلف تنظیم‌کننده به وقوع می‌پیوندد. اگر مقدار خطای ولتاژ از مقدار تنظیمی K_V مربوط به افزایش یا کاهش سریع^۱ (معمولًاً ۵٪) بیشتر باشد، V_{RMAX} و V_{RMIN} بسته به علامت خطای ولتاژ، به تحریک‌کننده اعمال می‌شوند. اگر مقدار خطای ولتاژ از K_V کمتر باشد ورودی تحریک‌کننده برابر با مقدار تنظیم‌شده رئوستا (V_{RH}) می‌شود.

بسته به علامت خطا، مقدار تنظیمی رئوستا درجه بالا یا پایین پیدا می‌کند. زمان گذار که نشاندهنده حرکت پیوسته موتور گرداننده رئوستا می‌باشد برابر با T_{RH} است. محدودکننده‌ای که دور این بلوک قرار گرفته است نشاندهنده این حقیقت است که در زمانی که رئوستا به هر یک از محدوده‌هایش می‌رسد آمادگی این را دارد که به سرعت آن را اعمال کند.

^۱ Fast raise/lower



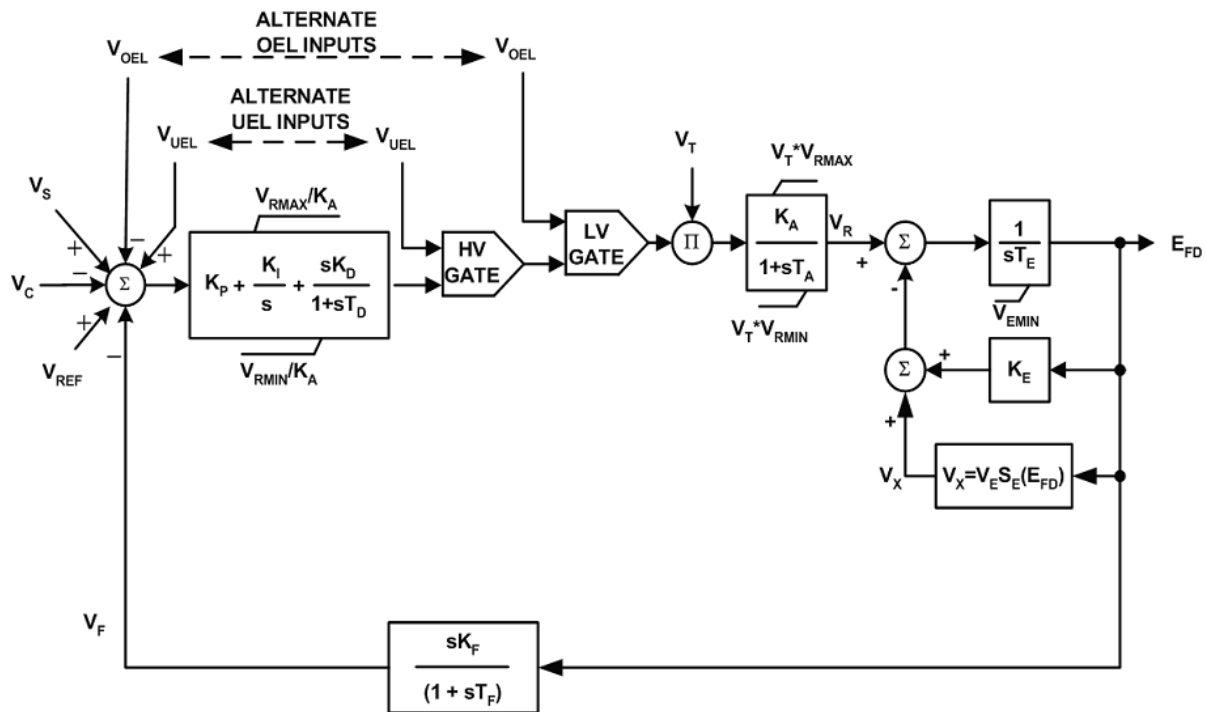
شکل ۶-۲ : تحریک‌کننده با کموتاتور DC - نوع DC3A

فرض‌های مدل در خصوص حدود مربوط به افزایش/کاهش سریع همانند محدودیت‌های رئوستا می‌باشند.

۴-۱-۴-۲ مدل سیستم تحریک نوع DC4B

شکل ۷-۲ نمایش‌دهنده نوع جدیدتر سیستم تحریک مستقیم می‌باشد. در این نوع نیز همانند نوع DC2A از تحریک‌کننده با کموتاتور dc کنترل شونده با میدان به همراه تنظیم‌کننده‌های ولتاژ با منبع تغذیه‌ای از ژنراتور و یا بس‌های کمکی استفاده می‌شود. تفاوت آن با دیگر مدل‌ها جایگزینی کنترلرهای حدود اعمالی می‌باشد. همچنین در مقایسه با سایر مدل‌ها از یک تنظیم‌کننده ولتاژ به صورت بلوك کنترلی PSS2B تناسبی-انتگرالی-دیفرانسیلی^۱ (PID) بهره می‌برد. مدل مناسب PSS برای این مدل تحریک، مدل است.

^۱ Proportional-integral-differential



شکل ۷-۲ : تحریک کننده با کمotaتور DC-DC - نوع DC4B

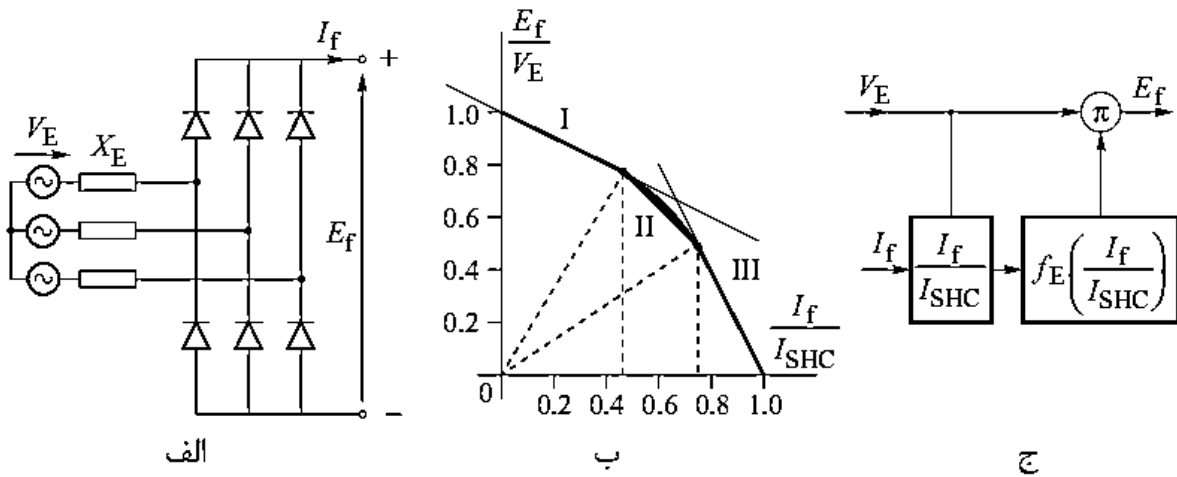
۲-۴-۲ سیستم‌های تحریک به همراه یکسو ساز و تغذیه شده از منبع جریان متناوب-

نوع AC

در این سیستم‌های تحریک از یک منبع متناوب و همچنین یکسو کننده‌های ساکن یا گردان برای تولید میدان DC مورد نیاز استفاده می‌گردد. اثرات بار روی این چنین تحریک کننده‌های قابل ملاحظه است و استفاده از جریان میدان ژنراتور به عنوان ورودی مدل‌ها اجازه نمایش دقیق این اثرات را می‌دهد. اگر از این مدل در محاسبه‌ی پیش فازی شبکه برای تنظیم PSS استفاده شود، انجام یک بررسی جزیی تر درباره‌ی ماشین ac مورد نیاز است.

در این مدل‌ها سیگنال V_{FE} متناسب با جریان میدان تحریک کننده، از مجموع سیگنال‌های ولتاژ خروجی تحریک کننده، V_E ، ضربدر K_E $S_E[V_E] + K_E I_{FD}$ تابع اشباع می‌باشد) و همچنین مؤلفه مؤلفه‌ی ضد مغناطیسی می‌باشد) بدست می‌آید. در بعضی مدل‌ها، سیگنال جریان میدان تحریک کننده به عنوان ورودی بلوك پایدارساز سیستم تحریک با خروجی V_F بکار می‌رود.

معمولًاً این نوع تحریک‌کننده‌ها از یکسو ساز ۳ فاز شامل ۶ دیود بهره می‌برند (شکل ۲-۸-الف). یکسو ساز از یک منبع AC ۳ فاز با ولتاژ V_E و راکتانس X_E تغذیه می‌شود. ولتاژ خروجی تحریک به مشخصه‌ی کموتاسیون^۱ یکسو ساز وابسته است. اثر کموتاسیون وابسته به جریان عبوری از یکسو ساز و راکتانس آن (X_E), در سه حالت اصلی تقسیم می‌شود. می‌توان این حالت‌ها را به صورت تابعی از جریان میدان بیان کرد (شکل ۲-۸-ب). همان‌طور که از شکل ۲-۸-ج پیداست برای در نظر گرفتن اثر کموتاسیون در مدل‌سازی‌ها، می‌بایست عددی متناسب با یکی از این سه حالت در ولتاژ V_E ضرب شود تا مقدار واقعی ولتاژ خروجی تحریک E_f محاسبه شود. این عدد از محاسبه‌ی نسبت جریان میدان (If) به جریان اتصال کوتاه یکسو ساز (Ish)، و تطبیق آن با دیاگرام ولتاژ-جریان شکل ۲-۸-ب بدست می‌آید [۴۴].



شکل ۲-۸ : اثر یکسو ساز کنترل نشده‌ی سه فاز بر خروجی تحریک‌کننده. الف: مدار معادل یکسو ساز، ب: مشخصه جریان ولتاژ، ج: بلوك دیاگرام مربوط به اثر یکسو ساز در مدل‌سازی تحریک [۴۴]

مدل‌هایی از سیستم‌های تحریک متنابض که در ادامه مورد بررسی قرار خواهند گرفت عبارتند از: AC8B، AC6A، AC5A، AC4A، AC3A، AC2A، AC1A

۱-۲-۴-۲ مدل سیستم تحریک نوع AC1A [۳۹]

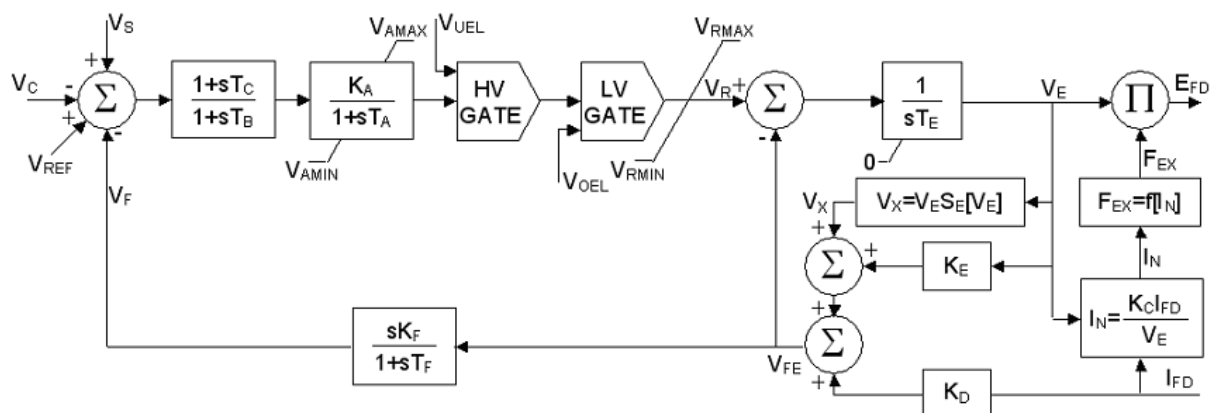
مدلی که در شکل ۹-۲ نشان داده شده است مربوط به مدل سیستم تحریک کنترل شونده با میدان به همراه یکسو ساز گردان و از نوع AC1A است. این نوع از سیستم‌های تحریک شامل یک مولد جریان

^۱ commutation

متناوب اصلی به همراه یکسو ساز غیرقابل کنترل می‌باشند. تحریک‌کننده دارای خاصیت خود تحریکی نمی‌باشد و توان مورد نیاز تنظیم‌کننده ولتاژ از منبعی که تحت تأثیر حالات گذرا خارجی قرار نمی‌گیرد تأمین می‌شود. همان‌طوری که در شکل نشان داده شده است، وجود دیود در تحریک‌کننده باعث اعمال حد پایینی صفر به خروجی تحریک‌کننده می‌شود.

اثر مغناطیس زدایی جریان بار، I_{FD} ، روی ولتاژ خروجی تحریک‌کننده متناوب، V_E ، از طریق فیدبک با بهره K_D اعمال می‌شود. این ثابت به صورت تابعی از تحریک‌کننده‌ی ماشین سنکرون و راکتانس‌های گذرا تعریف می‌شود. افت ولتاژ خروجی تحریک‌کننده به علت رگولاتسیون یکسو ساز^۱، با اعمال ضریب K_C (تابعی از راکتانس کموتاسیون) و منحنی رگولاتسیون یکسو ساز شبیه‌سازی می‌شود.

در مطالعات پایداری مربوط به سیستم‌های قدرت بزرگ، می‌توان از مدل ساده شده‌ی این مدل برای سیستم تحریک ماشین سنکرون بهره برد.



شکل ۹-۲ : سیستم تحریک به همراه یکسو ساز و منبع جریان متناوب با فیدبک از جریان میدان تحریک‌کننده- نوع AC1A

۲-۲-۴-۲ مدل سیستم تحریک نوع AC2A [۳۹]

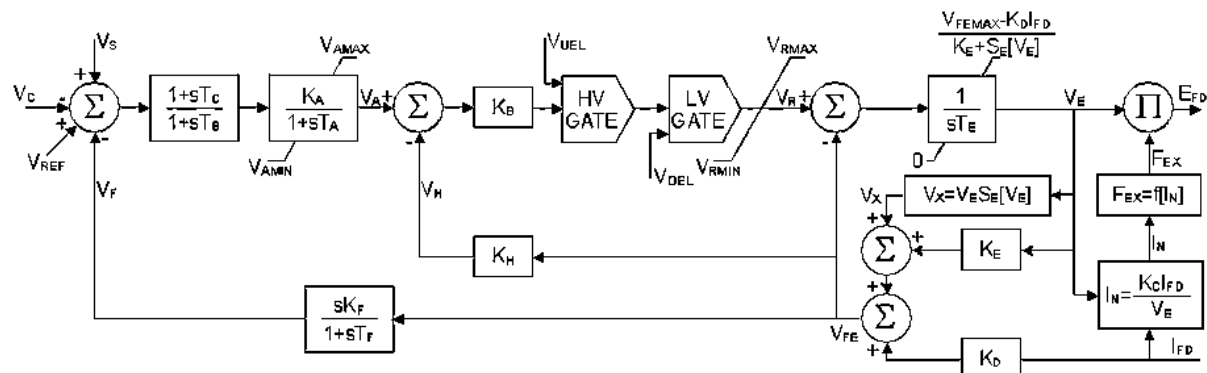
شکل ۲-۱۰ نمایش‌دهنده سیستم تحریک نوع AC2A می‌باشد. این تحریک‌کننده کنترل شونده با میدان است و از یک یکسو ساز نوع گردان برای تغذیه‌ی میدان dc استفاده می‌کند. مدل AC2A مانند مدل

^۱ Rectifier regulation

AC1A می‌باشد. تفاوتی که این مدل با مدل AC1A دارد وجود المان‌های محدودکننده جریان میدان تحریک‌کننده و همچنین جبران سازی ثابت زمانی تحریک‌کننده است

جبران سازی ثابت زمانی تحریک‌کننده که شامل فیدبک منفی، V_H ، حول ثابت زمانی میدان تحریک‌کننده است، با کاهش جریان موثر آن، سبب افزایش پهنای باند پاسخ فرکانس پایین سیستم تحریک می‌شود. ثابت زمانی در حلقه‌ی جبران سازی با فاکتوری متناسب با حاصل ضرب K_B و K_H کاهش پیدا می‌کند.

به منظور دستیابی به پاسخ اولیه سریع با این سیستم، ولتاژ اعمالی زیادی V_{RMAX} به میدان تحریک‌کننده اعمال می‌گردد. محدودکنندهای به جریان میدان تحریک‌کننده اعمال می‌گردد و به این ترتیب ولتاژ خروجی تحریک‌کننده، V_E ، هم در مقداری که توسط پاسخ نامی سیستم تحریک تعیین می‌شود محدود می‌گردد.

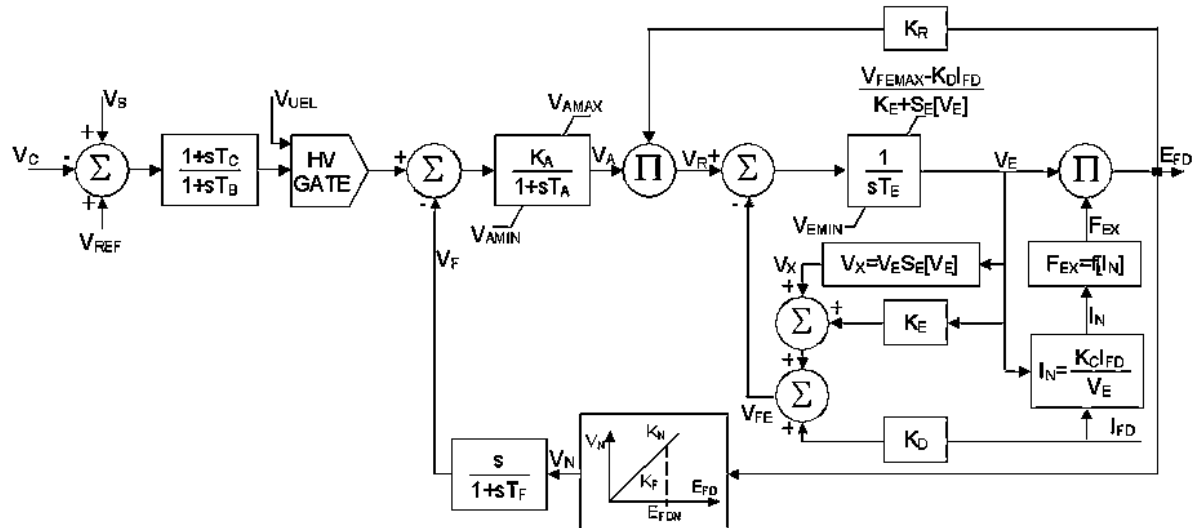


شکل ۱۰-۲ : سیستم تحریک با پاسخ اولیه سریع به همراه یکسو ساز کنترل نشده و منبع جریان متناوب با فیدبک از جریان میدان - نوع AC2A

۳-۲-۴-۲ مدل سیستم تحریک نوع [۳۹] AC3A

مدلی که در شکل ۱۱-۲ نشان داده شده است مربوط به سیستم تحریک Ac نوع AC3A است. این سیستم شامل یک تحریک‌کننده متناوب با یکسو سازهای کنترل نشده است. تحریک‌کننده در این مدل به صورت خود تحریک است و توان تنظیم‌کننده ولتاژ از ولتاژ خروجی تحریک‌کننده تأمین می‌گردد. لذا این سیستم به صورت یک سیستم غیرخطی است که با استفاده از یک ضرب کننده که ورودی‌های آن سیگنال

فرمان تنظیم کننده ولتاژ V_A و ولتاژ خروجی تحریک کننده E_{FD} ضریب رله K_R است، شبیه‌سازی می‌شود. این مدل قابل اعمال به سیستم‌های تحریکی که از تنظیم‌کننده‌های ولتاژ استاتیک استفاده می‌کند می‌باشد.



شکل ۱۱-۲ : تحریک کننده با یکسو ساز و منبع جریان متناوب به همراه محدود کننده جریان میدان- نوع AC3A

در مطالعات پایداری سیستم‌های قدرت بزرگ، از مدل ساده شده تحریک کننده‌های متناوب ماشین سنکرون استفاده می‌شود.

اثر مغناطیس زدایی جریان بار (I_{FD}) بر روی ولتاژ خروجی تحریک کننده، V_E ، از طریق مسیر فیدبک دارای بهره ثابت، K_D ، که تابعی از راکتانس‌های گذرا و سنکرون منبع جریان متناوب تحریک کننده است، در نظر گرفته می‌شود.

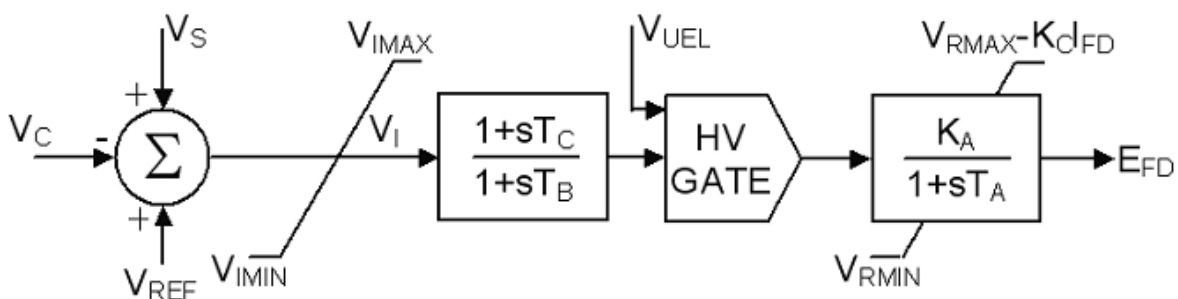
افت ولتاژ خروجی تحریک کننده به علت رگولاسیون یکسو ساز با بکار گیری ثابت K_C که تابعی از راکتانس کموتاسیون است و منحنی رگولاسیون F_{EX} شبیه‌سازی می‌شود.

پایدارساز سیستم تحریک در این مدل دارای خاصیت غیرخطی است. برای خروجی تحریک کمتر از بهره این مسیر K_F است. و هنگامی که خروجی تحریک کننده از E_{FDN} بیشتر شود، مقدار بهره برابر با K_N می‌شود.

۴-۲-۴-۲ مدل سیستم تحریک نوع AC4A [۳۹]

سیستم تحریک متناوب نوع AC4A که دارای یکسو ساز کنترل شده می‌باشد، به طور کل نسبت به سایر انواع سیستم‌های AC متفاوت می‌باشد. این سیستم تحریک با پاسخ اولیه‌ی سریع، از یک پل کامل تریستوری در مدار خروجی تحریک‌کننده استفاده می‌کند.

تنظیم‌کننده ولتاژ زاویه‌ی آتش پل تریستوری را بر عهده دارد. تحریک‌کننده از یک تنظیم‌کننده ولتاژ مستقل، برای کنترل ولتاژ خروجی‌اش در یک مقدار ثابت استفاده می‌کند. این اثرات در مدل گنجانده نشده‌اند هرچند که اثرات بارگذاری گذرا روی منبع تحریک‌کننده لحاظ شده‌اند. می‌توان اثرات بارگذاری را با استفاده از جریان بار تحریک‌کننده و راکتانس کموتاسیون برای اصلاح حدود سیستم تحریک در نظر گرفت. پایدارسازی سیستم تحریک در سیستم‌های تریستوری به جای فیدبک، با شبکه پیش فاز-پس فاز سری انجام می‌شود. ثابت‌های زمانی T_B و T_C اجازه شبیه‌سازی اینتابع کنترلی را می‌دهند. بهره و ثابت زمانی معادل برای تنظیم‌کننده و یا مربوط به آتش تریستورها توسط ضرایب K_A و K_C شبیه‌سازی می‌شود.

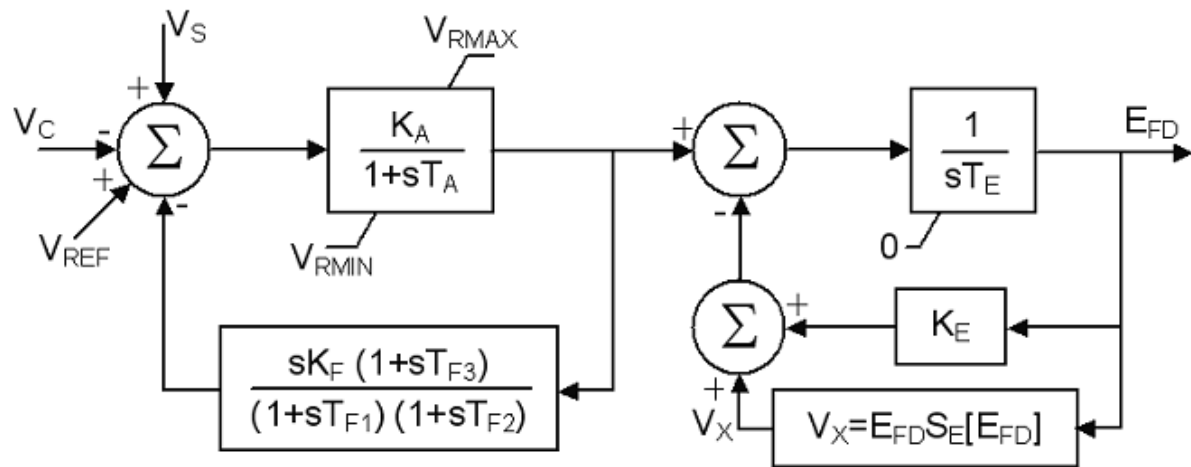


شکل ۱۲-۲ : تحریک‌کننده با منبع تغذیه‌ی متناوب به همراه یکسو ساز قابل کنترل - مدل AC4A

۵-۲-۴-۲ مدل سیستم تحریک نوع AC5A [۳۹]

شکل ۱۳-۲ مدل ساده شده‌ای برای سیستم‌های تحریک بدون جاروبک را نمایش می‌دهد. تنظیم‌کننده از منبعی مثل ژنراتور مغناطیس دائم که تحت تأثیر اغتشاشات سیستم قرار نمی‌گیرد، تغذیه می‌شود. از آن جایی که این مدل به طور گسترده در صنعت بکار گرفته شده است، گاهی اوقات به منظور نمایش

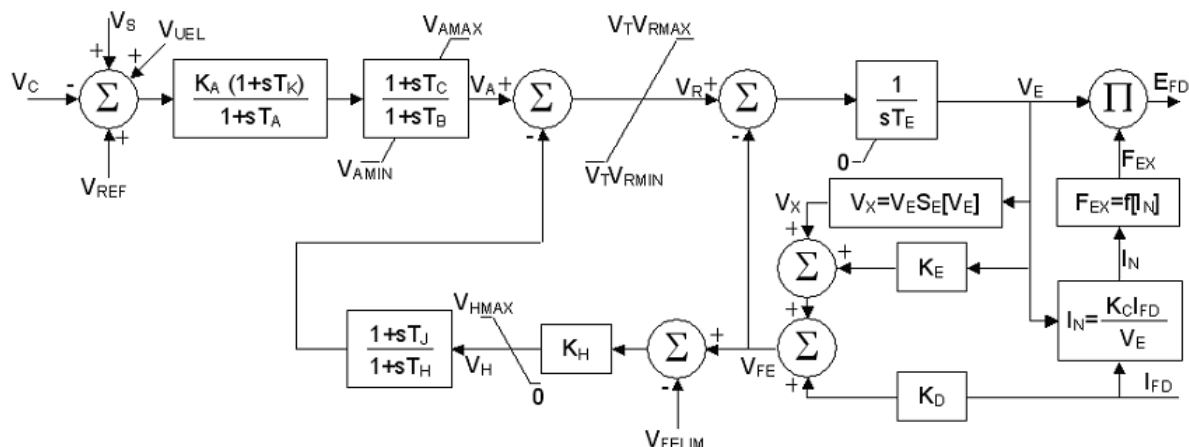
سیستم‌هایی که اطلاعات کامل آن‌ها در دسترس نیست و یا در مواردی که مدل‌های ساده شده‌ای مورد نیاز هستند استفاده می‌شود.



شکل ۱۳-۲ : نمایش ساده شده سیستم تحریک با یکسو ساز دوار - نوع AC5A

۶-۲-۴-۲ مدل سیستم تحریک متناوب نوع AC6A [۳۹]

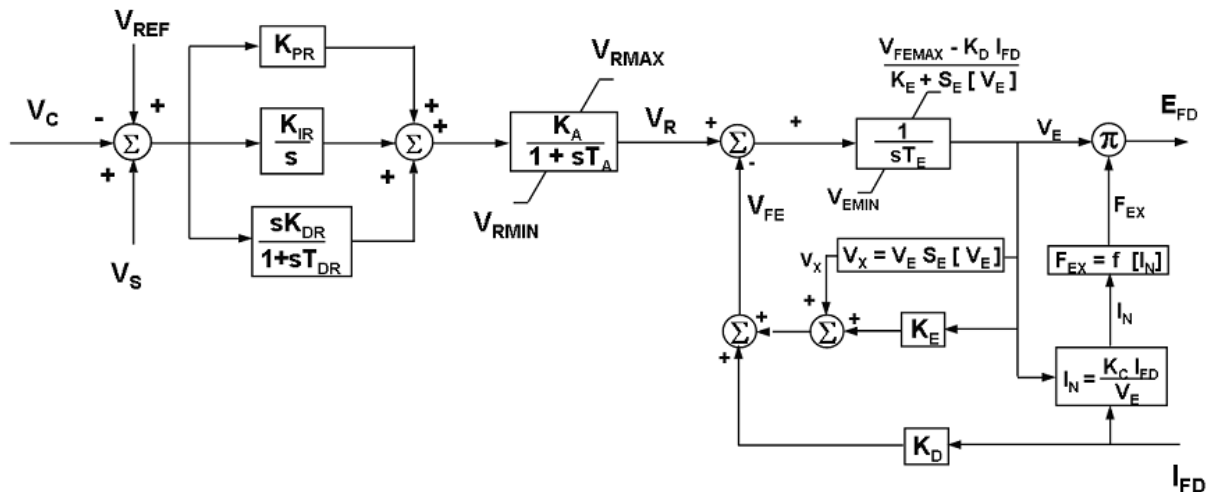
شکل ۱۴-۲ نمایی از سیستم‌های تحریک متناوب کنترل شونده با میدان به همراه یکسو ساز را نمایش می‌دهد. ماکریم خروجی تنظیم‌کننده، V_R ، تابعی از ولتاژ ترمینال، V_T است. همچنین به دلیل استفاده از پل دیودی، یکسو ساز مورد استفاده کنترل‌پذیر نمی‌باشد. تابع‌های کنترلی و حدود استفاده شده در این‌جا، در مدل‌های پیشین توضیح داده شده است.



شکل ۱۴-۲ : نمایش ساده شده سیستم تحریک با یکسو ساز دوار - نوع AC6A

۷-۲-۴-۲ مدل سیستم تحریک متناوب نوع AC8B [۳۹]

بلوک دیاگرام این مدل در شکل ۲ نشان داده شده است. تنظیم کننده‌ی ولتاژ در این مدل شامل یک بلوک PID، با ثابت‌های مجزای تناسبی (K_{PR})، انتگرالی (K_{IR})، و دیفرانسیلی (K_{DR}) می‌باشد. مقدار ثابت‌ها به منظور رسیدن به بهترین کارایی در هر سیستم تحریکی، انتخاب می‌شوند. نمای تحریک کننده‌ی بدون جاروبک (یعنی شامل پارامترهای T_E , K_E , S_E , K_D , K_C)، مشابه مدل نوع AC2A می‌باشد. همچنین از مدل AC8B می‌توان برای نمایش تنظیم کننده‌های استاتیکی ولتاژ با سیستم تحریک بدون جاروبک استفاده کرد. تنظیم کننده‌های دیجیتالی ولتاژ که تحریک کننده اصلی dc را تغذیه می‌کند، با صفر کردن پارامترهای K_C و K_D در مدل AC8B نمایش داده می‌شوند. برای حالتی که توان ورودی تریستورها از ترمینال ژنراتور تغذیه می‌شود، حدود V_{RMAX} و V_{RMIN} باید تابعی از ولتاژ ترمینال باشند. در این حالت باید باس کمکی و یا تغذیه کننده‌ی^۱ PMG^۱ که وظیفه‌ی تغذیه‌ی تنظیم کننده‌ی ولتاژ را از ترمینال سیستم بر عهده دارد، در شبیه‌سازی‌ها در نظر گرفت.



شکل ۲-۱۵ : سیستم تحریک متناوب به همراه یکسو ساز- نوع AC8A

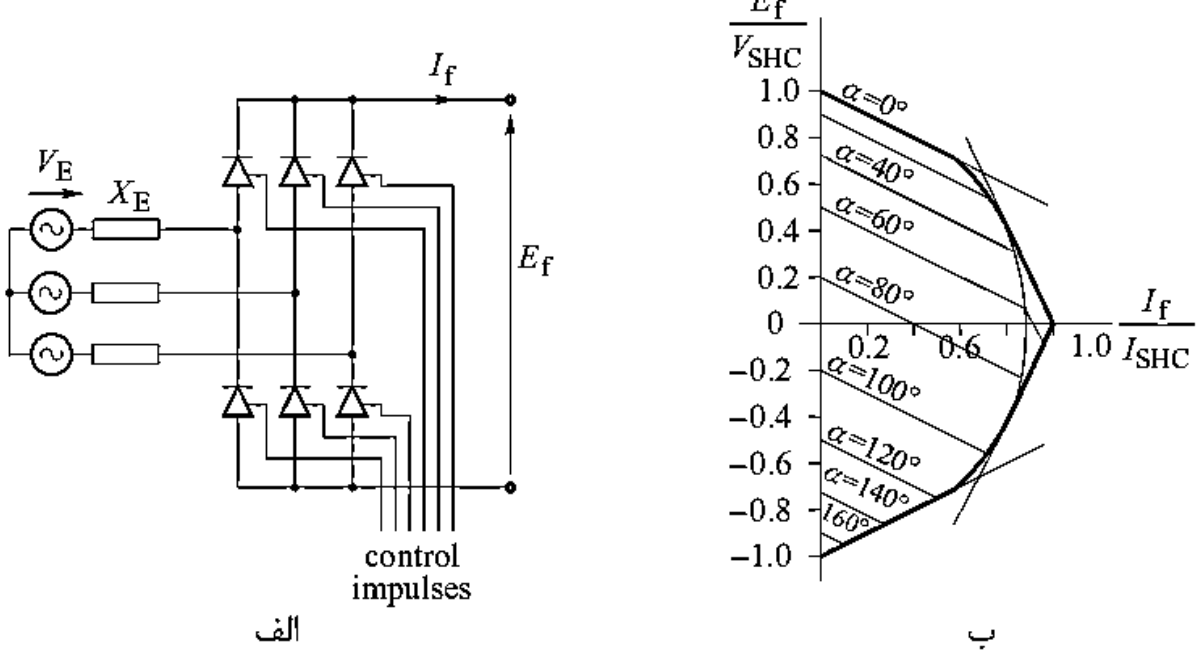
^۱ Permanent Magnet Generator

۴-۳ سیستم‌های تحریک استاتیک - نوع ST

در این نوع سیستم‌های تحریک، ولتاژ (همچنین جریان در سیستم‌های کمپوند) به سطح مناسبی رسانده می‌شوند. یکسو سازها، چه به صورت قابل کنترل و چه به صورت غیرقابل کنترل، فراهم کننده جریان مستقیم مورد نیاز برای میدان ژنراتور می‌باشند. ولتاژ سقف تحریک‌کننده برای بسیاری از سیستم‌های تحریک بسیار بالاست. برای این‌چنین سیستم‌هایی ممکن است مدارهای محدود کننده کمکی جریان میدان به منظور حفاظت از تحریک‌کننده و روتور ژنراتور استفاده شود. این مدارهای کمکی شامل المان‌های تأخیری و لحظه‌ای می‌باشند ولی این نوع از سیستم‌های تحریک فقط محدود کننده‌های لحظه‌ای را شامل می‌شوند (فقط برای مدل‌های ST6B و ST1A).

در سیستم‌های تحریک دارای یکسو ساز سه فاز کنترل شده با ۶ تریستور، مشخصه‌ی خروجی یکسو ساز وابسته به زاویه‌ی آتش α و مشخصه‌ی کمotaسیون سیستم به صورت شکل ۱۶-۲ خواهد بود. هنگامی که زاویه‌ی آتش برابر با صفر باشد، مشخصه‌ی خروجی همانند مشخصه‌ی یکسو ساز کنترل نشده در شکل ۲-۸-ب است. نکته‌ی مهم در این مشخصه قابلیت تولید ولتاژ منفی در خروجی تحریک‌کننده است. اگر چه ولتاژ خروجی ممکن است منفی شود ولی جهت شارش جریان همواره در یک جهت می‌باشد. با افزایش زاویه آتش، ولتاژ خروجی یکسو ساز کنترل شده متناسب با $COS\alpha$ همانند شکل ۱۶-۲-ب کاهش می‌یابد.

[۴۴]



شکل ۱۶-۲ : یکسو ساز تمام پل کنترل شده سه فاز. الف: مدار معادل. ب: مشخصه‌ی جریان ولتاژ [۴۵].

مدل‌هایی که در ادامه بررسی شده‌اند شامل ST1A، ST2A، ST3A و ST4B می‌باشند.

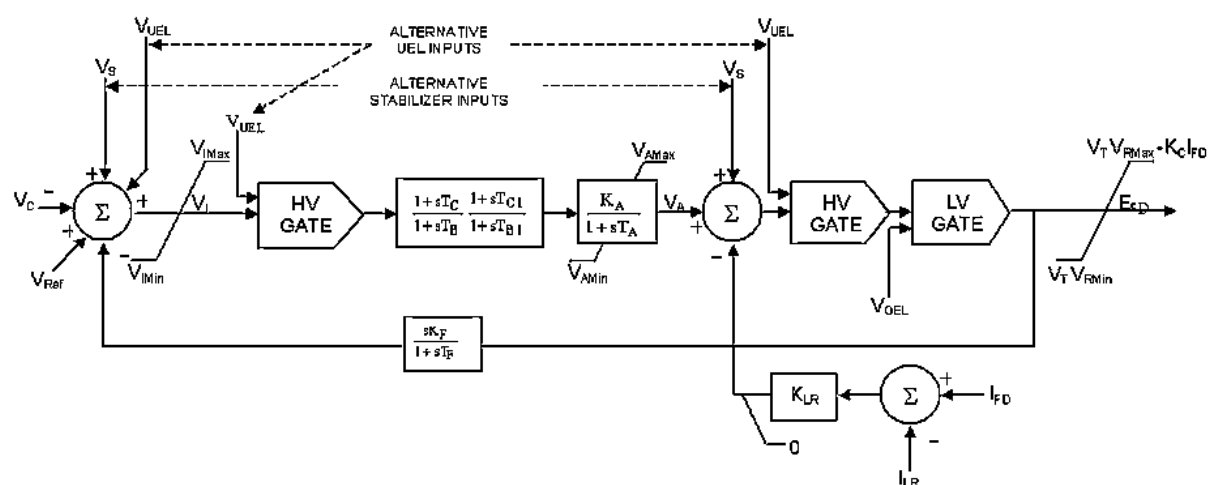
۱-۳-۴-۲ مدل سیستم تحریک استاتیک نوع ST1A [۳۹]

مدل سیستم تحریک استاتیک منبع ولتاژ با یکسو ساز کنترل شده نوع ST1A در شکل ۱۷-۲ نمایش داده شده است. در این سیستم‌ها توان تحریک از طریق ترانسفورمر ترمینال‌های ژنراتور (و یا باس کمکی واحد) تأمین می‌گردد و پس از آن از طریق یکسو ساز قابل کنترل تنظیم می‌شود. ماکزیمم مقدار ولتاژی که در این چنین سیستم‌هایی در دسترس است، وابسته به ولتاژ ترمینال ژنراتور می‌باشد. در این نوع سیستم تحریک، ثوابت زمانی اصلی مربوط به تحریک‌کننده بسیار کوچک هستند و ممکن است پایدارسازی تحریک مورد نیاز نباشد. به عبارت دیگر در این سیستم‌ها کاهش بهره گذاری مطلوب است. این مدل ارائه شده تطابق بسیار خوبی در جهت کاهش بهره گذرا در مسیر مستقیم از طریق تنظیم ثوابت T_B و T_C در جایی که K_F برابر با صفر تنظیم شده است و یا در مسیر فیدبک با انتخاب مناسب پارامترهای K_A و T_A دارد. بهره تنظیم‌کننده ولتاژ و ثابت زمانی سیستم تحریک به ترتیب با K_A و T_A نمایش داده می‌شود.

ثابت زمانی‌های T_{C1} و T_{B1} ، امکان افزایش بهره گذرا را فراهم می‌کند. در این حالت T_{C1} مایل است بزرگ‌تر از T_{B1} باشد.

راهی که از طریق آن زاویه آتش یکسو ساز پل بدست می‌آید بر روی رابطه بین ورودی و خروجی تأثیرگذار است. با انتخاب بهره ساده برای K_A ، رابطه بین ورودی و خروجی به صورت خطی فرض می‌شود. برای بسیاری از سیستم‌ها، این رابطه یک رابطه خطی است ولی در تعداد محدودی از سیستم‌ها، رابطه مربوط به پل یکسو ساز به صورت غیرخطی می‌باشد و مقدار بهره به صورت تابعی سینوسی و وابسته به ولتاژ منبع می‌باشد. از آن جایی که بهره معمولاً در مقدار زیادی تنظیم می‌شود، خطی سازی این مشخصه برای مدل‌سازی‌ها انجام می‌شود. در این مدل چه مشخصه خطی و یا غیر خطی باشد، نمایش ولتاژ سقف همانند قبیل می‌باشد.

در بسیاری از موارد، کران‌های داخلی روی V_I قابل صرف نظر کردن هستند. کران‌های ولتاژ میدان که توابعی از ولتاژ ترمینال و جریان میدان ماشین سنکرون هستند بایستی مدل‌سازی شوند. کران مثبت ولتاژ میدان به صورت تابع خطی از جریان میدان ماشین سنکرون قابل نمایش است. کران منفی هم به طور مشابه، به مشخصه جریان وابسته است ولی علامت آن به واسطه انتخاب زاویه آتش و یا زاویه خاموشی تعیین می‌گردد.



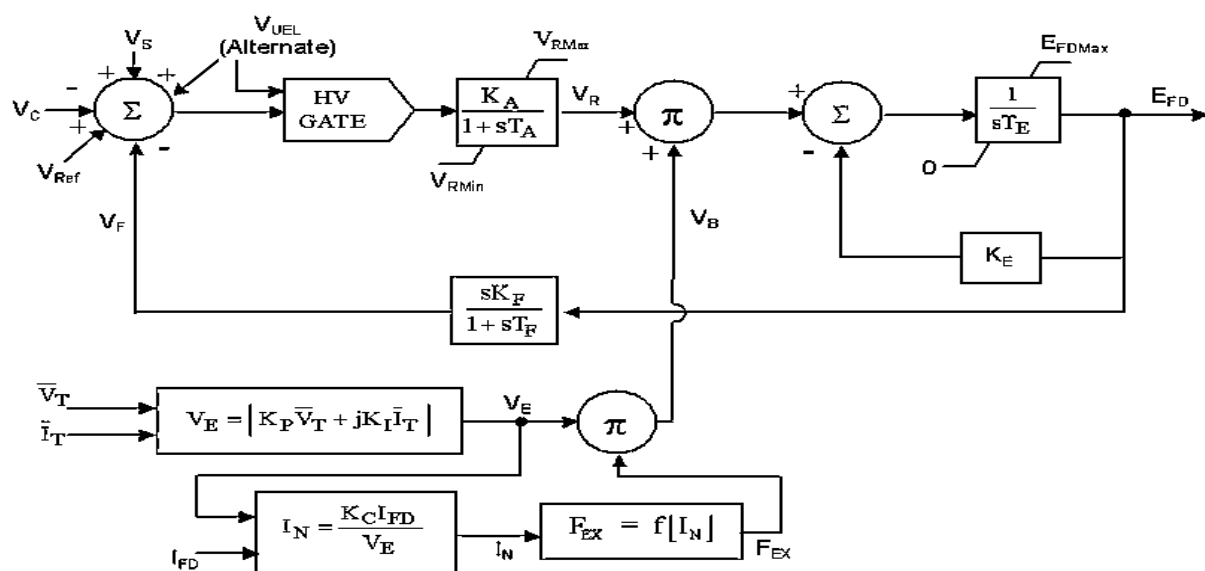
شکل ۱۷-۲ : تحریک‌کننده با یکسو ساز قابل کنترل و منبع پتانسیل نوع ST1A

به علت قابلیت اعمال نیروی زیاد این سیستم‌ها، گاهی اوقات از محدودکننده جریان میدان، جهت محافظت تحریک‌کننده و روتور ژنراتور استفاده می‌شود. مقدار تنظیمی برای شروع محدوده کران، توسط جریان I_{LR} و بهره K_{LR} تعیین می‌گردد. به منظور در نظر نگرفتن این کران، K_{LR} بایستی برابر با صفر در نظر گرفته شود.

در اکثر این نوع سیستم‌های تحریک از پل تمام کنترل شونده استفاده می‌شود ولی این مدل قابل اعمال به پل‌های نیم کنترل شونده که کران منفی ولتاژ میدان روی صفر تنظیم شود نیز می‌باشد. ($V_{RMIN} = 0$)

۲-۳-۴-۲ مدل سیستم تحریک استاتیک نوع ST2A [۳۹]

برخی از سیستم‌های استاتیک از هر دو منبع ولتاژ و جریان پایانه ژنراتور به منظور تشکیل منبع توان استفاده می‌کنند. این نوع از سیستم‌های تحریک به همراه یکسو ساز و منبع تغذیه کمپوند در شکل ۱۸-۲ نشان داده شده است. ضروری است که منبع تغذیه‌ای برای توان تحریک‌کننده با استفاده از ترکیب فازوری ولتاژ V_T و جریان I_T ترمینال ساخته شود. در شکل زیر E_{FDMAX} نشان‌دهنده کران روی ولتاژ تحریک‌کننده به علت اشباع در اجزای مغناطیسی می‌باشد. تنظیم‌کننده، کنترل خروجی تحریک‌کننده را از طریق کنترل اشباع اجزای ترانس قدرت بر عهده دارد و T_E ثابت زمانی مربوط به اندوکتانس سیم‌پیچی‌های کنترل است.

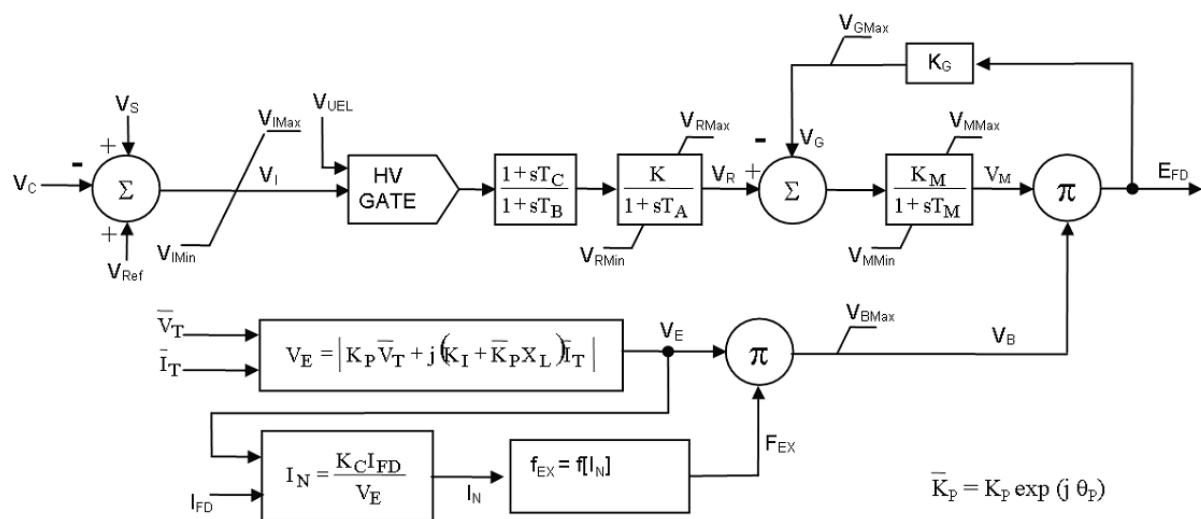


شکل ۱۸-۲ : تحریک‌کننده با یکسو ساز و به همراه منبع کمپوند نوع ST2A

۳-۳-۴-۲ مدل سیستم تحریک استاتیک نوع ST3A [۳۹]

شکل ۱۹-۲ سیستم تحریک نوع را نشان می‌دهد که در آن از حلقه کنترل ولتاژ میدان به منظور خطی سازی مشخصه کنترل تحریک کننده استفاده شده است. نتیجه‌ی این امر مستقل بودن خروجی از تغییرات منبع تغذیه تا زمانی که منبع به کران‌های خود نرسد می‌شود. این سیستم‌ها از طرح‌های یکسو ساز تمام کنترل شونده متنوعی استفاده می‌کنند. پل تمام تریستوری و یا پل‌های هیبرید در پیکربندی سری یا موازی از جمله این موارد هستند. منبع توان می‌تواند فقط شامل یک منبع ولتاژ باشد که از پایانه‌های ماشین و یا از سیم‌پیچی‌های داخلی تغذیه می‌شود. ممکن است در برخی از طرح‌ها منابع توان به صورت کمپوند هم از ولتاژ و هم از جریان ماشین استفاده کنند. این منابع توان به صورت ترکیب فازوری جریان و ولتاژ ترمینال ماشین با تخصیص پارامترهای مناسب در مدل نشان داده می‌شوند.

پایدارساز سیستم تحریک برای این سیستم‌ها با یک المان پیش فاز- پس فاز سری که در تنظیم کننده ولتاژ قرار می‌گیرد و توسط ثوابت زمانی T_B و T_C نمایش داده می‌شود تأمین می‌گردد. حلقه داخلی تنظیم کننده ولتاژ میدان شامل بهره‌های K_M و ثابت زمانی T_M می‌شود. ثابت زمانی T_M با توجه به هدف مطالعه می‌تواند افزایش پیدا کند که در این صورت از اضافه شدن محاسبات کوچک جلوگیری می‌شود. این در حالی است که در اطراف ۳ هرتز دقت مورد نظر باقی بماند. کران V_{BMAX} توسط سطح اشباع اجزای سیستم قدرت تعیین می‌شود.

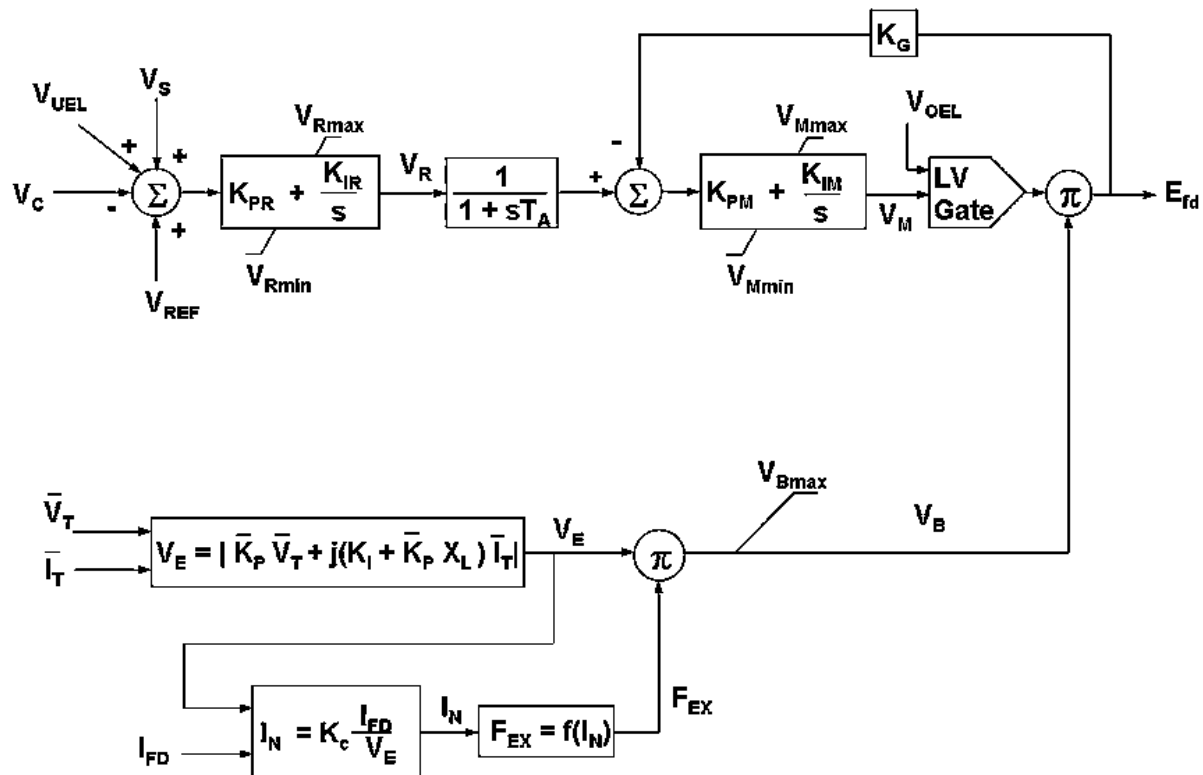


شکل ۱۹-۲ : تحریک کننده با یکسو ساز قابل کنترل و منبع کمپوند به همراه حلقه کنترل ولتاژ میدان - مدل ST3A

۴-۳-۴-۲ مدل سیستم تحریک استاتیک نوع ST4A [۳۹]

تفاوتی که این مدل با مدل نوع ST3A دارد، جایگزینی مشخصه تنظیم‌کننده پیش فاز- پس فاز با یک بلوک تنظیم‌کننده انتگرالی- تناسبی می‌باشد. شکل ۲۰-۲ سیستم تحریک نوع ST4A با یکسو ساز و به همراه هر دو منبع ولتاژ و کمپوند را نمایش می‌دهد. تنظیم‌کننده ولتاژ این مدل به صورت دیجیتال می‌باشد و به همین علت است که نام مدل دارای پسوند B است. از دیگر ویژگی‌های این تنظیم‌کننده می‌توان به بهره کوچک حد OEL و اضافه شدن سیگنال کنترلی ولت بر هرتز و همچنین UEL به ورودی تنظیم‌کننده ولتاژ اشاره کرد.

منبع توان در این مدل انعطاف‌پذیری زیادی دارد بطوریکه با صفر شدن هر دو پارامتر K_L و X_L ، تبدیل به منبع ولتاژ و با صفر بودن تنها X_L به منبع کمپوند تبدیل می‌شود و در صورتی که هیچ‌کدام صفر نباشد هر دو منبع ولتاژ و کمپوند را خواهیم داشت. مدل مناسب PSS برای استفاده با تحریک ST4B، مدل PSS2B است.



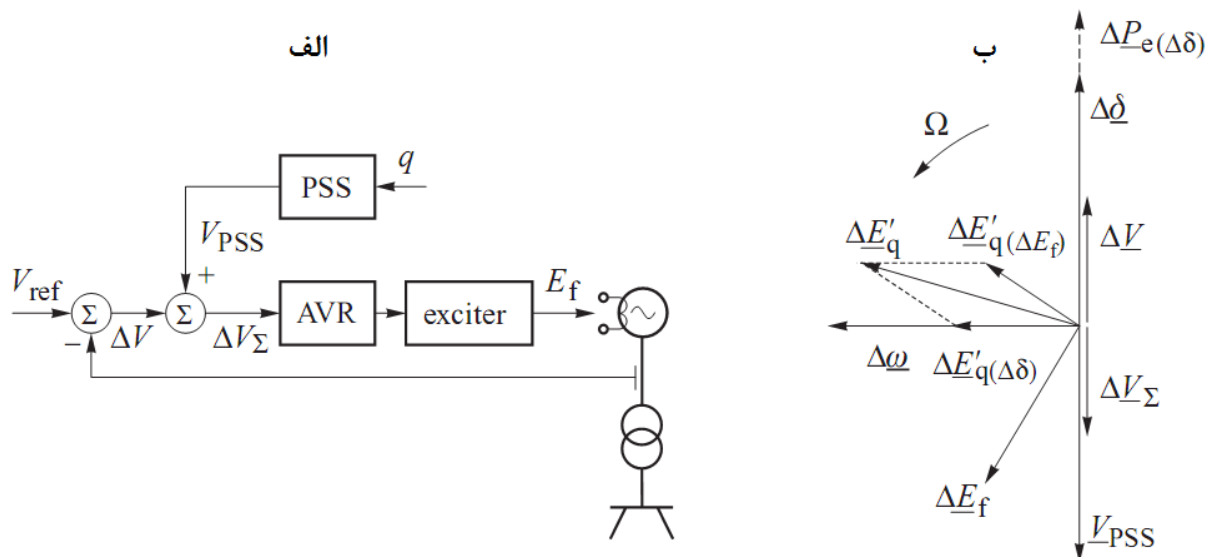
شکل ۲۰-۲ : تحریک‌کننده با یکسو ساز قابل کنترل و به همراه منبع کمپوند یا منبع پتانسیل - مدل ST4A

فصل ۳

پایدار سازهای سیستم‌های قدرت

۱-۳ مقدمه

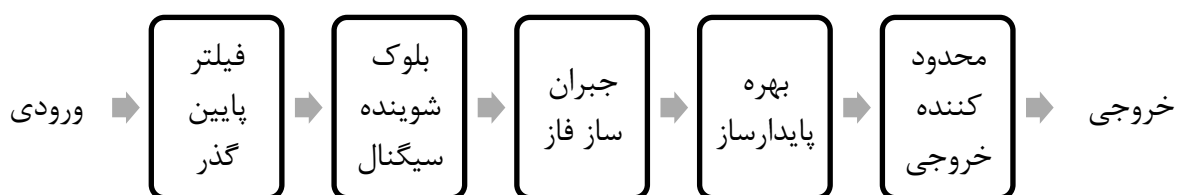
ایده‌ی اصلی استفاده از PSS، صفر بودن و یا نزدیک صفر بودن انحراف سرعت ژنراتور در حالت پایدار می‌باشد. با این حال در هنگام وقوع یک اغتشاش کوچک، سرعت ژنراتور دیگر ثابت نیست و در این حالت، روتور و انحراف ولتاژ (ΔV) دچار نوسان خواهند شد که این نوسان‌ها نتیجه‌ی تغییر انحراف زاویه‌ی روتور می‌باشد. وظیفه‌ی PSS در این حالت اضافه کردن سیگنالی برای جبران سازی نوسانات ΔV و به وجود آوردن یک مؤلفه‌ی میراکنندگی هم‌فاز با انحراف سرعت ($\Delta \omega$) می‌باشد. این امر در شکل ۱-۳ نشان داده شده است که در آن سیگنال V_{PSS} به سیگنال اصلی خطای ولتاژ ΔV اضافه شده است. در حالت پایدار این سیگنال صفر می‌باشد. شکل ۱-۳-ب دیاگرام فازوری سیگنال‌ها در حالت اغتشاش را نمایش می‌دهد. فازور V_{PSS} دقیقاً مخالف ΔV می‌باشد و دامنه‌ی آن بزرگ‌تر است. در نتیجه فازور سیگنال‌های خطای ولتاژ کل ΔV_{Σ} نسبت به انحراف سرعت $\Delta \omega$ برخلاف حالت بدون PSS مثبت است. در نتیجه با توجه به شکل ۱-۳ ب گشتاور میراکنندگی مشتبی به سیستم اعمال می‌شود. توجه داشته باشد در صورتی که V_{PSS} کوچک‌تر از ΔV باشد، گشتاور میراکنندگی منفی خواهد بود [۴۴].



شکل ۱-۳ : حلقه کنترلی اضافی (PSS) برای سیستم تنظیم کننده ولتاژ. الف: بلوک دیاگرام. ب: دیاگرام فازوری [۴۴].

۲-۳ نمایش ساختار پایدار سازهای سیستم قدرت

ساختار عمومی PSS در شکل زیر نمایش داده شده است. سیگنال ورودی که از ترمینال ژنراتور اندازه‌گیری می‌شود، پس از عبور از فیلترهای پایین و بالا گذر، به منظور دستیابی به شیفت فاز مورد نیاز از مؤلفه‌ی جبران ساز پیش فاز-پس فاز عبور داده می‌شود. و در نهایت پس از تقویت شدن و گذر از محدودساز نهایی، خروجی V_{PSS} ساخته می‌شود. در هنگام طراحی جبران‌ساز، لازم است به شیفت فازی سیگنال ورودی به سبب فیلترهای پایین و بالا گذر توجه شود. گاهی اوقات فیلترها به منظور رسیدن به شیفت فازی صفر در فرکانس نوسانات روتور تنظیم می‌شوند [۴۴].



شکل ۲-۳ : مؤلفه‌های اصلی یک PSS [۴۴]

۳-۳ انواع سیستم‌های پایدارساز قدرت

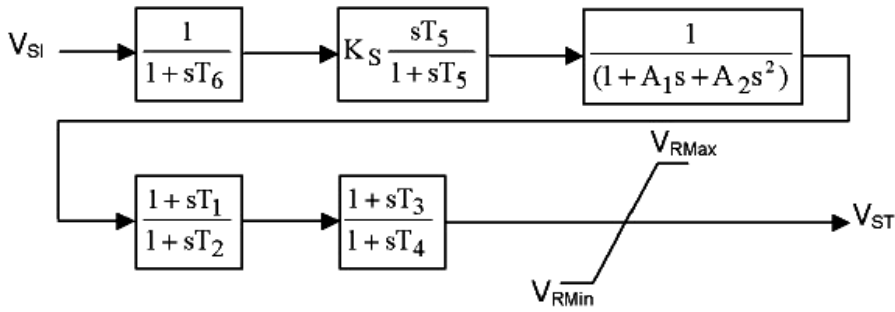
مدل‌هایی که برای پایدارساز در این قسمت توضیح داده می‌شوند با مدل‌های مربوط به تحریک ارائه شده در فصل قبل سازگار می‌باشند و می‌توان از آن‌ها در بررسی‌های مربوط به عدم پایداری مدهای کنترلی که در فرکانس‌های پایین‌تر از ۳ هرتز رخ می‌دهند می‌باشند.

پارامترهای پایدارساز بایستی با نوع سیگنال ورودی به پایدارساز مطابقت داشته باشند. پارامترهای پایدارسازها با سیگنال‌های ورودی متفاوت ممکن است نسبت به یکدیگر بسیار متفاوت باشند در حالی که در نهایت مشخصه‌های میراکنندگی یکسانی را از خود به نمایش می‌گذارند. در ادامه مدل‌های پایدارساز PSS1A، PSS2B، PSS3B و PSS4B معرفی خواهند شد.

۱-۳-۳ مدل پایدارساز سیستم قدرت نوع PSS1A [۳۹]

شکل ۳-۳ نشان‌دهنده قالب کلی PSS با یک ورودی است. برخی از سیگنال‌های ورودی رایج پایدارساز، V_{SI} ، عبارتند از سرعت، فرکانس و توان. پارامتر T_6 به منظور نمایش ثابت زمانی ترانسیدیوسر استفاده می‌شود. بهره پایدارساز با K_S و ثابت زمانی مربوط به مدار شوینده سیگنال با T_5 نمایش داده شده است. در بلوک بعدی، A_1 و A_2 اجازه در نظر گرفتن برخی اثرات روی نوسانات فرکانس پایین مربوط به فیلترهای پیچشی فرکانس بالا را می‌دهند. دو بلوک بعدی نشان‌دهنده جبران سازی دو مرحله‌ای پیش فاز-پس فاز با ثابت‌های T_1 تا T_4 هستند. خروجی پایدارساز را می‌توان به چندین روش محدود کرد. می‌توان از حدود ساده خروجی پایدارساز V_{STMIN} و V_{STMAX} استفاده کرد. همچنین در بعضی از سیستم‌ها، حدود بر اساس ولتاژ خروجی ترمینال ژنراتور تعریف می‌شود و یا در بعضی دیگر، اگر خروجی ترمینال ژنراتور در باند انتخابی خود نباشد، خروجی پایدارساز حذف می‌شود.

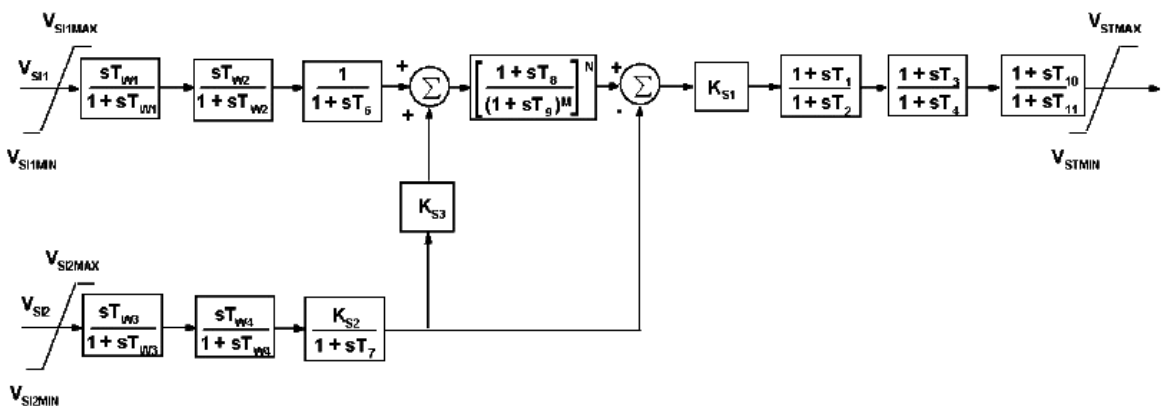
می‌توان از کنترلهای گستته کمکی با ورودی، خروجی پایدارساز، V_{ST} ، و خروجی V_S استفاده کرد. واضح است در جایی که از این مدل‌های کنترلی استفاده نشود، V_{ST} برابر با V_S می‌شود.



شکل ۳-۳ : PSS با یک ورودی- مدل A

۲-۳-۳ مدل پایدارساز سیستم قدرت نوع [۳۹] PSS2B

مدل پایدارسازی که در شکل ۴-۳ نشان داده شده است به منظور نمایش پایدار سازها با دو ورودی بکار می رود. این دو ورودی به طور معمول توان و سرعت یا فرکانس می باشند که سیگنال پایدارسازی از آن ها ساخته می شود.



شکل ۴-۳ : PSS با دو ورودی- مدل B

مدل فوق قابلیت نمایش دو نوع مجزا از پایدار سازها با دو ورودی را به شرح زیر دارد:
الف. پایدار سازهایی که در بازه نوسانات سیستم به عنوان پایدار سازهایی با ورودی توان الکتریکی عمل می کنند. این پایدار سازها از ورودی سرعت یا فرکانس برای تولید سیگنال توان مکانیکی معادل به منظور تولید سیگنالی کلی که به تغییرات توان مکانیکی حساسیت نداشته باشد استفاده می کنند.

ب. پایدار سازهایی که از ترکیب سرعت (یا فرکانس) و توان الکتریکی استفاده می‌کنند. این سیستم‌ها از سرعت به صورت مستقیم (بدون استفاده از جبران سازی پیش فاز) استفاده می‌کنند و سیگنالی متناسب با توان الکتریکی برای دستیابی به سیگنال پایدارسازی مورد نظر اضافه می‌کنند.

در حالی که برای دو نوع پایدارساز با دو ورودی که در بالا توضیح داده شد از یک مدل استفاده می‌شود، پارامترهای مربوط به هر نوع نسبت به دیگری بسیار متفاوت خواهد بود. به ازی هر ورودی، دو بلوک شوینده نشان داده شده است (T_{W1} - T_{W4}) که این بلوک‌ها به همراه یک ترانسیدیوسر یا انترگرال گیر با ثوابت زمانی T_6 و T_7 می‌باشند. برای اولین نوع از پایدارساز با دو ورودی، K_{S3} برابر با یک و K_{S2} برابر با $H/2$ است که H ثابت اینرسی ماشین سنکرون می‌باشد. ورودی V_{SI1} نشان‌دهنده سرعت یا فرکانس و V_{SI2} نشان‌دهنده سیگنال توان می‌باشد. اندیس‌های M و N بسته به اینکه چه نوع فیلتری مورد استفاده قرار بگیرد تعیین می‌شود. به طور نمونه، $M=5$ و $N=4$ انتخاب می‌شوند جبران سازی فاز با دو بلوک پیش فاز-پس فاز (T_4 تا T_1) انجام می‌شود. محدود سازی خروجی نیز همانند آنچه در مدل PSS1A شرح داده شد می‌باشد.

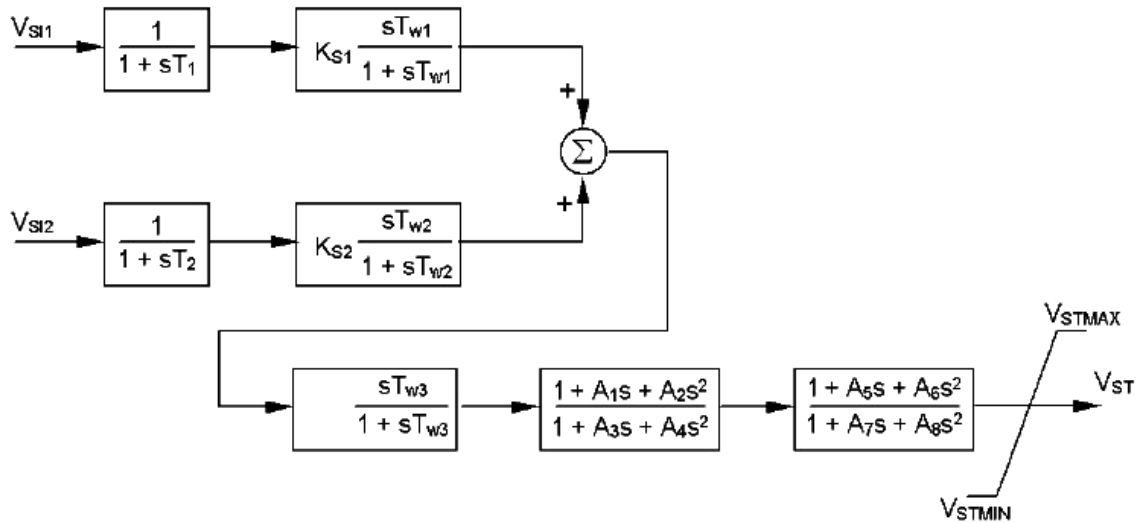
همچنین در این مدل نسبت مدل قدیمی آن، یک بلوک کمکی با ثابت زمانی پس فاز T_{11} و ثابت زمانی پیش فاز T_{10} به منظور مدل‌سازی پایدار سازهایی که دارای تابع پیش فاز-پس فاز سوم هستند بکار می‌رود.

در بسیاری از موارد، ممکن است از مدل ساده تک ورودی PSS1A با پارامترهای مناسب در جایی که مدل PSS2B با دو ورودی استفاده شده است، استفاده شود.

۳-۳-۳ مدل پایدارساز سیستم قدرت نوع $PSS3B$ [۳۹]

مدل پایدارساز $PSS3B$ دارای ۲ ورودی توان الکتریکی ($V_{SI1} = P_E$) و انحراف سرعت زاویه‌ای رotor) ($V_{SI2} = \Delta\omega$) در شکل ۳-۵ نشان داده شده است. این سیگنال‌ها به منظور بدست آوردن سیگنال توان

مکانیکی معادل بکار گرفته می‌شود. با ترکیب این سیگنال با توان الکتریکی، سیگنالی متناسب با توان شتاب دهنده تولید می‌گردد.

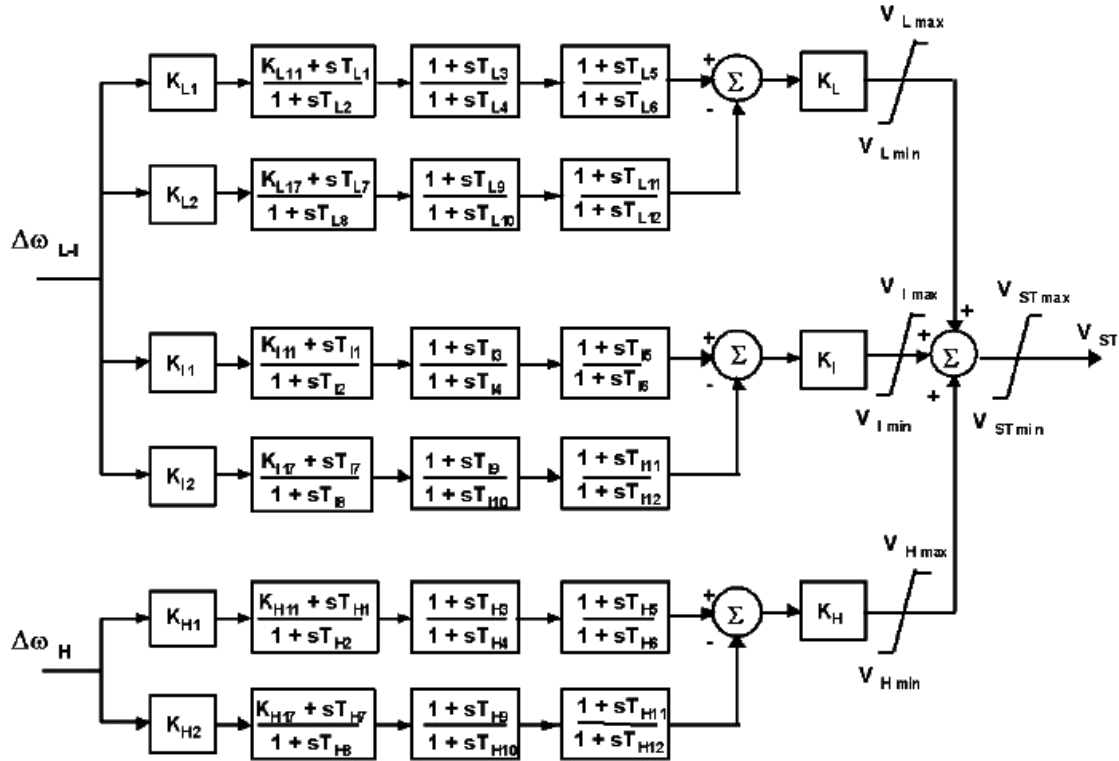


شکل ۳-۵ : PSS با دو ورودی- مدل B

ثبت زمانی‌های T_1 و T_2 نشان‌دهنده ثوابت زمانی مربوط به ترانسdiوسر و ثوابت زمانی T_{w1} تا T_{w3} نشان‌دهنده ثوابت زمانی شوینده برای توان الکتریکی، سرعت زاویه‌ای روتور و توان مکانیکی بدست آمده می‌باشد. در این مدل سیگنال پایدارسازی V_{ST} از جمع برداری سیگنال‌های توان الکتریکی و انحراف سرعت زاویه‌ای روتور بدست می‌آید. دامنه و فاز مورد نظر سیگنال پایدارسازی با تطبیق پلاریته و اندازه بهره‌های K_{S1} و K_{S2} بدست می‌آید. جبران سازی فاز توسط دو فیلتر بعدی انجام می‌پذیرد (A_1 تا A_8). ماکزیمم مقدار تأثیر مجاز سیگنال پایدارسازی روی AVR با تنظیم کران‌های بالایی و پایینی V_{STMAX} و V_{STMIN} می‌شود.

۴-۳-۳ مدل پایدارساز سیستم قدرت نوع [۳۹] PSS4B

همان‌طوری که در شکل ۳-۶ ملاحظه می‌شود این مدل نشان‌دهنده ساختاری بر پایه باندهای فرکانس کاری متنوع است. سه باند مجازی مربوط به مد نوسانی با فرکانس‌های بالا، میانی و پایین با ورودی انحراف سرعت زاویه‌ی ($\Delta\omega$) مورد استفاده قرار می‌گیرند.

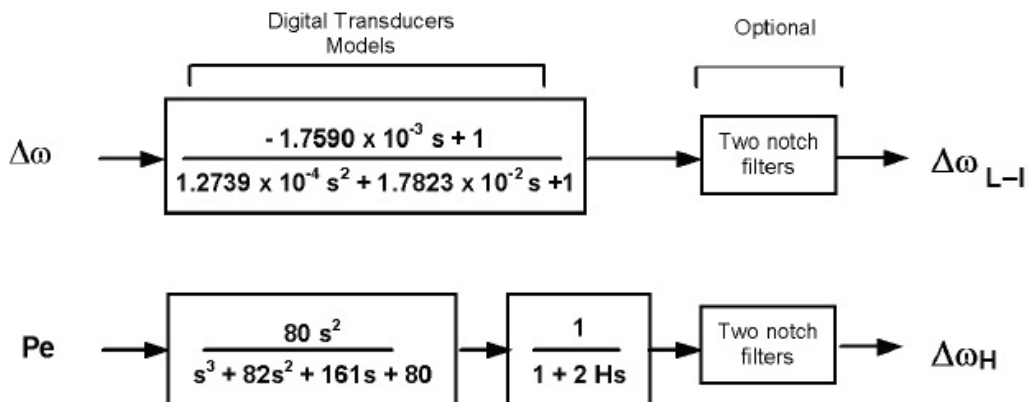


شکل ۶-۳: PSS4B مدل PSS

باند فرکانس پایین مربوط به مد سراسری سیستم قدرت است و باند فرکانس میانی مربوط به مدهای بین ناحیه‌ای و باند فرکانس بالا نیز مربوط به مدهای محلی می‌باشد. هر یک از سه باند دارای یک فیلتر دیفرانسیلی، بهره و محدودکننده می‌باشند. خروجی‌های آن‌ها با یکدیگر جمع می‌شوند و پس از عبور از محدودکننده نهایی V_{STMIN}/V_{STMAX} ، سیگنال خروجی V_{ST} ساخته می‌شود.

برای هر باند فرکانسی انحراف سرعت متفاوتی به عنوان ورودی استفاده می‌شود. در این مدل انحراف سرعت رotor را از دو راه اندازه‌گیری می‌شود. $\Delta\omega_{L-I}$ تغذیه‌کننده باندهای میانی و پایینی است در حالی که شده است. فیلتر قابل تنظیم ($N_i(S)$) به صورت دلخواه برای مدهای پیچشی توربوزنراتورها مورد استفاده قرار می‌گیرد، و چگونگی محاسبه‌ی آن در رابطه‌ی زیر تعریف شده است. در این رابطه، ω_{ni} نشان‌دهنده فرکانس فیلتر، و B_{wi} نشان‌دهنده پهنهای باند ۳ دسی‌بل می‌باشد.

$$N_i = \frac{S^2 + \omega_{ni}^2}{S^2 + B_{wi}S + \omega_{ni}^2} \quad (1-3)$$



شکل ۷-۳ : ترانزیستورهای انحراف سرعت PSS

۴-۳ اصول عملکرد بهینه پایدارساز سیستم قدرت

همان‌طور که می‌دانیم رایج‌ترین روش برای بهبود میرایی نوسانات فرکانس پایین استفاده از پایدارساز سیستم قدرت است [۱]. محل نصب و طراحی مناسب پایدار ساز سیستم قدرت عواملی هستند که باعث می‌شود PSS بهترین عملکرد ممکن را در مقابل نوسانات فرکانس پایین داشته باشد. سایر پارامترهای موجود در PSS بر اساس کیفیت سیگنال‌های ورودی در دسترس و گستره سیگنال‌های خروجی مورد نیاز تعیین شده و تقریباً مستقل از شرایط کاری شبکه می‌باشند [۴۵] و برای بعضی از آن‌ها مقادیری در استانداردها و یا کتاب‌ها و مقالات تعریف شده است.

۱-۴-۳ موقعیت‌یابی پایدارساز سیستم قدرت

می‌توان گفت که برای دست یافتن به ژنراتور مناسب برای نصب PSS، نیازمند تحلیلی خواهیم بود که در یک مد الکترومکانیکی مشخص، میزان تأثیر تمام ژنراتورها را برای آن مد در اختیار ما بگذارد و این تحلیل چیزی جز آنالیز مдал و محاسبه‌ی ماتریس ضرایب مشارکت نیست. با استفاده از ماتریس مشارکت، اندازه‌ی مشارکت متغیرهای حالت ژنراتورها در مقادیر ویژه سیستم بدست می‌آید [۱۷].

معادلات دیفرانسیل هر سیستم خطی را می‌توان به صورت معادلات فضای حالت استاندارد رابطه (۲-۳) نوشت:

$$\dot{x}_i = A_i x_i + B_i u_i \quad y_i = C_i x_i \quad i = 1, \dots, n \quad (2-3)$$

که، x_i : عناصر بردار متغیرهای حالت

u_i : عناصر بردار ورودی

y_i : عناصر بردار خروجی

n : تعداد متغیرهای حالت

حال از معادله حالت بالا، ماتریس A_{n*n} را در نظر بگیرید. اسکالر λ را یک مقدار ویژه از ماتریس A می‌نامند
اگر یک بردار غیر صفر v وجود داشته باشد که رابطه ۳-۳ را تصدیق کند.

$$Av = \lambda v \quad , \quad (A - \lambda I)v = 0 \quad (3-3)$$

به بردار غیر صفر v که این رابطه را برقرار می‌سازد بردار ویژه راست A متناظر با مقدار ویژه λ گفته می‌شود. به همین ترتیب به بردار w که برابر با v^{-1} است بردار ویژه چپ می‌گویند.

ضرایب مشارکت از ضرب عناصر متناظر با حالات در بردارهای ویژه چپ و راست بدست می‌آید. با توجه به روابط بالا v_i بردار ویژه راست و w_i بردار ویژه چپ مد i می‌باشند. v_{ki} نسبتاً بزرگ حاکی رابطه قوی بین متغیر حالت k با مود i است. بنابراین پیشنهاد شد که از اندازه $w_{ik} v_{ki}$ به عنوان مشخص کننده رابطه بین یک حالت و یک مود استفاده شود. برای یک متغیر حالت معین k ، مجموعه اعداد مثبت $|w_{ki} v_{ki}|$ برای i های مختلف از ۱ تا n ضرایب مشارکت مدهای مختلف در ساختار متغیر حالت k نامیده می‌شود که از رابطه (۴-۳) محاسبه می‌شود. و این مجموعه مشارکت شامل تمام متغیرهای حالت و مدهای مکانیکی را در بر دارد.

$$p_{ki} = v_{ki} w_{ik} \quad (4-3)$$

بنابراین مشارکت هر واحد به وسیله متغیر حالت k برای هر مد الکترومکانیکی حساب می‌شود و بزرگترین مقدار مشارکت برای هر مد تأثیرگذارترین ژنراتور و مناسب‌ترین مکان برای نصب PSS را در آن تعیین

خواهد کرد. پس از تعیین مکان نصب پایدارساز نوبت به تنظیم پارامترهای آن بر اساس ماشین مورد نظر و ساختار شبکه می‌رسد. در زیر بخش بعدی این موضوع به تفصیل بیان شده است.

۲-۴-۳ تنظیم پایدارساز سیستم قدرت

یکی از نکات مورد توجه در استفاده از PSS برای افزایش میرایی مدهای بین ناحیه‌ای در سیستم‌های قدرت بزرگ و گسترده، بهره‌گیری از روش طراحی آسان با کارایی بالا در شبکه‌های بزرگ و عملی می‌باشد. بر پایه مطالعات انجام شده برای تنظیم PSS، روش غالب در این حوزه، استفاده از تکنیک پاسخ فرکانسی می‌باشد. با توجه به سادگی اجرا، این روش در بسیاری موارد بر روی شبکه‌های واقعی پیاده‌سازی شده که نتایج آن بسیار موفقیت‌آمیز بوده است [۴۵-۴۶]. در این روش سعی می‌شود بر مبنای ارتباط ما بین شبکه، ژنراتور و سیستم تحریک، در فرکانس مشخص مدنوسانی، مقدار درست زاویه‌ی پس فاز به منظور جبران سازی توسط PSS محاسبه شود. سپس می‌توان با استفاده از روابط موجود، پارامترهای مناسبی برای پایدارساز تخصیص داد.

در پروسه تنظیم PSS، رسیدن به زاویه جبران سازی و بهره مناسب از اهمیت بالایی برخوردار است.

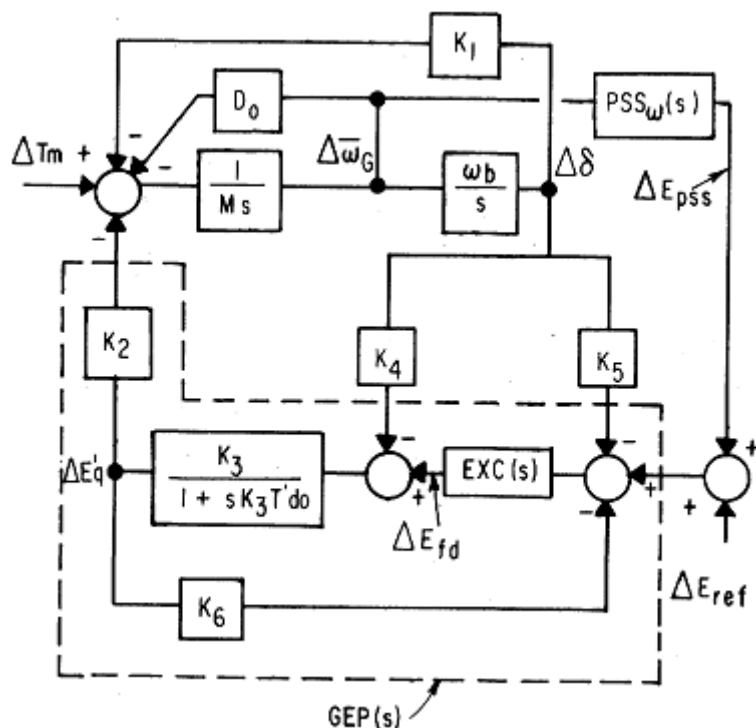
الف. طراحی جبران ساز پیش فاز-پس فاز [۴۳]

بلوک دیاگرام شکل ۸-۳ نمایش دهنده مدل تک ماشین متصل به باس بینهایت به همراه سیستم تحریک و پایدارساز سیستم قدرت می‌باشد. با توجه به موقعیت بلوک PSS و وظیفه‌ی آن برای جبران سازی زاویه‌ی پس فازی در مسیر بلوک تحریک، پایدارساز باید فاز تابع تبدیلی که ورودی آن برابر با خروجی پایدارساز (ΔVs) و خروجی آن برابر با گشتاور الکتریکی (ΔTe) می‌باشد را جبران کند. در شکل ۸-۳ این تابع تبدیل با استفاده از خطوط مقطع از باقی سیستم جدا شده است. در این شکل بلوک EXC(s) نشان‌دهنده سیستم تحریک ماشین است. بدین ترتیب مذکور به صورت زیر نوشته خواهد شد:

$$GEP = \frac{K_2 EXC(s) K_3}{1 + s K_2 T_{do} + K_6 K_3 EXC(s)} \quad (8-3)$$

بدین ترتیب فاز تابع تبدیل GEP در فرکانس نوسان مد الکترومکانیکی مشخص کننده زاویه‌ی پس فازی است که باید توسط PSS جبران شود.

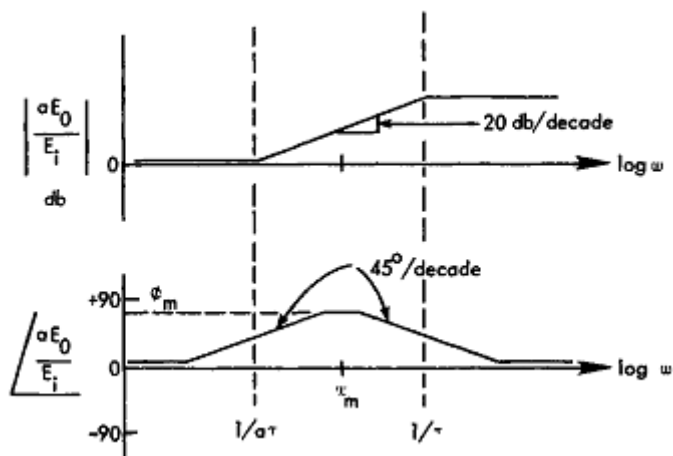
خاطر نشان می‌کنیم که ضرایب بکار رفته در رابطه بالا نشان‌دهنده اثر بارگذاری ژنراتور و مشخصه‌ی سیستم قدرت (خط انتقال) می‌باشند [۴۳].



شکل ۸-۳ : مدل تک ماشین و باس بی‌نهایت هفرون-فیلیپس [۷]

می‌توان برای هر تابع تبدیلی به مانند رابطه (۶-۳)، که در آن $T_1 = aT_2$ است، منحنی دیاگرام بد را به صورت شکل ۹-۳ نمایش داد.

$$G(s) = \frac{1+ST_1}{1+ST_2} = \frac{1+SaT_2}{1+ST_2} \quad (6-3)$$



شکل ۹-۳ : دیاگرام بد برای تابع تبدیل پیش فاز- پس فاز [۴۳]

همان طور که مشاهده می‌کنید ماکزیمم پیش فازی ϕ_m در فرکانس میانی ω_m رخ می‌دهد. بنابراین می‌توان بر مبنای این دیاگرام با استفاده از روابط ۷-۳ و ۸-۳، مقدار ω_m را محاسبه کرد.

$$\log \omega_m = \frac{1}{2} [\log(\frac{1}{aT_2}) + \log(\frac{1}{T_2})] \quad (7-3)$$

$$\omega_m = \frac{1}{T_2 \sqrt{a}} \quad (8-3)$$

همچنین با دانستن مقدار زاویه‌ی جبران سازی ϕ_m ، با بهره گیری از روابط ۹-۳ و ۱۰-۳، ثابت a محاسبه خواهد شد. در نتیجه مقادیر ثابت زمانی‌های بلوک جبران گر فاز محاسبه خواهند شد.

$$\tan \phi_m = \frac{1-a}{2\sqrt{a}} \quad (9-3)$$

$$a = \frac{1 + \sin \phi_m}{1 - \sin \phi_m} \quad (10-3)$$

در تنظیم PSS بهتر است میزان جبران سازی برای هر بلوک پیش فاز- پس فاز حداکثر برابر با ۶۰ درجه باشد [۴۵]. بنابراین در صورت نیاز به میزان جبران سازی بیشتر باید از دیگر بلوک‌های جبران سازی تعییه شده در مدل استفاده کرد.

فاز جبران سازی در فرکانس مد محلی کمتر از ۴۵ درجه می‌باشد که ترجیحاً نزدیک ۲۰ درجه مقدار مناسبی خواهد بود. همچنین باید ماکزیمم پس فازی که می‌بایست جبران شود کمتر از ۹۰ درجه باشد. معمولاً مقدار ماکزیمم با ورودی سرعت و توان در فرکانس‌های ۳ تا ۳/۵ هرتز و برای ورودی فرکانس در ۲ هرتز رخ می‌دهد [۶].

معمولًاً اندکی زیر جبران سازی به فوق جبران سازی ترجیح داده می‌شود تا از ساخته نشدن گشتاور منفی توسط PSS مطمئن شویم. زیر جبران سازی در حدود ۱۰ درجه برای تمامی بازه‌ی فرکانسی مورد نظر، می‌تواند نتایج بهتری را فراهم آورد [۱].

ب. محاسبه بهره پایدارساز [۴۷]

پس از دست یافتن به میزان جبران سازی فاز، محاسبه بهره پایدار ساز از اهمیت بالایی برخوردار است. بهره پایدارساز اثر مهمی بر میرایی نوسان‌های روتور دارد. مقدار بهره با بررسی اثر آن در بازه‌ی وسیعی از مقادیر انتخاب می‌شود. با افزایش بهره پایدارساز تا یک بهره خاص میرایی افزایش می‌یابد و برای بهره‌های بالاتر از آن، میرایی کاهش پیدا می‌کند. بهره پایدارساز باید در مقداری متناظر با میرایی حداقل انتخاب شود. بنابراین بهره بهینه در شرایط کار مشخص می‌شود [۱-۶] و مقدار بهره محاسبه شده در این بخش می‌تواند مقدار اولیه‌ای برای تنظیم PSS باشد.

می‌توانیم معادله حرکت ماشین را به صورت رابطه‌ی (۱۱-۳) بنویسیم:

$$[MS^2 + (D_m + D_E + D)S + \omega K_1]\Delta\delta = 0 \quad (11-3)$$

که در آن D_m ، D_E و D به ترتیب ضریب گشتاور مکانیکی، الکتریکی و میرایی، M ضریب اینرسی و K_1 از ضرایب شش‌گانه مدل تک ماشین متصل به باس بی‌نهایت هفرون - فیلیپس می‌باشد. با تطبیق رابطه (۱۱-۳) با رابطه استاندارد درجه ۲، می‌توان ضریب میرایی ξ_n را به صورت رابطه (۱۲-۳) بدست آورد.

$$\xi_n = \frac{(D_m + D_E + D)}{2\omega_b M} \quad (12-3)$$

با صرف نظر کردن از ضریب گشتاور مکانیکی و الکتریکی و مقدار دهی ضریب میرایی، می‌توان ضریب گشتاور الکتریکی را محاسبه نمود و رابطه‌ای بین تغییرات گشتاور الکتریکی و انحراف سرعت زاویه‌ای روتور بدست آورد.

$$\Delta Te = D_E \Delta \omega \quad (13-3)$$

از طرف دیگر با استفاده از شکل ۸-۳ می‌توان برای ورودی انحراف سرعت زاویه‌ای روتور ($\Delta\omega$) و خروجی تغییرات گشتاور الکتریکی (ΔT_e) رابطه‌ای نوشت که با برابر قرار دادن آن با رابطه (۱۳-۳)، رابطه (۱۴-۳) برای محاسبه بهره‌ی PSS بدست خواهد آمد.

$$K_c = \frac{2\omega_n M \xi}{K_2 |G_{pss}(j\omega)| |GEP(j\omega)|} \quad (14-3)$$

در رابطه‌ی بالا K_c از ضرایب شش‌گانه مدل هفرون-فیلیپس می‌باشد. G_{pss} و GEP به ترتیبتابع تبدیل‌های مربوط به مدار پایدارساز و قسمت مشخص شده با خط مقطع در شکل ۸-۳ می‌باشد. همان‌طور که مشاهده می‌کنید، GEP شامل بلوك EXC می‌باشد که نشان دهنده تابع تبدیل سیستم تحریک است.

بدین ترتیب با بهره‌گیری از روابط ذکر شده در بالا می‌توان طراحی پارامترهای اصلی پایدارساز را انجام داد.

فصل ۴

بررسی اثر عدم قطعیت در اطلاعات سیستم‌های

تحریک بر روی مد الکترومکانیکی

۱-۴ مقدمه

همان‌طور که گفته شد، تنظیم پایدارساز سیستم قدرت بر مبنای جبران سازی زاویه‌ی پس فاز بددست آمده از مشخصه‌ی فرکانسی سیستم انجام می‌شود. مقدار زاویه جبران سازی بر اساس اطلاعات شبکه، ژنراتور و سیستم تحریک و در فرکانس معین مد الکترومکانیکی بدست خواهد آمد [۱]. بنابراین مشاهده می‌کنید این مقدار می‌تواند متأثر از چندین عامل ذکر شده در بالا تغییر کند. همان‌طور که گفته‌ایم با فرض معین بودن اطلاعات شبکه و ماشین‌ها، عدم قطعیت در اطلاعات سیستم تحریک غیر قابل چشم‌پوشی است. بدین ترتیب می‌توان انتظار داشت که این عدم قطعیت بتواند به طور مستقیم بر محاسبه‌ی زاویه‌ی جبران سازی اثر بگذارد. از طرف دیگر عدم قطعیت مذکور می‌تواند با اثر گذاری بر روی فرکانس مد الکترومکانیکی، این بار به طور غیر مستقیم زاویه‌ی جبران سازی را تغییر دهد. بنابراین برای در نظر گرفتن اثر عدم قطعیت بر روی تنظیم پایدارساز سیستم قدرت می‌بایست هر دو صورت مستقیم و غیر مستقیم اثرگذاری مورد بررسی قرار گیرد. در این فصل با بهره‌گیری از مدل‌ها و شبکه‌های مختلف تست اثرگذاری عدم قطعیت در اطلاعات سیستم تحریک بر روی مد الکترومکانیکی شبکه (اثرگذاری غیر مستقیم بر روی تنظیم PSS) بررسی

خواهد شد و در فصل آینده تأثیر این عدم قطعیت بر روی شیفت فاز جبران سازی (اثرگذاری مستقیم بر تنظیم PSS) مورد بررسی قرار خواهد گرفت.

همچنین می‌توان با مطالعه‌ی تأثیر پذیری قسمت حقیقی مد الکتروموکانیکی، به نوعی اثر عدم قطعیت مزبور را بر روی پایداری سیگنال کوچک شبکه بررسی کرد.

پروسه انجام بررسی‌ها و نتیجه‌گیری‌ها به شرح زیر خواهد بود.

به دلیل آنکه عدم قطعیت در سیستم تحریک از دو منظر مدل و پارامتر مد نظر می‌باشد، ابتدا باید اثرگذاری اعمال مدل‌های مختلف تحریک بر روی نتایج بررسی شود. سپس نتایج ثبت شده در مرحله‌ی قبل را این بار برای هر مدل اعمالی با تغییر مقادیر پارامترهای آن بدست خواهیم آورد. بدین ترتیب می‌توان با مقایسه نتایج بدست آمده در مدل‌ها و پارامترهای مختلف سیستم‌های تحریک، در مورد تأثیر عدم قطعیت اظهار نظر کرد.

۲-۴ اثر گذاری عدم قطعیت در اطلاعات سیستم تحریک بر روی مدهای

الکتروموکانیکی

در این بخش برای انجام مطالعات عدم قطعیت در اطلاعات سیستم‌های تحریک علاوه بر مدل‌های تحریک IEEE، AC1A و DC1A و ST1A که در فصل ۲ توضیح داده شده‌اند، از مدل‌های کلاسیک و مدل استاندارد شبکه‌ی نمونه ۲ ناحیه‌ای ۴ ماشینه بهره برده‌ایم. به دلیل اهمیت مد الکتروموکانیکی، پس از تشخیص این مد با استفاده از آنالیز ضرایب مشارکت، نتایج تنها برای این مد ارائه خواهد شد. مطالعات و نتایج مربوطه در دو زیربخش مربوط به شبکه‌های تست ارائه شده است.

۴-۱-۲ شبکه تک ماشین متصل به بس بی‌نهایت

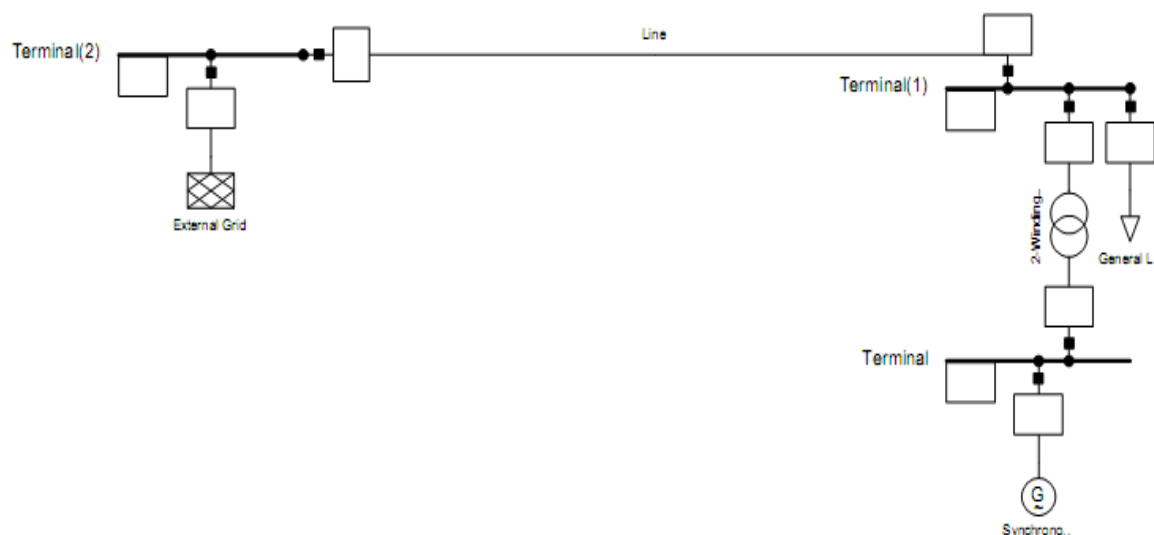
مدل یک ماشین سنکرون متصل به بس بی‌نهایت به صورت دیاگرام تک خطی در شکل ۱-۴ نشان داده شده است. ژنراتور سنکرون به صورت یک مدل درجه ۵ مدل شده است و متغیرهای حالت آن عبارتست از:

$$X = [\delta, \omega, \psi_f, \psi_D, \psi_Q] \quad (1-4)$$

که δ و ω به ترتیب زاویه قدرت و سرعت زاویه‌ای روتور و ۳ متغیر حالت دیگر به ترتیب شار سیم پیچ میدان، شار سیم بندی میرا ساز محور d و شار سیم بندی میرا ساز محور q می‌باشند.

باس بی‌نهایت را به صورت یک ژنراتور با ثابت اینرسی بالا متصل به بس مرجع شبیه سازی کرده‌ایم تا بتواند خواص‌های ما را از بس بی‌نهایت که شامل ثابت نگه داشتن ولتاژ و زاویه می‌باشد را برآورده کند. لازم به ذکر می‌باشد که اگر سیستم‌های ژنراتور-توربین و دیگر اجزا را به صورت دیاگرامی از اتصالات فنر، جرم در نظر بگیریم، ژنراتور با اینرسی بالا به مانند جسم صلبی عمل می‌کند که نوسانات فرکانسی بسیار پایینی دارد و به ثابت ماندن فرکانس و پارامترهای مرتبط به آن کمک می‌کند.

پارامترهای مورد استفاده در مدل‌سازی در پیوست ۱ آورده شده است.



شکل ۱-۴ : شماتیک تک خطی سیستم تک ماشین و بس بی‌نهایت

ابتدا آنالیز مقادیر ویژه را برای حالت بدون سیستم تحریک محاسبه خواهیم کرد تا مقدار مبنایی برای مقایسه بدست آید. به طور نمونه نتایج آنالیز مقادیر ویژه شامل تمامی مقادیر ویژه در جدول ۴-۱ آورده شده است. همان‌طور که از مقایسه قسمت‌های حقیقی و موهومی مدها مشخص است انتظار داریم مذکوج ۸-۹ به دلیل میرایی پایین و دara بودن فرکانس نوسانی $587/0$ هرتز تنها مد الکترومکانیکی این شبکه باشد. آنالیز ضرایب مشارکت را برای مد شماره‌ی ۸ در جدول ۲-۴ وابستگی شدید این مد به متغیرهای مکانیکی ماشین را نمایش می‌دهد. بنابراین تنها مد الکترومکانیکی شبکه همان مد مذکوج ۹-۸ است.

جدول ۱-۴ : مقادیر ویژه شبکه تک ماشین بدون سیستم تحریک

M=8.1	قسمت حقیقی	قسمت موهومی	فرکانس	پریود زمانی	ضریب میرایی
Mode 00001	-1	0	0	0	1
Mode 00002	-10	0	0	0	1
Mode 00003	-1	0	0	0	1
Mode 00004	-10	0	0	0	1
Mode 00005	0	0	0	0	0
Mode 00006	-22.64206	0	0	0	1
Mode 00007	-16.78181	0	0	0	1
Mode 00008	-0.2242464	3.687813	0.5869336	1.70377	0.06069533
Mode 00009	-0.2242464	-3.687813	0.5869336	1.70377	0.06069533
Mode 00010	-0.00027858	0.00077633	0.00012356	8093.422	0.3377572
Mode 00011	-0.00027858	-0.00077633	0.00012356	8093.422	0.3377572
Mode 00012	0	0	0	0	0

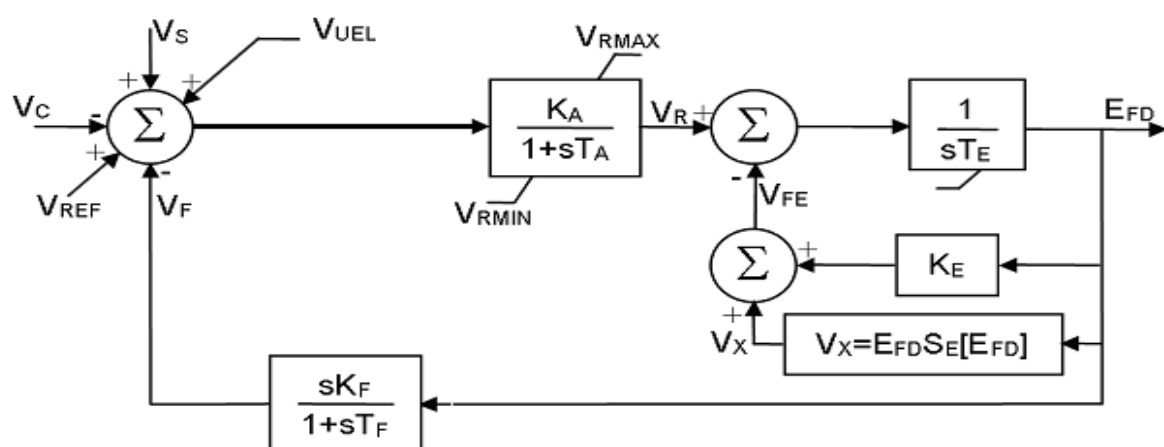
جدول ۲-۴ : آنالیز ضرایب مشارکت مد الکترومکانیکی برای سیستم بدون تحریک

متغیرهای حالت	شماره مد	ضرایب مشارکت
Synchronous Machine; phi	8	1
Synchronous Machine; speed	8	0.9881167

در ادامه، معرفی کوتاهی از مدل تحریک استاندارد به همراه دیاگرام تک خطی آن، ارائه خواهیم کرد سپس ابتدا اثر گذاری مدل‌های مختلف سیستم تحریک (ذکر شده در بالا) را بر روی مدهای شبکه مورد بررسی قرار می‌دهیم، سپس برای هر مدل معین تأثیر تغییر در پارامترهای مهم آن را بر روی مدها بررسی می‌کنیم. این پارامترها را می‌توان بر مبنای ساختار شبکه و مقادیر نوعی آن‌ها انتخاب کرد. در این مطالعه پارامترهای K_A (بهره تنظیم‌کننده) و T_E (ثبت زمانی تحریک کننده) به عنوان پارامترهایی که تأثیر بیشتری بر روی مدها خواهند داشت در نظر گرفته شده‌اند که انتخاب آن‌ها دور از ذهن نمی‌باشد. توجه داشته باشید که به دلیل آنکه در مدل استاتیک تحریک‌کننده نداریم، در این حالت اثر تغییر T_E (ثبت زمانی تنظیم‌کننده) بررسی شده است. این پروسه تأثیر عدم قطعیت در مدل و پارامترهای اکسایتر را بر روی مددکترومکانیکی شبکه‌ی تک ماشین متصل به باس بی‌نهایت در اختیار ما قرار می‌دهد.

۱-۱-۲-۴ مدل سیستم تحریک استاندارد IEEET1

دیاگرام تک خطی مدل تحریک IEEET1 در شکل ۲-۴ نمایش داده شده است. این مدل دارای بلوک‌های تنظیم‌کننده ولتاژ، تحریک‌کننده، پایدارساز سیستم تحریک و اشباع می‌باشد. عملکرد بلوک‌های بیان شده همانند سایر مدل‌ها می‌باشد و تنها مقادیر تنظیمی آن‌ها متفاوت می‌باشد. جدول ۳-۴ مقادیر نوعی پارامترهای این مدل را نمایش می‌دهد. همچنین حدود اعمالی بر روی تنظیم‌کننده و سیگنال‌های کنترلی مانند فوق تحریک و زیر تحریک همانند مدل‌های پیشین مورد استفاده قرار گرفته‌اند.



شکل ۲-۴ : دیاگرام تک خطی مدل سیستم تحریک IEEET1

جدول ۳-۴ : مقادیر نوعی پارامترهای مدل سیستم تحریک IEEET1

ثابت زمانی مبدل ولتاژ ترمینال	$Tr=0.02$	پارامتر بلوک اشباع	$E1=3.9$
بهره تنظیم کننده ولتاژ	$Ka=300$	پارامتر بلوک اشباع	$Se=0.1$
ثابت زمانی تنظیم کننده ولتاژ	$Ta=0.03$	پارامتر بلوک اشباع	$E2=5.2$
بهره سیستم تحریک	$Ke=1$	پارامتر بلوک اشباع	$Se2=0.5$
ثابت زمانی سیستم تحریک	$Te=0.2$	حد پایین ولتاژ	$Vrmin=-10$
بهره پایدارساز تحریک	$Kf=0.05$	حد بالای ولتاژ	$Vrmax=10$
ثابت زمانی پایدارساز تحریک	$Tf=1.5$		

جدول ۴-۴ نتیجه آنالیز مقادیر ویژه برای مدل الکترومکانیکی در وضعیت استفاده از مدل استاندارد IEEE سیستم تحریک را نمایش می‌دهد. توجه داشته باشید که نتیجه‌ی ارائه شده در ۲ مقدار متفاوت ثابت اینرسی بدست آمده است. می‌دانیم هر چه ثابت اینرسی بزرگ‌تر باشد به علت افزایش خاصیت سلبی ژنراتور، فرکانس نوسانات کاهش و پریود آن افزایش می‌یابد. این امر در نتایج جدول ۴-۴ تایید شده است بطوریکه با کاهش ثابت اینرسی از $8/1$ به $5/4$ ثانیه مقدار فرکانس مدل از $0/595$ به مقدار $0/712$ هرتز افزایش یافت.

جدول ۴-۴ : مدل الکترومکانیکی شبکه تک ماشین با سیستم تحریک IEEET1

$M=8.1$	قسمت حقیقی	قسمت موهومی	فرکانس	پریود زمانی	ضریب میرایی
Mode 00011	0.2571777	3.738866	0.595059	1.680506	-0.0686228
Mode 00012	0.2571777	-3.738866	0.595059	1.680506	-0.0686228
$M=5.4$	قسمت حقیقی	قسمت موهومی	فرکانس	پریود زمانی	ضریب میرایی
Mode 00011	0.2471557	4.473812	0.7120293	1.404437	-0.0551609
Mode 00012	0.2471557	-4.473812	0.7120293	1.404437	-0.0551609

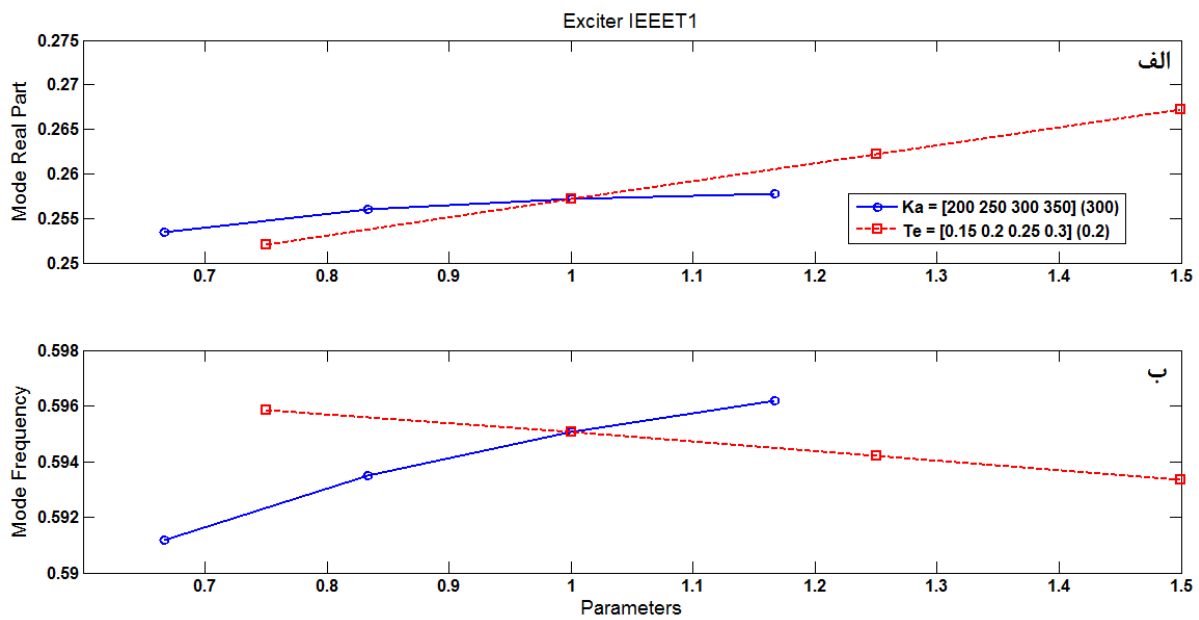
جدول ۵-۴ : آنالیز ضرایب مشارکت مدل الکترومکانیکی با سیستم تحریک IEEET1 . $M=8.1s$

متغیر حالت	شماره مدل	ضرایب مشارکت
Synchronous Machine; phi	11	1
Synchronous Machine; speed	11	0.9620125

قسمت حقیقی مدل الکترومکانیکی سیستم در مقایسه با وضعیت شبکه بدون سیستم تحریک ناپایدار شده است و این به معنی وابسته بودن پایداری شبکه به مدل سیستم تحریک است. این در حالی اتفاق می‌افتد که مقدار موہومی آن تغییر چندانی نداشته است و می‌توان از تغییر 0.008 هرتزی در فرکانس آن صرف نظر کرد. این نتیجه مستقل بودن فرکانس مدل الکترومکانیکی از مدل سیستم تحریک را نشان می‌دهد.

حال برای این مدل تحریک اثر تغییر پارامترهای آن بر روی قسمت حقیقی و موہومی مدل الکترومکانیکی را بررسی می‌کنیم. به دلیل آنکه در قسمت بالا نتیجه گرفته‌ایم که فرکانس مدل مستقل از مدل تحریک *IEEET1* می‌باشد، بنابراین انتظار داریم تغییر پارامترهای این مدل نیز در آن تأثیر زیادی نداشته باشد.

همان‌طور که قبلاً نیز گفته‌ایم برای انجام بررسی‌های این بخش از پارامترهای بهره تنظیم‌کننده (K_a) و ثابت زمانی تحریک‌کننده (T_e) به دلیل مقدار آن‌ها و همچنین قرار گرفتن در مسیر پیش خور سیگنال ورودی استفاده کردۀ‌ایم. شکل ۴-۳ تغییرات قسمت حقیقی مدل و فرکانس آن را در اثر تغییر پارامترهای ذکر شده نشان می‌دهد. قسمت الف نشان دهنده تغییر قسمت حقیقی مدل و ب نشان دهنده تغییر حاصل شده در فرکانس مدل می‌باشد. خاطر نشان می‌کنیم که مقادیر اعمالی برای تغییر پارامترها به همراه مقدار مبنای آن‌ها در کنار شکل آورده شده است. برای رسم گراف زیر از مقادیر نرم‌الیزه شده‌ی پارامترها نسبت به مقدار مبنای خودش استفاده شده است. در تمامی بررسی‌ها، مدهای سیستم در ثابت اینرسی $1/8$ ثانیه محاسبه شده‌اند.



شکل ۳-۴ : اثر تغییر پارامترهای سیستم تحریک IEEET1 بر روی مد الکترومکانیکی. الف: قسمت حقیقی مد. ب: فرکانس مد

همان‌طور که مشاهده می‌کنید تغییرات قسمت حقیقی مد در اثر تغییر پارامترهای سیستم تحریک IEEET1 بسیار ناچیز می‌باشد و قابل صرف نظر است. همین نتیجه برای فرکانس مد نیز قابل استنتاج است. این نتیجه‌ای است که قبل از این به آن اشاره شده بود. مقادیر عددی تغییرات در جدول ۶-۴ ارائه شده است.

جدول ۶-۴ : تغییرات مد الکترومکانیکی بر مبنای تغییر در پارامترهای سیستم تحریک IEEET1

تغییرات پارامترهای سیستم تحریک		قسمت حقیقی مد	فرکانس مد
تغییرات K_a (کنندۀ و نظارتی)	200	0.2534591	0.5911916
	250	0.2559595	0.5934887
	300	0.2571777	0.595059
	350	0.257814	0.5961981
تغییرات T_e (سیستمی زمانی)	0.15	0.2520272	0.5958645
	0.2	0.2571777	0.595059
	0.25	0.2622581	0.5942209
	0.3	0.2672579	0.5933503

۲-۱-۴ مدل سیستم تحریک AC1A

مقادیر نوعی پارامترهای مدل تحریک AC1A در جدول زیر نشان داده شده است. نتایج آنالیز مقادیر ویژه شبکه‌ی تک ماشین با این نوع سیستم تحریک برای مدل الکتروموکانیکی با دو مقدار ثابت اینرسی در جدول آورده شده است.

جدول ۷-۴ : مقادیر نوعی مدل سیستم تحریک AC1A

زمان تأخیر فیلتر	$T_b=0.02$	بهره عکس العمل آرمیچر	$K_d=0.213$
ثابت زمانی فیلتر مشتقی	$T_c=0.09$	پارامتر بلوك اشباع	$E_1=3.13$
اندازه‌ی تأخیر	$T_r=0.01$	پارامتر بلوك اشباع	$SE_1=1.73$
بهره تنظیم‌کننده ولتاژ	$K_a=250$	پارامتر بلوك اشباع	$E_2=4.18$
ثابت زمانی تنظیم‌کننده ولتاژ	$T_a=0.003$	پارامتر بلوك اشباع	$SE_2=4$
بهره پایدارساز تحریک	$K_f=0.001$	حد پایین ولتاژ آمپلی‌فایر	$V_{amin}=-36.3$
ثابت زمانی پایدارساز تحریک	$T_f=1$	حد پایین ولتاژ کنترلر	$V_{rmin}=-999$
ثابت زمانی سیستم تحریک	$T_e=2.1$	حد بالای ولتاژ آمپلی‌فایر	$V_{amax}=41.7$
بهره تنظیم‌کننده یکسو ساز	$K_c=0.14$	حد بالای ولتاژ کنترلر	$V_{rmax}=999$
بهره تحریک	$K_e=0.53$		

در این حالت نیز همانند مدل تحریک استاندارد، مدل الکتروموکانیکی شبکه در مقایسه با وضعیت بدون سیستم تحریک ناپایدار شده است و تغییر آن قابل صرف نظر نیست ولی قسمت موهومی آن و فرکانس مدل چندان دست خوش تغییر نشده‌اند، بطوریکه فرکانس مدل تغییری در حدود $1/0$ هرتز را تجربه کرده است که این مقدار قابل چشم‌پوشی است. همچنین همان‌طور که انتظار داشتیم فرکانس مدل در اثر کاهش ثابت اینرسی ماشین، افزایش و به طور معکوس پریود آن کاهش یافته است.

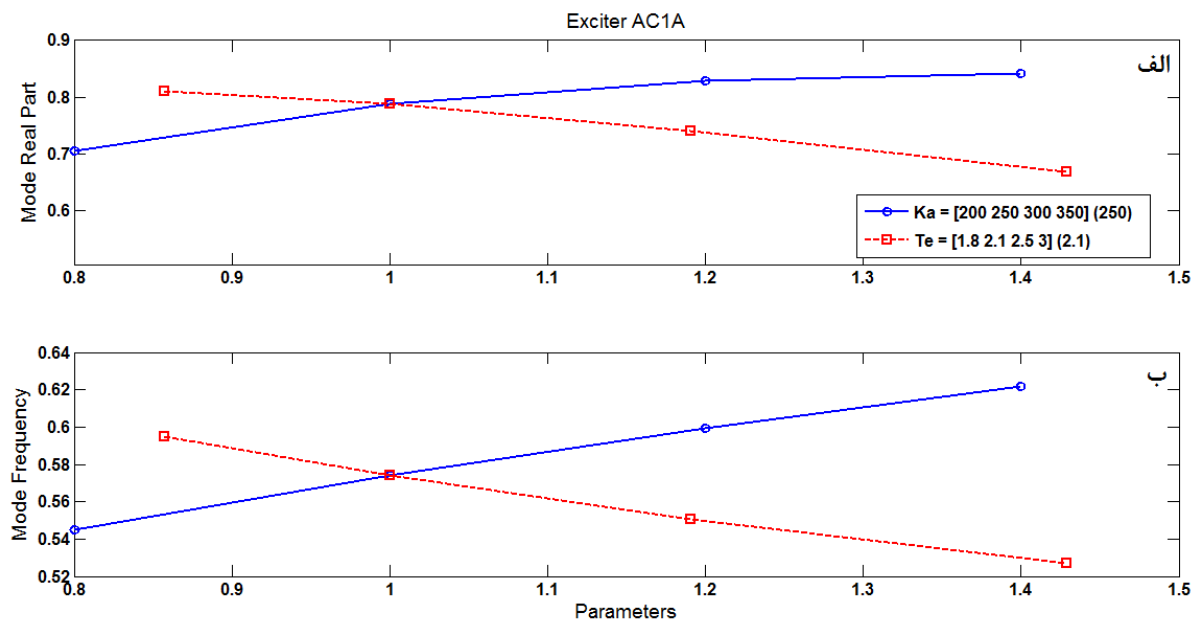
جدول ۸-۴ : مدل الکتروموکانیکی شبکه تک ماشین با سیستم تحریک AC1A

$M=8.1$	قسمت حقیقی	قسمت موهومی	فرکانس	پریود زمانی	ضریب میرایی
Mode 00013	0.7875965	3.607135	0.5740933	1.741877	-0.2133184
Mode 00014	0.7875965	-3.607135	0.5740933	1.741877	-0.2133184
$M=5.4$	قسمت حقیقی	قسمت موهومی	فرکانس	پریود زمانی	ضریب میرایی
Mode 00013	0.7700535	4.017112	0.6393433	1.564105	-0.1882655
Mode 00014	0.7700535	-4.017112	0.6393433	1.564105	-0.1882655

جدول ۹-۴ : آنالیز ضرایب مشارکت مد الکترومکانیکی با سیستم تحریک AC1A . $M=8.1s$

متغیر حالت	شماره مد	ضرایب مشارکت
Synchronous Machine; phi	13	1
Synchronous Machine; speed	13	0.9318194

حال همانند حالت قبل تأثیر تغییر پارامترهای بهره تنظیم‌کننده ولتاژ و ثابت زمانی سیستم تحریک را بر روی مد الکترومکانیکی بررسی خواهیم کرد. گراف زیر تغییرات مد نوسانی شبکه را در اثر تغییر دو پارامتر ذکر شده نمایش می‌دهد. با توجه به جدول ۹-۴ که مقادیر عددی تغییر را نمایش می‌دهد، در می‌یابیم حداقل تغییر قسمت حقیقی مد در حدود 15% می‌باشد. این مقدار قابل توجه است و نمی‌توان از آن صرف نظر کرد. بنابراین قسمت حقیقی مد الکترومکانیکی و یا همان شاخص پایداری متأثر از تغییرات پارامترهای سیستم تحریک AC1A می‌باشد و نمی‌توان پایداری را مستقل از عدم قطعیت در پارامترهای تحریک دانست.



شکل ۴-۴ : اثر تغییر پارامترهای سیستم تحریک AC1A بر روی مد الکترومکانیکی. الف: قسمت حقیقی مد. ب: فرکانس مد در مورد قسمت موهومنی مد و فرکانس آن بحث متفاوت است. فرکانس مد همانند حالت تحریک استاندارد تأثیر زیادی از تغییرات پارامترها نمی‌پذیرد و تغییرات آن در بازه‌ی نشان داده شده در شکل ۴-۴ قابل قبول می‌باشد. بنابراین می‌توان گفت فرکانس مد الکترومکانیکی مستقل از تغییرات پارامترهای تحریک است.

جدول ۱۰-۴ : تغییرات مد الکترومکانیکی بر مبنای تغییر در پارامترهای سیستم تحریک AC1A

فرکانس مد	قسمت حقیقی مد	تغییرات پارامترهای سیستم تحریک	
فرکانس مد نحوه کنترل (K _a)	200	0.704572	0.5450347
	250	0.787597	0.5740933
	300	0.828779	0.5993142
	350	0.842272	0.6215974
تاخیر زمانی بلوک اشباع (T _e)	1.8	0.809815	0.5950975
	2.1	0.787597	0.5740933
	2.5	0.740611	0.5507974
	3	0.668061	0.5269651

۳-۱-۲-۴ مدل سیستم تحریک DC1A

دیاگرام سیستم تحریک DC1A در بخش ۱-۱-۴ نمایش داده شد و مطالب مربوط به عملکرد آن ذکر شد. مقادیر تنظیمی مبنا برای پارامترهای این مدل در جدول ۱۱-۴ آورده شده است. نتایج آنالیز مقادیر ویژه با اعمال این مدل تحریک و پارامترهایش برای دو ثابت اینرسی در جدول ۱۲-۴ نشان داده شده است. همان‌طور که از جدول ۱۳-۴ مشخص است، تنها مد الکترومکانیکی شبکه، مد مزدوج شماره ۱۲-۱۱ می‌باشد و نتایج تنها برای این مد ارائه خواهد شد.

جدول ۱۱-۴ : مقادیر نوعی مدل سیستم تحریک DC1A

اندازی تأخیر	Tr=0.02	بهره تحریک	Ke=0.5
بهره کنترلر	Ka=200	پارامتر بلوک اشباع	E1=3.9
ثابت زمانی کنترلر	Ta=0.005	پارامتر بلوک اشباع	Se1=0.0001
ثابت زمانی فیلتر مشتق	Tc=3.1	پارامتر بلوک اشباع	E2=5.2
ثابت زمانی تأخیر فیلتر	Tb=40	پارامتر بلوک اشباع	Se2=0.001
ثابت زمانی سیستم تحریک	Te=0.05	حد پایین ولتاژ کنترلر	Vrmin=-5
بهره پایدارساز تحریک	Kf=0.01	حد بالای ولتاژ کنترلر	Vrmax=9
ثابت زمانی پایدارساز تحریک	Tf=0.3		

همان طور که از جدول مشخص است مد الکتروموکانیکی بعد از اعمال سیستم تحریک $DC1A$ ناپایدار شده است. این نتیجه‌ای است که در حالت‌های قبل نیز داشته‌ایم. مقدار موهومی مد در مقایسه با حالت بدون سیستم تغییر چندانی نداشته است و می‌توان فرکانس مد الکتروموکانیکی را مستقل از مدل تحریک دانست. همچنین کاهش ثابت اینرسی همانند قبل موجب افزایش فرکانس مد نوسانی شده است.

جدول ۱۲-۴ : مد الکتروموکانیکی شبکه تک ماشین با سیستم تحریک $DC1A$

$M=8.1$	قسمت حقیقی	قسمت موهومی	فرکانس	پریود زمانی	ضریب میرایی
Mode 00011	0.1726135	3.493218	0.5559629	1.798681	-0.04935369
Mode 00012	0.1726135	-3.493218	0.5559629	1.798681	-0.04935369
$M=5.4$	قسمت حقیقی	قسمت موهومی	فرکانس	پریود زمانی	ضریب میرایی
Mode 00011	0.1579442	4.224174	0.6722982	1.487435	-0.00894682
Mode 00012	0.1579442	-4.224174	0.6722982	1.487435	-0.00894682

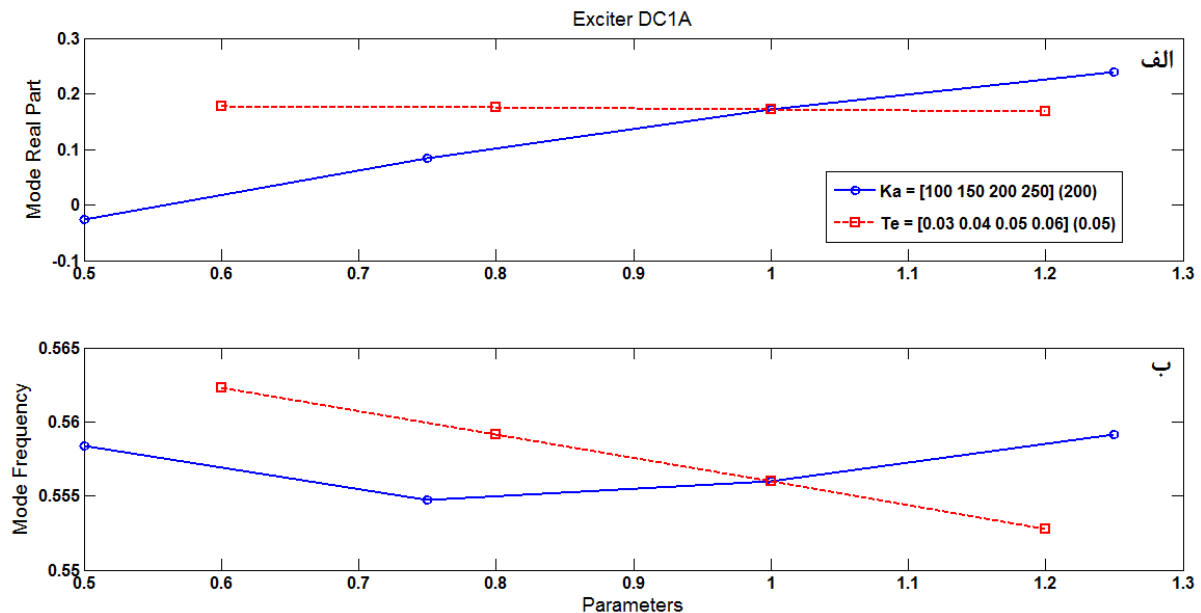
جدول ۱۳-۴ : آنالیز ضرایب مشارکت مد الکتروموکانیکی با سیستم تحریک $DC1A$. $M=8.1s$

متغیر حالت	شماره مد	ضرایب مشارکت
Synchronous Machine; phi	13	1
Synchronous Machine; speed	13	0.960365

پس از مطالعه تأثیر مدل تحریک $DC1A$ بر روی مد الکتروموکانیکی، نوبت به بررسی اثر تغییر پارامترهای این مدل بر روی قسمت‌های حقیقی و موهومی مد می‌رسد. همانند حالت‌های قبل، پارامترهای انتخابی برای اعمال تغییر بهره تنظیم‌کننده ولتاژ (Ka) و ثابت زمانی تحریک‌کننده (Te) می‌باشند. بر طبق جدول ۱۱-۴ مقادیر نوعی برای این پارامترها به ترتیب برابر 200 و 0.5% می‌باشد.

شکل ۴-۵ منحنی تغییرات قسمت حقیقی مد و فرکانس آن را برای تغییرات مشخص در پارامترهای سیستم تحریک را نشان می‌دهد. قسمت حقیقی مد در اثر تغییر بهره تنظیم‌کننده ولتاژ تغییرات بسیار شدیدی را متحمل شده است. بطوریکه به ازای مقدار بهره 100 مد الکتروموکانیکی از حالت ناپایدار به حالت

پایدار رسانیده است. اما قسمت موهومی مد که در قسمت ب شکل با شاخص فرکانس نشان داده شده است تغییرات بسیار ناچیزی را تجربه کرده است که صرف نظر کردن از این تغییرات قابل قبول است. مقادیر عددی تغییرات قسمت حقیقی و فرکانس مد الکترومکانیکی به همراه تغییرات اعمالی در پارامترهای سیستم تحریک در جدول ۱۴-۴ آورده شده است.



شکل ۵-۴ : اثر تغییر پارامترهای سیستم تحریک DC1A بر روی مد الکترومکانیکی. الف: قسمت حقیقی مد. ب: فرکانس مد

جدول ۱۴-۴ : تغییرات مد الکترومکانیکی بر مبنای تغییر در پارامترهای سیستم تحریک DC1A

تغییرات پارامترهای سیستم تحریک	مد	فرکانس مد	
نهره تنظیم کننده (K _a)	100	-0.02676	0.5583486
	150	0.083664	0.5547637
	200	0.172614	0.5559629
	250	0.239147	0.5591215
<hr/>			
ثابت زمانی سیستم (T _e)	0.03	0.176741	0.5623272
	0.04	0.175442	0.5591595
	0.05	0.172614	0.5559629
	0.06	0.168244	0.5527597

۴-۱-۲-۴ مدل سیستم تحریک ST1A

مقادیر نوعی پارامترهای مدل تحریک در جدول ۱۵-۴ نشان داده شده است. جدول‌های ۱۶-۴ و ۱۷-۴ به ترتیب نتایج آنالیز مقادیر ویژه برای مدل الکتروموکانیکی در دو مقدار متفاوت ثابت اینرسی و آنالیز ضرایب مشارکت برای تشخیص مدل مکانیکی را نمایش می‌دهند.

جدول ۱۵-۴ : مقادیر نوعی مدل سیستم تحریک ST1A

اندازه‌ی تأخیر	$Tr=0.015$	ثبت زمانی پایدارساز تحریک	$Tf=1.2$
ثبت زمانی تأخیر فیلتر اول	$Tb=1$	ضریب جریان ورودی	$Klr=1$
ثبت زمانی فیلتر مشتق اول	$Tc=0.1$	مرجع جریان ورودی	$llr=1$
ثبت زمانی تأخیر فیلتر دوم	$Tb1=1$	ورودی‌های PSS متفاوت	$Vos=1$
ثبت زمانی فیلتر مشتق دوم	$Tc1=1$	ورودی‌های Uel متفاوت	$Vel=1$
بهره کنترلر	$Ka=145$	حد پایین ولتاژ خروجی کنترلر	$Vamin=-5$
ثبت زمانی کنترلر	$Ta=0.05$	حد پایین ولتاژ خروجی تحریک	$Vrmin=-4$
فیلتر حد جریان	$Kc=0.01$	حد بالای ولتاژ خروجی کنترلر	$Vamax=5$
بهره پایدارساز تحریک	$Kf=0.01$	حد بالای ولتاژ خروجی تحریک	$Vrmax=4$

همانند حالتهای قبل در این حالت نیز در مقایسه با وضعیت بدون سیستم تحریک، قسمت حقیقی مدل تغییر زیادی داشته است و از حالت پایدار به وضعیت ناپایدار کنونی رسیده است. فرکانس مدل نیز تغییر بسیار ناچیزی را برای اعمال سیستم تحریک ST1A متحمل شده است که قابل صرف نظر است و می‌توان آن را مستقل از تغییر مدل دانست. همچنین تأثیر کاهش ثابت اینرسی همانند قبل افزایش فرکانس و کاهش پریود زمانی مدل الکتروموکانیکی را در پی داشته است.

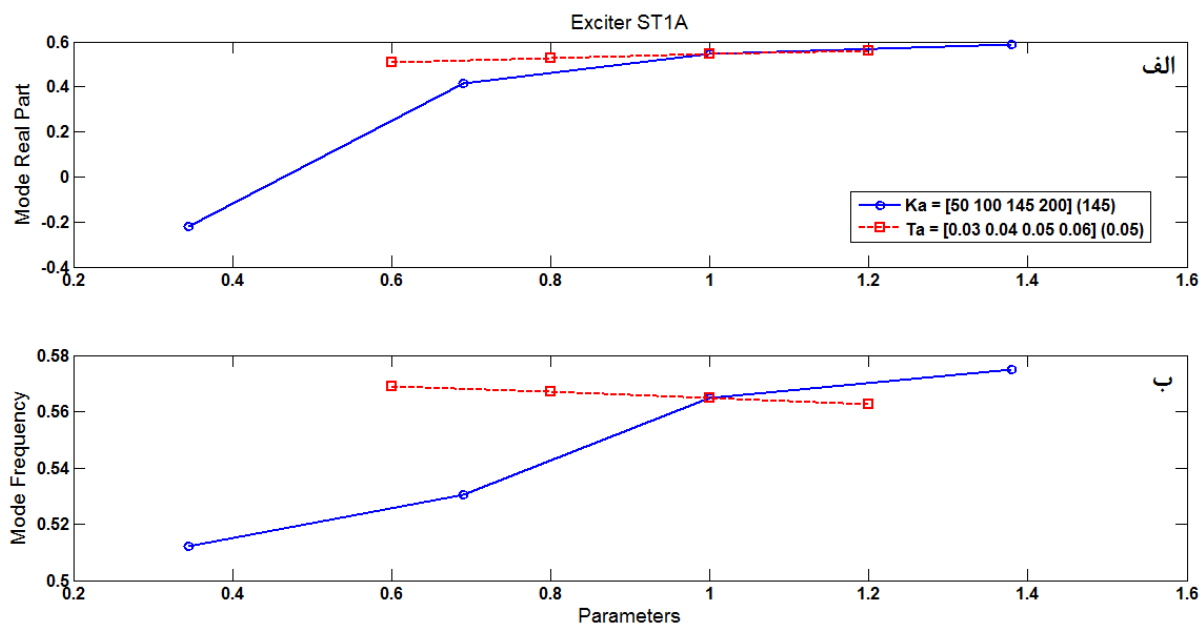
جدول ۱۶-۴ : مدل الکتروموکانیکی شبکه تک ماشین با سیستم تحریک ST1A

$M=8.1$	قسمت حقیقی	قسمت موهومی	فرکانس	پریود زمانی	ضریب میرایی
Mode 00012	0.5443616	3.549194	0.5648718	1.770313	-0.1516033
Mode 00013	0.5443616	-3.549194	0.5648718	1.770313	-0.1516033
$M=5.4$	قسمت حقیقی	قسمت موهومی	فرکانس	پریود زمانی	ضریب میرایی
Mode 00012	0.5005092	4.047946	0.6442506	1.552191	-0.1227108
Mode 00013	0.5005092	-4.047946	0.6442506	1.552191	-0.1227108

جدول ۱۷-۴ : آنالیز ضرایب مشارکت مد الکترومکانیکی با سیستم تحریک ST1A . $M=8.1s$

متغیر حالت	شماره مد	ضرایب مشارکت
Synchronous Machine; phi	13	1
Synchronous Machine; speed	13	0.960365

تغییر قسمت حقیقی و فرکانس مد به سبب تغییر پارامترهای سیستم تحریک ST1A در شکل ۶-۴ نمایش داده شده است. توجه داشته باشید که همان‌طور که در ابتدای بحث هم گفته شد به دلیل عدم وجود بلوک تحریک‌کننده در این مدل، اثر تغییر بهره (Ka) و ثابت زمانی (Ta) تنظیم‌کننده ولتاژ بر روی مد الکترومکانیکی بررسی شده است. مقادیر تغییرات پارامترها به همراه تغییرات مد الکترومکانیکی در جدول ۱۸-۴ آورده شده است.



شکل ۶-۴ : اثر تغییر پارامترهای سیستم تحریک ST1A بر روی مد الکترومکانیکی. الف: قسمت حقیقی مد. ب: فرکانس مد

جدول ۱۸-۴ : تغییرات مدلکترومکانیکی بر مبنای تغییر در پارامترهای سیستم تحریک ST1A

فرکانس مدل	قسمت حقیقی مدل	تغییرات پارامترهای سیستم تحریک	
فرکانس مدل و تأثیرگذار کننده (Ka)	50	-0.22124	0.5120595
	100	0.414318	0.5304326
	145	0.544362	0.5648718
	200	0.589368	0.5750965
فرکانس مدل و تأثیرگذار کننده (Tc)	0.03	0.510013	0.5691003
	0.04	0.527318	0.5670587
	0.05	0.544362	0.5648718
	0.06	0.561053	0.5625442

شکل ۶-۴ به وضوح تأثیرپذیری قسمت حقیقی مدل را از تغییر پارامتر بهره تنظیم‌کننده (Ka) نشان می‌دهد.

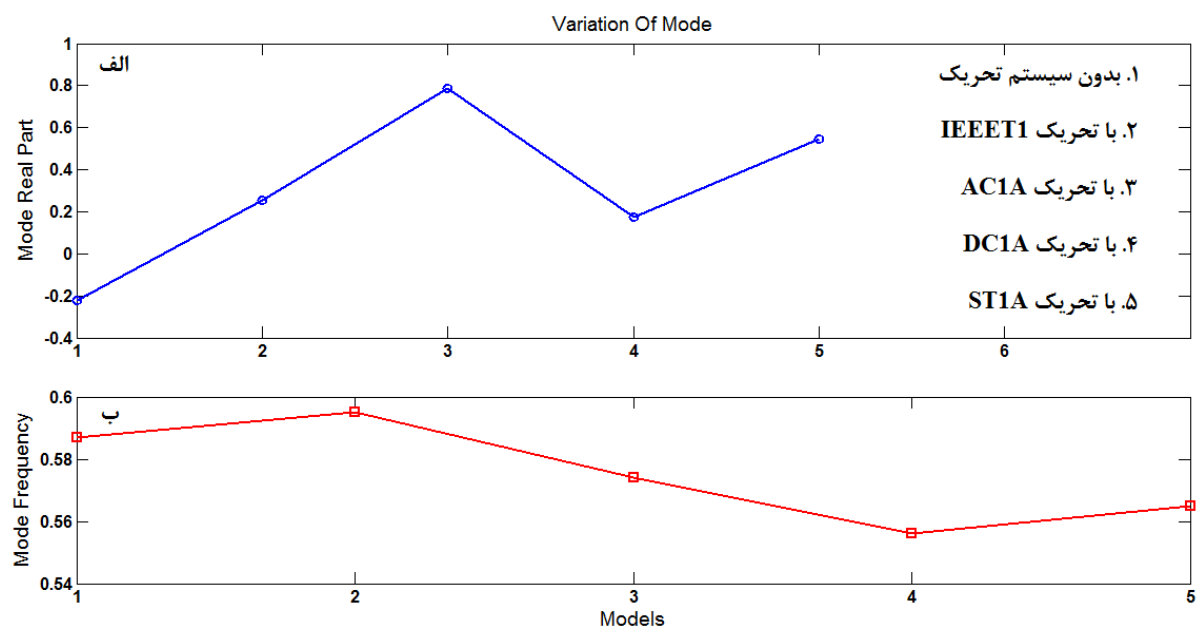
این بدان معنی است که پایداری سیگنال کوچک شبکه علاوه بر وابستگی به مدل سیستم تحریک به پارامترهای آن نیز وابسته می‌باشد. اما بازه‌ی تغییر فرکانس مدل حداقل حدود ۰/۰۶ هرتز می‌باشد که مقداری کوچک است و صرف نظر کردن از آن خللی در مطالعات ما به وجود نمی‌آورد.

۴-۲-۵ نتایج مطالعات در شبکه تک ماشین متصل به باس بی‌نهایت

تغییر مدهای الکترومکانیکی به سبب تغییر در مدل‌های سیستم تحریک در شبکه‌ی تک ماشین متصل به باس بی‌نهایت به صورت جدول ۱۹-۴ آورده شده است. همچنین رنج تغییرات بصورت گراف در شکل ۷-۴ نشان داده شده است.

جدول ۱۹-۴ : نتایج تأثیر تغییرات مدل تحریک بر مدل الکترومکانیکی شبکه‌ی تک ماشینه

M=8.1						
Sys Without Avr	قسمت حقیقی	قسمت موهومی	فرکانس	پریود زمانی	ضریب میرایی	
Mode 00008	-0.224246	3.687813	0.5869336	1.70377	0.0606953	
Mode 00009	-0.224246	-3.687813	0.5869336	1.70377	0.0606953	
Sys With Avr IEEET1	قسمت حقیقی	قسمت موهومی	فرکانس	پریود زمانی	ضریب میرایی	
Mode 00011	0.2571777	3.738866	0.595059	1.703788	-0.0686228	
Mode 00012	0.2571777	-3.738866	0.595059	1.703788	-0.0686228	
Sys With Avr AC1A	قسمت حقیقی	قسمت موهومی	فرکانس	پریود زمانی	ضریب میرایی	
Mode 00013	0.7875965	3.607135	0.5740933	1.680506	-0.2133184	
Mode 00014	0.7875965	-3.607135	0.5740933	1.680506	-0.2133184	
Sys With Avr DC1A	قسمت حقیقی	قسمت موهومی	فرکانس	پریود زمانی	ضریب میرایی	
Mode 00011	0.1726135	3.493218	0.5559629	1.741877	-0.0493536	
Mode 00012	0.1726135	-3.493218	0.5559629	1.741877	-0.0493536	
Sys With Avr ST1A	قسمت حقیقی	قسمت موهومی	فرکانس	پریود زمانی	ضریب میرایی	
Mode 00012	0.5443616	3.549194	0.5648718	1.798681	-0.1516033	
Mode 00013	0.5443616	-3.549194	0.5648718	1.798681	-0.1516033	



شکل ۱۹-۴ نرخ تغییرات مدل شبکه‌ی تک ماشینه برای مدل‌های مختلف تحریک. الف- قسمت حقیقی مدل. ب- فرکانس مدل.

بر اساس اطلاعات دریافتی از گراف و جدول آورده شده در بالا و بر مبنای مطالب ارائه شده در قسمت‌های قبل می‌توان نتایج این بخش را به صورت زیر مرتب کرد:

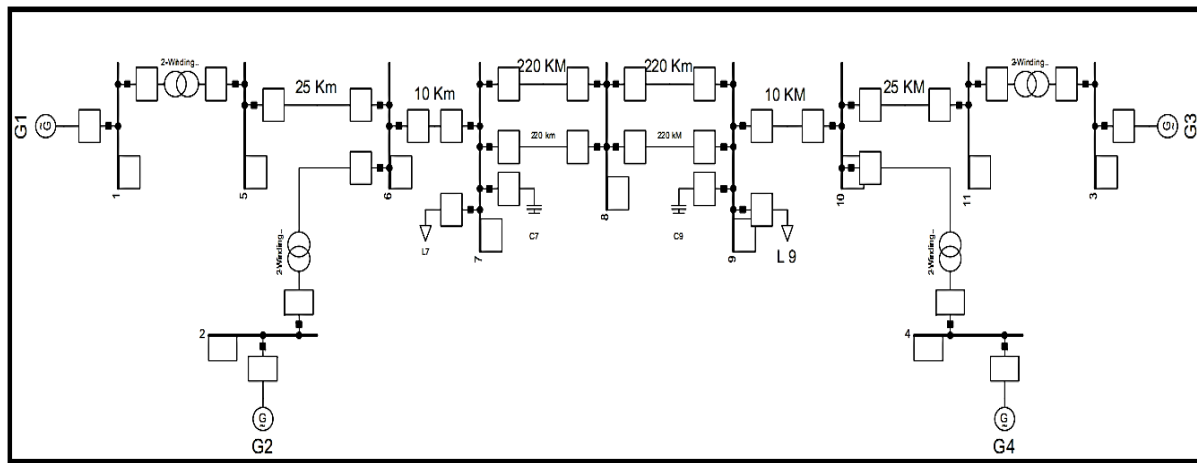
- ۱- تغییر مدل‌های تحریک برای سیستم تک ماشین متصل به باس بی‌نهایت اثر ناچیزی بر روی فرکانس نوسان مد الکترومکانیکی داشته است بطوریکه در بدترین حالت مقدار فرکانس از $0/587$ هرتز (برای حالت بدون سیستم تحریک) به $0/556$ هرتز (با سیستم تحریک DC1A) کاهش یافته است که تقریباً 5 درصد تغییر می‌باشد. در مدل‌های دیگر تحریک تغییرات کمتر است. بنابراین فرکانس مد الکترومکانیکی مستقل از تغییر مدل سیستم تحریک است.
- ۲- برای هر مدل تحریک معین، تغییر پارامترهای آن تأثیر بسیار کمی بر روی فرکانس مد الکترومکانیکی داشته است. این نتیجه‌ای بوده که ما از بند ۱ انتظار داشتیم. چرا که تغییر مدل تحریک که به نوعی تغییر پارامتر محسوب می‌شود بر فرکانس مد تأثیر ناچیزی داشته است.
- ۳- بنابراین فرکانس مد الکترومکانیکی مستقل از عدم قطعیت در اطلاعات مدل و پارامتر سیستم تحریک است.
- ۴- عدم قطعیت در مدل سیستم تحریک تأثیر زیادی بر قسمت حقیقی مد الکترومکانیکی که شاخص پایداری محسوب می‌شود، داشته است. بدین ترتیب باید گفت پایداری سیگنال کوچک وابسته به نوع سیستم تحریک می‌باشد و در صورت وجود عدم قطعیت در مدل تحریک نمی‌توان از نتایج آنالیزهای پایداری مطمئن بود.
- ۵- تأثیر تغییر پارامترهای اکسایتر بر روی قسمت مد الکترومکانیکی قابل ملاحظه می‌باشد. بنابراین پایداری شبکه مستقل از پارامترهای سیستم تحریک نیست.
- ۶- پایداری سیگنال کوچک شبکه وابسته به مدل و پارامترهای سیستم تحریک می‌باشد و عدم قطعیت در هر کدام از این دو سبب عدم اطمینان در نتایج پایداری خواهد شد.

شبکه‌ی نمونه ۲ ناحیه‌ای ۴ ماشینه

با توجه به اینکه در بخش ۱-۲-۴ با پروسه تحلیل و انجام بررسی‌ها آشنا شده‌ایم، در این بخش سعی خواهیم کرد با نگاه کلی‌تر و با ارائه جدول‌ها و گراف‌های جامع‌تر، سریع‌تر و با همان دقت نتایج مربوطه را ارائه کنیم.

نمایی از ساختار تک خطی شبکه‌ی نمونه دو ناحیه‌ای ۴ ماشینه در شکل ۸-۴ نشان داده شده است. سیستم شامل دو ناحیه‌ی مشابه که با خط ارتباطی ضعیف، به هم متصل شده‌اند می‌باشد. طول خطوط واسط به نحوی انتخاب شده است که بیشترین توان (اکتیو و راکتیو) از این خطوط عبور کند. در این حالت شبکه به سمت ناپایداری حرکت کرده و بدترین شرایط برای بررسی پایداری به وجود می‌آید.

بررسی‌ها در دو زیر بخش مربوط به اثر گذاری مدل‌ها و پارامترهای مختلف سیستم تحریک بر روی مد الکترومکانیکی، انجام خواهد شد. با توجه به ساختار شبکه که دارای مد بین ناحیه‌ای کم میرا یا نامیرایی خواهد بود و با در نظر گرفتن اهمیت مدهای الکترومکانیکی در مطالعات پایداری سیگنال کوچک، نتایج تنها برای مد بین ناحیه‌ای شبکه ارائه خواهد شد.



شکل ۸-۴ : مدل شبکه‌ی نمونه دو ناحیه‌ای ۴ ماشینه

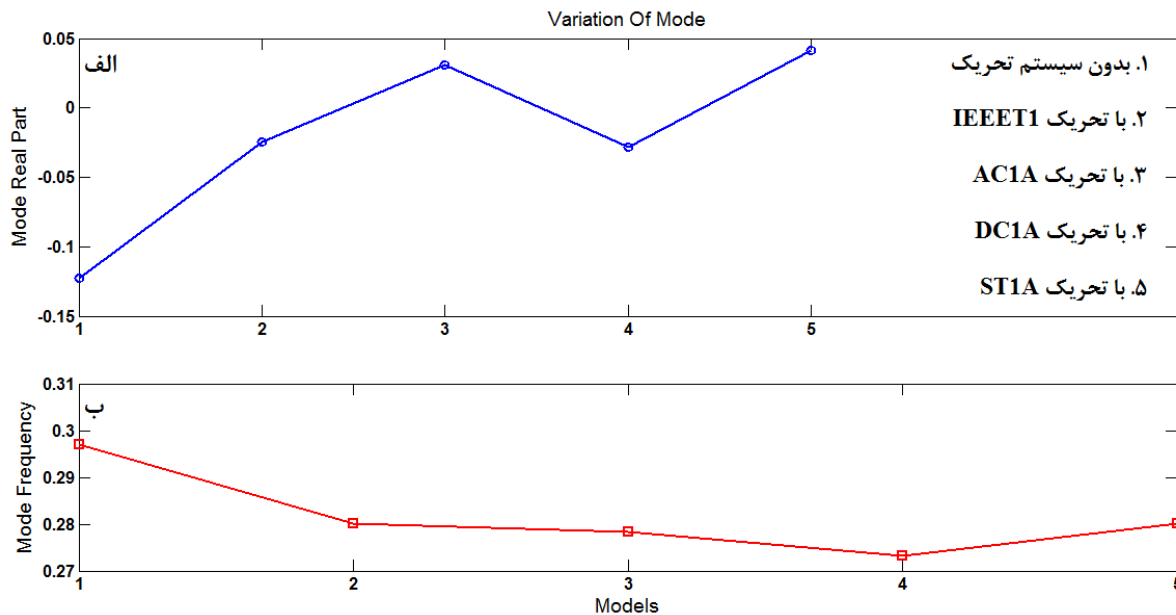
۱-۲-۲-۴ تأثیر مدل‌های مختلف سیستم تحریک بر روی مد بین ناحیه‌ای شبکه‌ی ۴

ماشینه

تغییرات به وجود آمده در مدل الکترومکانیکی شبکه به دلیل تغییر مدل‌های تحریک به صورت جدول‌بندی و نمایش گرافی در ادامه آورده شده است. همان طور که مشاهده می‌کنید تأثیر عدم قطعیت در مدل تحریک در شبکه ۴ ماشینه کمتر از حالت تک ماشین می‌باشد. در این شبکه مدها برای ۲ مدل تحریک ناپایدار می‌باشند ولی در شبکه‌ی تک ماشین در هر ۴ مدل، مدل بین‌ناحیه‌ای ناپایدار بوده است. همچنین مقدار حقیقی آن نیز نسبت به حالت قبل بسیار کوچک‌تر می‌باشد. بطوریکه در هنگام استفاده از مدل تحریک مقدار حقیقی مدل الکترومکانیکی از $0/8$ در شبکه‌ی تک ماشین به مقدار $0/03$ در شبکه‌ی ۴ ماشینه AC1A کاهش یافته است. با این حال نمی‌توان از تأثیر عدم قطعیت در مدل تحریک صرف نظر کرد و باید برای اطمینان از نتایج آنالیز پایداری، در مدل‌سازی‌ها از مدل دقیق سیستم تحریک استفاده شود.

جدول ۲۰-۴ : نتایج تأثیر تغییرات مدل‌های تحریک بر مدل الکترومکانیکی سیستم ۴ ماشینه

Sys Without AVR	قسمت حقیقی	قسمت موهومی	فرکانس	پریود زمانی	ضریب میرایی
Mode 00026	-0.1224857	1.865883	0.2969644	3.367407	0.0655039
Mode 00027	-0.1224857	-1.865883	0.2969644	3.367407	0.0655039
Sys With AVR IEEET1	قسمت حقیقی	قسمت موهومی	فرکانس	پریود زمانی	ضریب میرایی
Mode 00032	-0.0249006	1.760582	0.2802053	3.568812	0.014142
Mode 00033	-0.0249006	-1.760582	0.2802053	3.568812	0.014142
Sys With AVR AC1A	قسمت حقیقی	قسمت موهومی	فرکانس	پریود زمانی	ضریب میرایی
Mode 00034	0.0312336	1.748277	0.278247	3.593929	-0.0178625
Mode 00035	0.0312336	-1.748277	0.278247	3.593929	-0.0178625
Sys With AVR DC1A	قسمت حقیقی	قسمت موهومی	فرکانس	پریود زمانی	ضریب میرایی
Mode 00034	-0.0285391	1.717199	0.2733007	3.658974	0.0166173
Mode 00035	-0.0285391	-1.717199	0.2733007	3.658974	0.0166173
Sys with AVR ST1A	قسمت حقیقی	قسمت موهومی	فرکانس	پریود زمانی	ضریب میرایی
Mode 00030	0.0411859	1.759752	0.2800733	3.570494	-0.023398
Mode 00031	0.0411859	-1.759752	0.2800733	3.570494	-0.023398



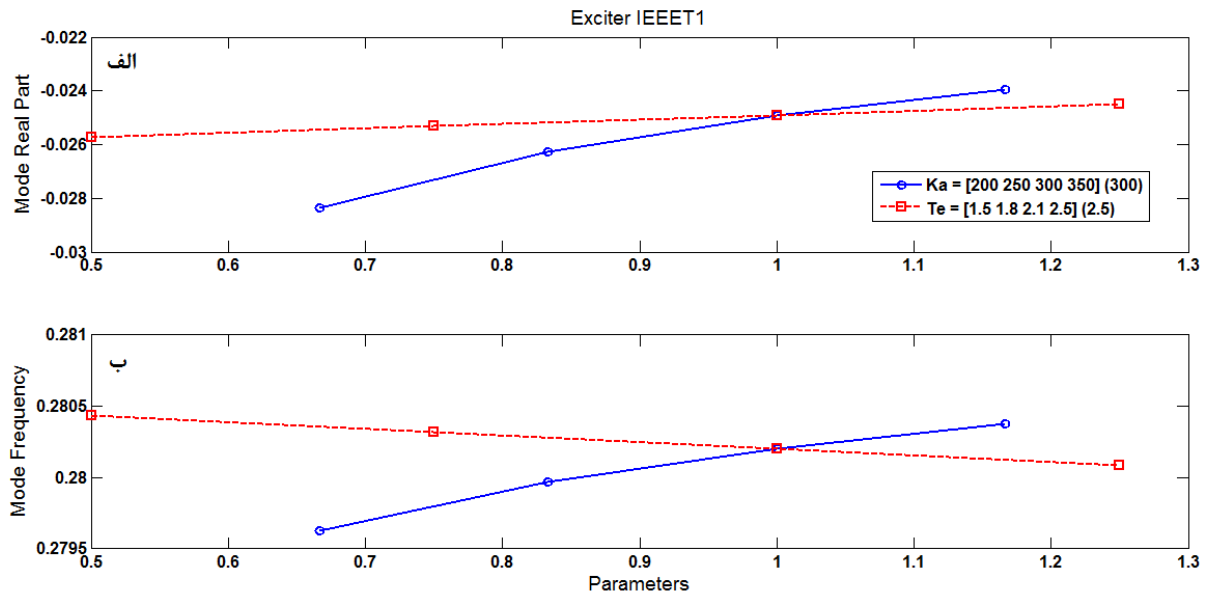
شکل ۹-۴ : نرخ تغییرات مد شبکه ۴ ماشینه برای مدل‌های مختلف تحریک. الف- قسمت حقیقی مد. ب- فرکانس مد.

۲-۲-۲-۴ تأثیر پارامترهای مختلف سیستم تحریک بر روی مد بین ناحیه‌ای شبکه‌ی ۴

ماشینه

نتایج مربوط به تغییر قسمت حقیقی و فرکانس مد بین ناحیه‌ای به دلیل تغییر در پارامترهای سیستم‌های تحریک IEEET1، AC1A، DC1A و ST1A به ترتیب در جدول‌های ۲۱-۴ تا ۲۴-۴ آورده شده است. همچنین برای درک بهتر گراف‌های مربوط به تغییرات مد در شکل‌های ۱۰-۴ تا ۱۳-۴ نمایش داده شده است. همان‌طور که از گراف‌ها مشخص است فرکانس مد تأثیر ناچیزی از تغییر پارامترها دریافت کرده است که صرف نظر کردن از این تغییر قابل قبول می‌باشد و همانند شبکه‌ی تک ماشین عدم قطعیت در پارامترهای تحریک بر روی فرکانس مد بی‌تأثیر می‌باشد. در مورد قسمت حقیقی مد وضعیت متفاوت می‌باشد. در بعضی سیستم‌های تحریک، تغییر پارامتر سبب می‌شود مد الکترومکانیکی از حالت پایدار به سمت مرز ناپایداری حرکت می‌کنند و یا ناپایدارتر می‌شود که نشان از تأثیرپذیری آن از تغییر پارامترها و یا همان عدم قطعیت در آن‌ها دارد. این در حالی است که نرخ تغییرات قسمت حقیقی مد در شبکه‌ی ۴ ماشینه کمتر از شبکه‌ی تک ماشینه می‌باشد. علت این امر را می‌توان افزایش متغیرهای شبکه و کاهش اثرگذاری متغیرهای مکانیکی بر روی مد الکترومکانیکی شبکه دانست.

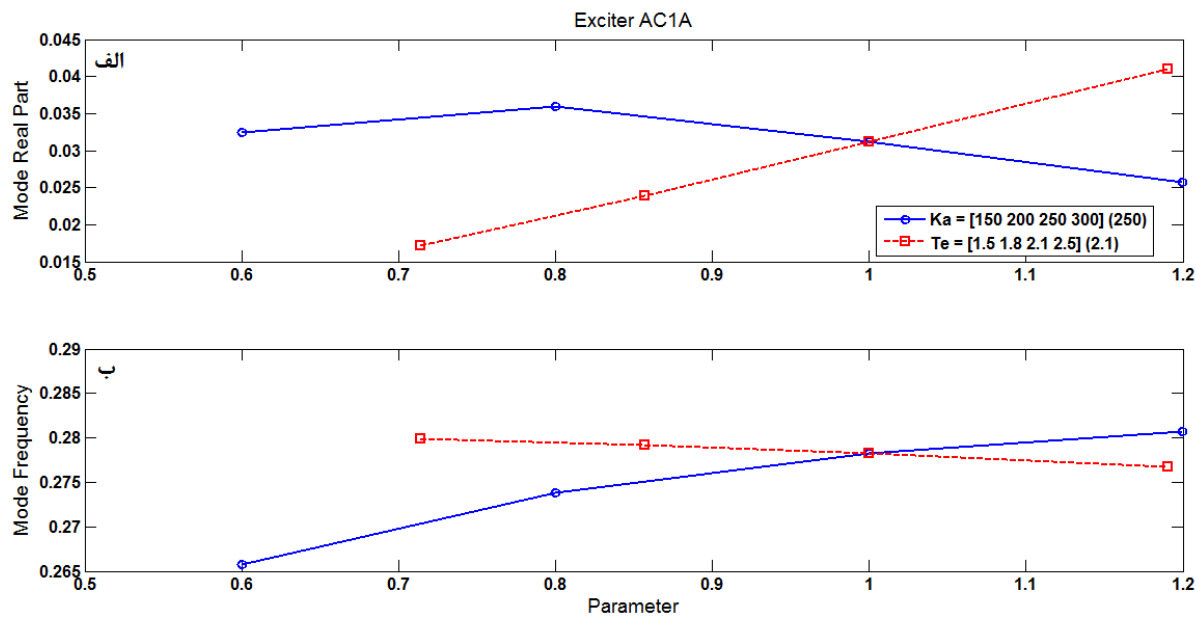
بدین ترتیب همانند شبکه تک ماشینه باید گفت قسمت حقیقی مد و پایداری متأثر از عدم قطعیت در پارامترهای اکسایتر می‌باشند و برای اطمینان از نتایج آنالیز پایداری بهتر است از پارامترهای دقیق آن استفاده شود.



شکل ۱۰-۴ : اثر تغییر پارامترهای سیستم تحریک IEEET1 بر روی مد بین ناحیه‌ای. а: قسمت حقیقی مد. б: فرکانس مد.

جدول ۲۱-۴ : تغییرات مد بین ناحیه‌ای بر مبنای تغییر در پارامترهای سیستم تحریک IEEET1

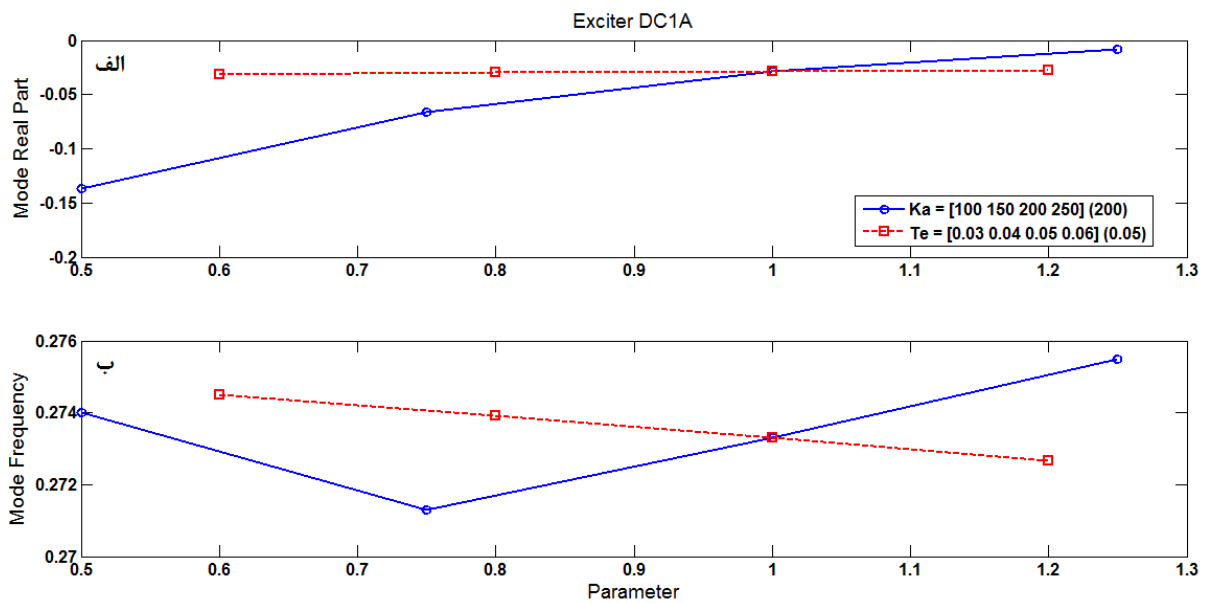
تغییرات پارامترهای سیستم تحریک		قسمت حقیقی مد	فرکانس مد
نهره تنظیم کننده و لاز (K _a)	200	-0.02836	0.2796271
	250	-0.02626	0.27997
	300	-0.0249	0.2802053
	350	-0.02395	0.2803764
تیز زنگ و چریک (T _e)	0.1	-0.02572	0.2804352
	0.15	-0.02531	0.2803208
	0.2	-0.0249	0.2802053
	0.25	-0.02449	0.2800885



شکل ۱۱-۴ : اثر تغییر پارامترهای سیستم تحریک AC1A بر روی مد بین ناحیه‌ای. الف: قسمت حقیقی مد. ب: فرکانس مد.

جدول ۲۲-۴ : تغییرات بین ناحیه‌ای بر مبنای تغییر در پارامترهای سیستم تحریک AC1A

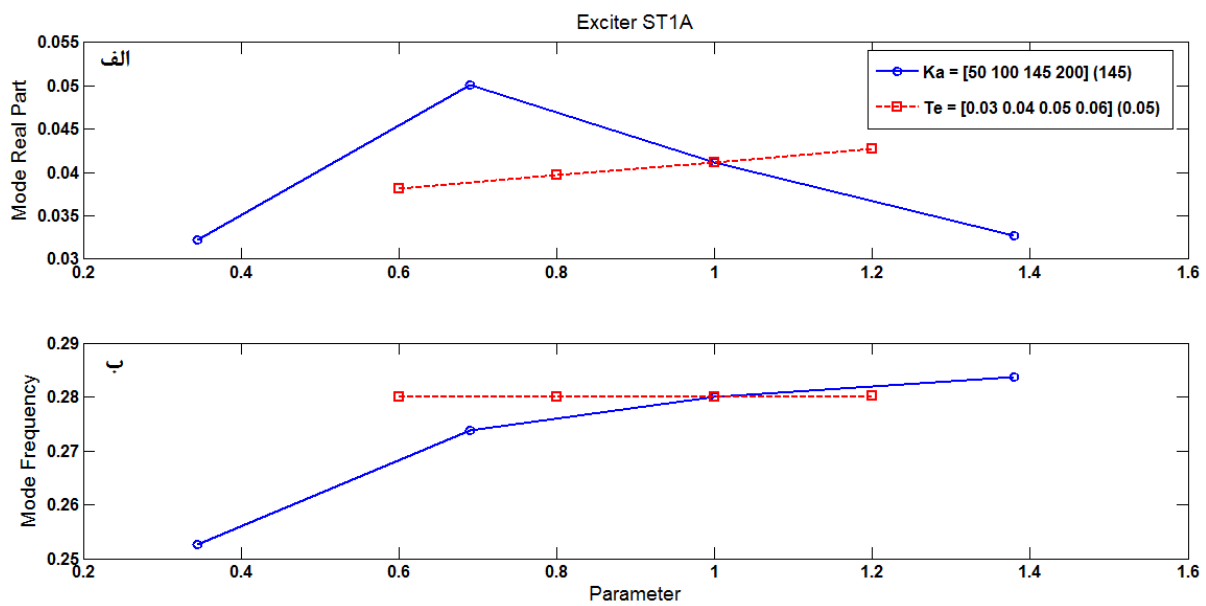
تغییرات پارامترهای سیستم تحریک		قسمت حقیقی مد	فرکانس مد
نموده تنظیمه کننده ولتاژ (K_a)	150	0.03247381	0.265705
	200	0.03595031	0.2738371
	250	0.0312336	0.278247
	300	0.02572827	0.2807569
نموده زمانی سیستم تحریک (T_e)	1.5	0.01713898	0.2798752
	1.8	0.02397153	0.2791619
	2.1	0.0312336	0.278247
	2.5	0.04101442	0.2767189



شکل ۱۲-۴ : اثر تغییر پارامترهای سیستم تحریک DC1A بر روی مد بین ناحیه‌ای. الف: قسمت حقیقی مد. ب: فرکانس مد.

جدول ۲۳-۴ : تغییرات مد بین ناحیه‌ای بر مبنای تغییر در پارامترهای سیستم تحریک DC1A

تغییرات پارامترهای سیستم تحریک		قسمت حقیقی مد	فرکانس مد
تجزیه کننده و نتایج تجزیه (K _a)	100	-0.1366806	0.273993
	150	-0.06640712	0.271305
	200	-0.02853908	0.273301
	250	-0.00837008	0.275501
<hr/>			
ثبت زمانی تحریک (T _e)	0.03	-0.03129121	0.2745
	0.04	-0.02992039	0.27391
	0.05	-0.02853908	0.273301
	0.06	-0.02714827	0.27267



شکل ۱۳-۴ : اثر تغییر پارامترهای سیستم تحریک ST1A بر روی مد بین ناحیه‌ای. الف: قسمت حقیقی مد. ب: فرکانس مد.

جدول ۲۴-۴ : تغییرات مد بین ناحیه‌ای بر مبنای تغییر در پارامترهای سیستم تحریک ST1A

تغییرات پارامترهای سیستم تحریک		قسمت حقیقی مد	فرکانس مد
نحوه تنظیم کننده ولتاژ (K_a)	50	0.03223482	0.252565
	100	0.05009263	0.273747
	145	0.04118587	0.280073
	200	0.0326804	0.283637
<hr/>			
ثبت زمانی تنظیم کننده ولتاژ (T_a)	0.03	0.03817382	0.279976
	0.04	0.03967436	0.280025
	0.05	0.04118587	0.280073
	0.06	0.04270846	0.280122

۴-۲-۳ نتایج مطالعات در شبکه دو ناحیه‌ای ۴ ماشینه

نتایج این بخش بر مبنای جدول‌ها، گراف‌ها و مطالب ارائه شده در قسمت‌های قبل به صورت زیر مرتب می‌شود:

۱- عدم قطعیت در مدل سیستم‌های تحریک که به صورت استفاده از سیستم‌های مختلف تحریک در بررسی‌ها نشان داده شده است، تأثیر ناچیزی بر فرکанс مد الکترومکانیکی داشته است و قابل

صرف نظر می‌باشد.

۲- فرکанс مد الکترومکانیکی در اثر اعمال پارامترهای مختلف برای هر سیستم تحریک مشخص، تغییرات بسیار ناچیز و قابل چشم‌پوشی داشته است.

۳- با توجه به بندهای بالا فرکанс مد الکترومکانیکی مستقل از عدم قطعیت در اطلاعات مدل و پارامترهای سیستم تحریک است.

۴- قسمت حقیقی مد الکترومکانیکی که شاخص پایداری محسوب می‌شود، در اثر اعمال مدل‌های مختلف تحریک، بازه‌ی تغییرات ۰/۱۶ را تجربه می‌کند. این میزان تغییر مقدار قابل توجهی است و نمی‌توان از آن صرف نظر کرد.

۵- تغییرات قسمت حقیقی مد بین ناحیه‌ای در مقایسه با مقدار مبنای آن قابل صرف نظر نیست و برای اطمینان از نتایج آنالیز پایداری بهتر است مقادیر صحیح پارامترها اعمال شود.

۶- پایداری سیگنال کوچک شبکه بر مبنای قسمت حقیقی مد بین ناحیه‌ای وابسته به مدل و پارامترهای سیستم تحریک می‌باشد و عدم قطعیت در هر کدام از این دو سبب عدم اطمینان در نتایج پایداری خواهد شد.

۷- تغییرات مد الکترومکانیکی در شبکه‌ی ۴ ماشینه نسبت به حالت تک ماشینه به شدت کاهش یافته است. انتظار داریم در شبکه‌های بزرگ‌تر مانند شبکه کشور این تغییرات بسیار کوچک‌تر و قابل صرف نظر کردن باشند.

فصل ۵

بررسی اثر عدم قطعیت در اطلاعات سیستم‌های

تحریک بر شیفت فاز جبران سازی

۱-۵ مقدمه

همان‌طور که گفته شد مقدار زاویه‌ی جبران سازی با تأثیرپذیری مستقیم از عدم قطعیت در اطلاعات سیستم تحریک می‌تواند بر روی تنظیم PSS اثر بگذارد. در این بخش قصد داریم با بررسی مقدار زاویه‌ی جبران سازی پس فاز در مدل‌ها و پارامترهای مختلف تحریک در مورد اثرباری فاز جبران سازی از عدم قطعیت مذکور اظهار نظر کنیم.

همچنین با توجه به استفاده از مدل‌های تحریک متناوب و استاتیک در سیستم اکسایتر امروزی و جایگزینی مدل‌های مستقیم با این مدل‌ها، آنالیزها و بررسی‌ها بر روی انواع سیستم‌های تحریک استاندارد این دو مدل ارائه شده است. نتایج و تحلیل‌ها در زیر بخش‌های مربوط به سیستم‌های تحریک متناوب و استاتیک ارائه شده است. در هر زیر بخش ابتدا تأثیر پارامترهای مختلف تحریک بر روی شیفت فاز مدل سنجیده می‌شود، سپس در مورد امکان سنجی تنظیم و طراحی رویاست PSS در مدل‌های مختلف سیستم تحریک متناوب بحث خواهد شد و در مورد اثر این مدل‌ها بر روی زاویه جبران سازی اظهار نظر خواهیم کرد.

در مطالعات افزایش میرایی مدهای الکترومکانیکی از پایدارساز سیستم قدرت مدل PSS1A با ورودی انحراف سرعت استفاده شده است. اصول عملکرد بهینه آن بر طبق نکات و معادلات ارائه شده در بخش ۴-۳ می‌باشد. شبکه‌ی تست مورد استفاده همان سیستم نمونه دو ناحیه‌ای ۴ مашینه شکل ۸-۴ است.

۲-۵ سیستم‌های تحریک متناوب

۱-۲-۵ بررسی تأثیر پارامترها بر روی شیفت فاز مدل‌های سیستم تحریک متناوب

به منظور دست یافتن به نتایجی جامع، از مدل‌های متنوع تحریک متناوب در بررسی‌ها سود برده‌ایم. مدل‌های در این بخش بررسی خواهند شد عبارتند از مدل A، AC1A، AC2A، AC3A، AC4A، AC5A و AC6A و AC8B . در این مدل‌ها ابتدا با ساده‌سازی و بدست آوردن تابع تبدیل تحریک، با استفاده از حل رابطه (۳-۵) در فرکانس مورد نظر، مقدار شیفت فاز تابع تبدیل GEP به منظور جبران سازی را بدست خواهیم آورد. سپس تأثیر تغییر پارامترهای استفاده شده در هر یک از مدل‌ها بر روی شیفت فاز را بررسی خواهیم کرد.

۱-۱-۲-۵ سیستم تحریک مدل AC1A

در شکل ۹-۲ نمای تک خطی مدل تحریک متناوب نوع ۱ نمایش داده شده است. برای محاسبه‌ی زاویه‌ی جبران سازی نیازمند محاسبه‌ی تابع تبدیل سیستم تحریک می‌باشیم. بنابراین باید ابتدا مدل را ساده کنیم. در مطالعات پایداری سیگنال کوچک از بلوک‌های مزایده‌ای و حدود اعمالی برای سایر بلوک‌ها صرف نظر می‌کنیم و بقیه ورودی‌ها به غیر از ورودی پایدارساز را صفر در نظر می‌گیریم [۱]. با حذف بلوک‌های مزايده‌ای و حدود اعمالی، مدل تحریک بسیار ساده‌تر خواهد شد ولی همان‌طور که از شکل ۹-۲ مشخص است در انتهای مدل شاهد ضرب کننده‌ای می‌باشیم که بدست آوردن تابع تبدیل از روابط معمول را برای ما دشوار خواهد کرد. همان‌طور که قبلاً نیز گفته‌ایم، این ضرب کننده نشان‌دهنده اثر افت ولتاژ خروجی تحریک به سبب وقوع کمotaسیون در یکسو ساز می‌باشد. بر طبق مباحث مطرح شده در بخش ۲-۴-۲ این

ضرب کننده با اعمال عددی کوچک‌تر از ۱ تأثیر کمotaسیون بر روی خروجی تحریک را نمایش می‌دهد. با توجه به اینکه در بحث تنظیم PSS زاویه پس فازی ایجاد شده در مسیر سیستم تحریک مهم می‌باشد و این ضرب کننده تنها عددی صحیح در خروجی اعمال می‌کند می‌توان از آن صرف نظر کرد. جدا از این تحلیل، زمانی که تابع تبدیل را برای ورودی PSS محاسبه می‌کنیم باید سایر ورودی‌ها را صفر قرار دهیم که در این صورت با صفر کردن ورودی جریان تحریک (I_{FD}) خروجی بلوک Fex برابر با ۱ خواهد بود که در خروجی مدل بی‌تأثیر خواهد بود. از سوی دیگر نیز اگر اثر کمotaسیون را ناچیز در نظر بگیریم، با توجه به مطالعه مذکور در مرجع [۳۹]، ضرب کننده مجددًا عدد ۱ را در خروجی تحریک ضرب خواهد کرد که تأثیری در فاز تابع تبدیل نخواهد داشت.

در دیاگرام مدل تحریک AC1A شاهد حضور بلوک اشباع که یک مؤلفه‌ی غیر خطی محسوب می‌شود، هستیم. برای در نظر گرفتن اثر بلوک اشباع در تابع تبدیل مدل، ابتدا می‌بایست آن را خطی کنیم. به طور معمول تابع اشباع به صورت یک تابع نمایی بیان می‌شود و برای خطی سازی آن فرآیند زیر را دنبال خواهیم کرد:

$$S_E(E_{FD}) = A_{sat} \times \exp(B_{sat} \times E_{FD})$$

$$\Delta S_E = \frac{dS_E}{dE_{FD}} \times \Delta E_{FD} \quad (1-5)$$

$$S_E(E_{FD}) = B_{sat} \times A_{sat} \times \exp(B_{sat} \times E_{FD0})$$

که در آن E_{FD} خروجی تحریک می‌باشد که به صورت ورودی بلوک اشباع در نظر گرفته شده است، A_{sat} و B_{sat} ثابت‌هایی وابسته به مشخصه‌ی اشباع در حالت بی‌باری و E_{FD0} مقدار اولیه ولتاژ خروجی تحریک می‌باشد [۱]. در روابط بالا E_{FD} همان V_E در دیاگرام ۹-۲ است.

هدف ما یافتن رنج تغییرات شیفت فازی تابع تبدیل GEP برای فرکانس‌های مختلف است. با داشتن تابع تبدیل در حوزه‌ی لاپلاس و جایگذاری $s = j\omega$ ، برای فرکانس‌های مختلف این مقدار بدست می‌آید. سپس با محاسبه‌ی تغییر ایجاد شده در شیفت فاز به سبب تغییر در پارامترهای مدل، حساسیت آن

را به عدم قطعیت در پارامترهای مدل تحریک محاسبه خواهیم کرد. مقدار حساسیت شیفت فاز از رابطه زیر

محاسبه می‌شود:

$$S = \frac{\phi_2 - \phi_1}{abs(\phi_1)} * 100 \quad (2-5)$$

در رابطه‌ی بالا ϕ_1 مقدار اولیه زاویه برای عدم تغییر در پارامتر و ϕ_2 مقدار جدید زاویه به سبب تغییر در پارامتر می‌باشد. در واقع این رابطه مقدار پریونیت اختلاف فاز می‌باشد که به درصد بیان شده است. در رابطه‌ی حساسیت برای مشخص شدن راستای تغییرات، عبارت بالای کسر بر روی اندازه‌ی مقدار اولیه فاز تقسیم می‌شود.

با توجه به مدل AC1A می‌توان تأثیر پارامترهای آورده شده در جدول ۱-۵ را بر روی شیفت فاز مورد بررسی و تحلیل قرار داد.

جدول ۱-۵ : مقادیر پارامترهای موثر در مدل AC1A

پارامترها		مقادیر نوعی	+٪/۱۰	-٪/۱۰
بهره تنظیم‌کننده ولتاژ	Ka	250	275	225
ثابت زمانی تنظیم‌کننده ولتاژ	Ta	0.003	0.0033	0.0027
ثابت زمانی فیلتر مشتقی	Tc	0.09	0.099	0.081
زمان تأخیر فیلتر	Tb	0.02	0.022	0.018
ثابت زمانی پایدارساز تحریک	Tf	1	1.1	0.9
ثابت زمانی سیستم تحریک	Te	2.1	2.31	1.89

برای تمام پارامترها تغییری $\pm 10\%$ درصد در نظر گرفته شده و مقادیر حساسیت فاز با توجه به مد بین ناحیه‌ای شبکه‌ی ۴ ماشینه در فرکانس ۰/۲۷ هرتز محاسبه شده است. جدول‌های ۲-۵ و ۳-۵ به ترتیب مقدار تغییر فاز و حساسیت شیفت فاز تابع تبدیل GEP به همراه مدل AC1A را برای ۱۰ درصد تغییر در پارامترهای مدل تحریک در فرکانس ۰/۲۷ هرتز نشان می‌دهند. با توجه به جدول ۳-۵ مقدار حساسیت شیفت فاز برای پارامترهای بهره تنظیم‌کننده ولتاژ و ثابت زمانی‌های تحریک و فیلتر دیفرانسیلی نسبت به

سایر پارامترها بیشتر بوده است. با این حال با توجه به جدول ۲-۵ بیشترین مقدار حساسیت، تغییری کمتر از ۱ درجه را در شیفت فاز ایجاد کرده است که صرف نظر کردن از آن قابل قبول است.

جدول ۲-۵ : مقدار تغییر فاز به سبب تغییر پارامترهای مدل AC1A در فرکانس ۰/۲۷ هرتز

	F=0.27	10% Variation	-10% Variation
Ka	-4.98285884	-4.509386	-5.58276829
Ta	-4.98285884	-4.97767133	-4.98804586
Tc	-4.98285884	-5.12109107	-4.8404207
Tb	-4.98285884	-4.94882417	-5.01687076
Tf	-4.98285884	-4.95028263	-5.01608844
Te	-4.98285884	-5.20917456	-4.76493866

جدول ۳-۵ : مقدار حساسیت شیفت فاز نسبت به تغییر پارامترهای مدل AC1A

F=0.27	10% Variation	-10% Variation
Ka	9.502031 %	-12.03946 %
Ta	0.104107 %	-0.104097 %
Tc	-2.77415 %	2.858562 %
Tb	0.683034 %	-0.682578 %
Tf	0.653765 %	-0.666878 %
Te	-4.54188 %	4.373396 %

بر پایه جدول‌های ارائه شده در بالا و مطالب بیان شده در می‌یابیم شیفت فاز جبران سازی مستقل از عدم قطعیت در پارامترهای سیستم تحریک مدل AC1A است.

۲-۱-۲-۵ سیستم تحریک مدل AC2A

دیاگرام تک خطی مدل AC2A در فصل ۲ و شکل ۱۰-۲ آورده شده است. این مدل بسیار شبیه به مدل AC1A می‌باشد و تنها در بلوک‌های کنترلی و حدود اعمالی اندکی متفاوت از مدل نوع ۱ است. این در حالی است که در مطالعات سیگنال کوچک این حدود در نظر گرفته نمی‌شود. از جهت مقادیر نوعی

پارامترها نیز این دو مدل بسیار به یکدیگر نزدیک می‌باشند. بنابراین انتظار داریم نتیجه‌های که از مدل AC2A دریافت می‌کنیم شباهت خوبی با نتایج بالا داشته باشد. پس از ساده سازی مدل AC2A بر اساس نکات بیان شده در بخش قبل و اعمال تغییرات بیان شده برای پارامترها بر طبق جدول ۴-۵، نتایج مربوط به مقدار شیفت فاز و حساسیت آن به تغییر ۱۰ درصدی پارامترها در فرکانس ۰/۲۷ هرتز، به ترتیب در جدول‌های ۵-۵ و ۶-۵ آورده شده است.

جدول ۴-۵ : مقادیر پارامترهای موثر در مدل AC2A و تغییرات اعمال شده

پارامترها		مقادیر نوعی	+٪/۱۰	-٪/۱۰
بهره آمپلی فایر	Ka	250	275	225
ثابت زمانی آمپلی فایر	Ta	0.01	0.011	0.009
ثابت زمانی پیش فاز	Tc	0.09	0.099	0.081
زمان تأخیر پس فاز	Tb	0.02	0.022	0.018
ثابت زمانی پایدارساز تحریک	Tf	1	1.1	0.9
ثابت زمانی سیستم تحریک	Te	2.1	2.31	1.89
بهره کنترلر	Kb	1	1.1	0.9
بهره مسیر پایدارساز	Kh	0.02	0.022	0.018

نتایج جدول ۴-۶ بسیار نزدیک به نتایج AC1A می‌باشد که مورد انتظار نیز بوده است. بهره‌های تنظیم‌کننده ولتاژ (Ka) و کنترلر (Kb) بیشترین مقادیر حساسیت را در شیفت فاز ایجاد می‌کنند که نتیجه‌ی آن حداقل تغییر کمتر از ۱ درجه می‌باشد و قابل صرف نظر است. بدین ترتیب همانند قبل شیفت فاز مستقل از تغییر در پارامترهای سیستم تحریک مدل AC2A می‌باشد.

جدول ۵-۵ : مقدار تغییر فاز به سبب تغییر پارامترهای مدل AC2A در فرکانس ۰/۲۷ هرتز

	F=0.27 hz	10%	-10%
Ka	-4.92336659	-4.45578974	-5.51594508
Ta	-4.92336659	-4.90606974	-4.94065789
Tc	-4.92336659	-5.06275061	-4.7797961
Tb	-4.92336659	-4.88909886	-4.95761168
Tf	-4.92336659	-4.89080673	-4.95656986
Te	-4.92336659	-5.13561992	-4.719015
Kb	-4.92336659	-4.46131403	-5.50896862
Kh	-4.92336659	-4.92953302	-4.9171999

جدول ۶-۵ مقدار حساسیت شیفت فاز نسبت به تغییر پارامترهای AC2A

F=0.27	10%	-10%
Ka	9.49709588 %	-12.0360424 %
Ta	0.35132151 %	-0.35120895 %
Tc	-2.83107123 %	2.91610393 %
Tb	0.69602239 %	-0.69556245 %
Tf	0.66133333 %	-0.67440178 %
Te	-4.31114215 %	4.15064738 %
Kb	9.38489048 %	-11.8943413 %
Kh	-0.12524829 %	0.12525345 %

۳-۱-۲-۵ سیستم تحریک مدل AC3A

دیاگرام بلوکی مدل AC3A در شکل ۱۱-۲ نشان داده شده است. همانند بخش‌های قبل می‌توان با ساده‌سازی مدل تحریک و محاسبه‌یتابع تبدیل آن با استفاده از رابطه‌های (۳-۵) و (۲-۵) مقدار شیفت فاز و حساسیت آن نسبت به تغییر $\pm 10\%$ درصدی در پارامترها را بدست آورد. توجه داشته باشید که در این مدل بهره پایدارساز تحریک خاصیت غیر خطی دارد و با توجه به مقدار خروجی تحریک دو مقدار را برای بهره در نظر می‌گیرد. ولی از آنجایی که این دو مقدار در مقادیر نوعی پارامترهای تحریک یکی انتخاب شده‌اند بنابراین در هر حالت خروجی تحریک، بهره پایدارساز سیستم تحریک عدد ثابتی خواهد داشت و می‌توان این بلوك را به صورت یک بهره‌ی ثابت در نظر گرفت. بر اساس مدل AC3A پارامترهای موثری که باید اثر آن‌ها بر روی شیفت فاز بررسی شود به همراه تغییرات اعمالی آن‌ها در جدول زیر آورده شده‌اند.

جدول ۷-۵ : مقادیر پارامترهای موثر در مدل AC3A و تغییرات اعمال شده

پارامترها		مقادیر نوعی	+٪/۱۰	-٪/۱۰
بهره آمپلی‌فایر	Ka	100	110	90
ثابت زمانی آمپلی‌فایر	Ta	0.01	0.011	0.009
ثابت زمانی فیلتر مشتق	Tc	0.09	0.099	0.081
زمان فیلتر تأخیر	Tb	0.02	0.022	0.018
ثابت زمانی مسیر پایدارساز	Tf	1	1.1	0.9
ثابت زمانی تحریک	Te	2.1	2.31	1.89
بهره تحریک	Ke	0.53	0.583	0.477

مقادیر شیفت فاز و حساسیت آن برای تغییر پارامترها در جدول های ۸-۵ و ۹-۵ نمایش داده شده است.

جدول ۸-۵ مقدار تغییر فاز به سبب تغییر پارامترهای مدل AC3A در فرکانس ۰/۲۷ هرتز

	F=0.27 hz	10%	-10%
Ka	-10.7088714	-9.28111816	-12.6839965
Ta	-10.7088714	-10.6499728	-10.7677101
Tc	-10.7088714	-11.1848238	-10.2147085
Tb	-10.7088714	-10.5914702	-10.826013
Tf	-10.7088714	-10.6531147	-10.7684926
Te	-10.7088714	-11.8768813	-9.68111515
Ke	-10.7088714	-11.2507754	-10.163888

جدول ۹-۵ مقدار حساسیت شیفت فاز نسبت به تغییر پارامترهای مدل AC3A

	F=0.27 hz	10%	-10%
Ka	13.3324343 %	-18.4438216 %	
Ta	0.54999849 %	-0.54943847 %	
Tc	-4.44446868 %	4.61451934 %	
Tb	1.09629861 %	-1.09387463 %	
Tf	0.52065875 %	-0.5567458 %	
Te	-10.9069369 %	9.59724151 %	
Ke	-5.06032755 %	5.08908387 %	

در فرکانس ۰/۲۷ هرتز مانند حالات قبل شیفت فاز نسبت به تغییر بهره تنظیم کننده ولتاژ (Ka) بیشترین حساسیت (۱۸٪-) را دارد و ثابت زمانی تحریک کننده (Te) نیز تأثیری در حدود ۱۰ درصد بروی شیفت فاز می‌گذارد. با این حال حداکثر تغییر شیفت فاز در حدود ۲ درجه می‌باشد که مقداری کوچک است و صرف نظر کردن از آن نمی‌تواند نتایج ما را تحت تأثیر قرار دهد.

۴-۱-۲-۵ سیستم تحریک مدل AC4A

دیاگرام مدل تحریک AC4A که ساده‌ترین مدل تحریک متناوب به حساب می‌آید در شکل ۱۲-۲ نشان داده شده است. با توجه به سادگی آن، ساده سازی و محاسبه‌ی تابع تبدیل آن کار دشواری نخواهد بود. بر این اساس پارامترهای موثر در محاسبه‌ی شیفت فاز به همراه تغییرات ۱۰ درصدی آن‌ها در جدول ۱۰-۵ آورده شده است. با اعمال مقادیر انتخابی برای پارامترها، شیفت فاز و حساسیت آن به تغییر پارامترها به ترتیب در جداول‌های ۱۱-۵ و ۱۲-۵ نمایش داده شده است.

بر طبق نتایج حاصله تغییر پارامترهای سیستم تحریک AC4A تأثیر بسیار ناچیزی بر روی شیفت فاز داشته است و در بدترین حالت تغییر کمتر از ۱ درجه را در آن به وجود آورده است.

جدول ۱۰-۵ : مقادیر پارامترهای موثر در مدل AC4A و تغییرات اعمال شده

پارامترها		مقادیر نوعی	+٪/۱۰	-٪/۱۰
بهره آمپلی‌فایر	Ka	100	110	90
ثابت زمانی آمپلی‌فایر	Ta	0.01	0.011	0.009
ثابت زمانی فیلتر مشتق	Tc	0.2	0.22	0.18
زمان فیلتر تأخیر	Tb	0.05	0.055	0.045

جدول ۱۱-۵ مقدار تغییر فاز به سبب تغییر پارامترهای مدل AC4A در فرکانس ۰/۲۷ هرتز

	F=0.27 hz	10%	-10%
Ka	-5.93114318	-5.40709322	-6.56718300
Ta	-5.93114318	-5.93467698	-5.92761058
Tc	-5.93114318	-5.80826026	-6.04773212
Tb	-5.93114318	-5.95200237	-5.91031824

جدول ۱۲-۵ مقدار حساسیت شیفت فاز نسبت به تغییر پارامترهای مدل AC4A

F=0.27 hz	10%	-10%
Ka	8.83556415 %	-10.7237307 %
Ta	-0.05958041 %	0.05956022 %
Tc	2.07182527 %	-1.96570779 %
Tb	-0.35168918 %	0.35111175 %

۵-۱-۲-۵ سیستم تحریک مدل AC5A

بررسی‌های انجام شده برای مدل‌های قبلی سیستم تحریک را این بار برای مدل تحریک AC5A که در شکل ۲ ۱۳-۲ نشان داده شده است، انجام می‌دهیم. پس از ساده‌سازی مدل و حذف بلوک‌های مزایده‌ای و حدود اعمالی، می‌توان پارامترها و تغییرات $\pm 10\%$ درصدی آن‌ها را به صورت جدول زیر نشان داد. با اعمال مقادیر نوعی و تغییرات پارامترها، مقدار شیفت فاز جبران سازی و حساسیت آن نسبت به تغییر پارامترها در جدول‌های ۱۴-۵ و ۱۵-۵ آورده شده است. با توجه به اینکه مقادیر نوعی پارامترهای ثابت زمانی پیش فاز و پس فاز (Tf2, Tf3) صفر می‌باشد مقادیر حساسیت آن‌ها نیز صفر خواهد بود.

جدول ۱۳-۵ : مقادیر پارامترهای موثر در مدل AC5A و تغییرات اعمال شده

پارامترها		مقادیر نوعی	تغییر $\pm 10\%$	
بهره آمپلی‌فایر	Ka	200	220	180
ثابت زمانی کنترلر	Ta	0.03	0.033	0.027
ثابت زمانی مسیر ۱ پایدارساز	Tf1	3	3.3	2.7
ثابت زمانی مسیر ۲ پایدارساز	Tf2	0	0	0
ثابت زمانی مسیر ۳ پایدارساز	Tf3	0	0	0
ثابت زمانی تحریک	Te	0.8	0.88	0.72
بهره تحریک	Ke	1	1.1	0.9

بر اساس جدول ۱۵-۵ برخلاف سایر مدل‌ها که بهره تنظیم‌کننده ولتاژ حساسیت بالاتری دارا بود، در اینجا ثابت زمانی حلقه‌ی پایدارساز (Tf1) نسبت به سایر پارامترها مقدار حساسیت بیشتری دارد. بر پایه‌ی جدول ۱۴-۵ این حساسیت برای تغییر $\pm 10\%$ درصدی پارامتر، تغییری در حدود ۳ درجه در شیفت فاز به وجود خواهد آورد که مقدار کوچکی می‌باشد و قابل صرف نظر کردن است.

جدول ۱۴-۵ : مقدار تغییر فاز به سبب تغییر پارامترهای مدل AC5A در فرکانس ۰/۲۷ هرتز

	F=0.27 hz	10%	-10%
Ka	-26.5674857	-25.738413	-27.5919304
Ta	-26.5674857	-26.5540432	-26.5809059
Tf1	-26.5674857	-24.3743481	-29.3300708
Tf2	-26.5674857	-26.5674857	-26.5674857
Tf3	-26.5674857	-26.5674857	-26.5674857
Te	-26.5674857	-27.4475219	-25.7654309
Ke	-26.5674857	-28.4993212	-24.5936145

جدول ۱۵-۵ : مقدار حساسیت شیفت فاز نسبت به تغییر پارامترهای مدل AC5A

F=0.27 hz	10%	-10%
Ka	3.12062906 %	-3.85600926 %
Ta	0.05059743 %	-0.05051374 %
Tf1	8.25496833 %	-10.3983689 %
Tf2	0	0
Tf3	0	0
Te	-3.31245573 %	3.01893378 %
Ke	-7.27142771 %	7.42964993 %

با توجه به جدول‌های بالا و مطالب بیان شده می‌توان شیفت فازی را مستقل از تغییر پارامترهای مدل تحریک AC5A دانست و از تأثیر عدم قطعیت در پارامترهای آن بر روی شیفت فاز صرف نظر کرد.

۶-۱-۲-۵ سیستم تحریک مدل AC6A

مدل تحریک AC6A در شکل ۱۴-۲ فصل ۲ نشان داده شده است. مراحل ساده‌سازی مدل همانند حالتهای قبلی می‌باشد و محاسبه‌یتابع تبدیل آن کار دشواری نخواهد بود. پارامترهای موثر در تابع تبدیل و در نتیجه تأثیرگذار در شیفت فازی به صورت جدول ۱۶-۵ ارائه شده‌اند. همان‌طور که پیداست مقدار نوعی پارامتر بهره کنترلر (Kh) برابر با صفر می‌باشد. از شکل ۱۴-۲ در می‌باییم با صفر بودن این پارامتر، دو ثابت زمانی پیش فاز-پس فاز (Tj و Th) در حلقه‌ی فیدبک هیچ تأثیری بر روی تابع تبدیل نخواهند داشت

و حساسیت این ۳ پارامتر صفر خواهد بود. نتایج عددی مقادیر شیفت فاز و حساسیت آن برای فرکانس نوسان ۲۷/۰ هرتز در جدول‌های ۱۷-۵ و ۱۸-۵ آورده شده است.

جدول ۱۶-۵ : مقادیر پارامترهای موثر در مدل AC6A و تغییرات اعمال شده

پارامترها		مقادیر نوعی	+٪/٪	-٪/٪
بهره کنترلر	Ka	420	462	378
ثابت زمانی کنترلر	Ta	0.1	0.11	0.09
ثابت زمانی پس فاز اول	Tb	65.625	72.1875	59.0625
ثابت زمانی پیش فاز اول	Tc	5	5.5	4.5
ثابت زمانی پیش فاز	Tk	0.5	0.55	0.45
ثابت زمانی تحریک	Te	1	1.1	0.9
بهره تحریک	Ke	1	1.1	0.9
ثابت زمانی پیش فاز بلوك میرا کننده	Tj	1	1.1	0.9
بهره بلوك میرا کننده	Kh	0	0	0
ثابت زمانی پس فاز بلوك میرا کننده	Th	1	1.1	0.9

همان‌طور که در جدول ۱۷-۵ نشان داده شده است برای فرکانس ۲۷/۰ هرتز مدل AC6A بیشترین مقدار شیفت فاز را با مقدار ۳۲/۹۵ درجه، دارا می‌باشد. بر اساس جدول ۱۸-۵ پارامترهای بهره تنظیم‌کننده ولتاژ (Ka)، ثابت زمانی پیش فاز (Tc)، پس فاز (Tb) و تحریک (Te) تأثیر بیشتری نسبت به سایر پارامترها بر روی شیفت فاز داشته‌اند. حداکثر حساسیت، اختلاف فازی در حدود ۴ درجه ایجاد کرده است که در مقایسه با مقدار مبنا (۳۲/۹۵) مقدار کوچکی است.

جدول ۱۷-۵ مقدار تغییر فاز به سبب تغییر پارامترهای مدل AC6A در فرکانس ۲۷/۰ هرتز

	F=0.27 hz	10%	-10%
Ka	-32.946003	-29.5064519	-37.1662587
Ta	-32.946003	-33.032523	-32.8613672
Tb	-32.946003	-36.7454099	-29.1678792
Tc	-32.946003	-29.5787117	-37.1167092
Tk	-32.946003	-31.4412196	-34.4905932
Te	-32.946003	-35.7951943	-30.265768
Ke	-32.946003	-33.9488704	-31.8845636
Tj	-32.946003	-32.946003	-32.946003
Kh	-32.946003	-32.946003	-32.946003
Th	-32.946003	-32.946003	-32.946003

جدول ۱۸-۵ مقدار حساسیت شیفت فاز نسبت به تغییر پارامترهای مدل AC6A

F=0.27 hz	10%	-10%
Ka	10.4399647 %	-12.809613 %
Ta	-0.2626114 %	0.25689261 %
Tb	-11.532224 %	11.4676244 %
Tc	10.220637 %	-12.659217 %
Tk	4.5674234 %	-4.6882476 %
Te	-8.6480634 %	8.13523592 %
Ke	-3.0439729 %	3.22175477 %
Tj	0	0
Kh	0	0
Th	0	0

با توجه به نتایج جدول‌های بالا به نظر می‌رسد مستقل بودن شیفت فاز از تغییر پارامترها قابل قبول است.

۷-۱-۲-۵ سیستم تحریک مدل AC8B

شکل ۱۵-۲ در فصل ۲ نمای تک خطی مدل تحریک AC8B را نشان می‌دهد. با بهره‌گیری از قوانین گفته شده در بخش‌های قبل و محاسبه تابع اشباع برای پارامترهای جدید، می‌توان بدون هیچ ابهامی تابع تبدیل سیستم تحریک AC8B را محاسبه کرد. مقادیر نوعی پارامترهای موثر بر شیفت فاز به همراه تغییرات انتخابی ما در جدول ۱۹-۵ آورده شده است.

جدول ۱۹-۵ : مقادیر پارامترهای موثر در مدل AC8A و تغییرات اعمال شده

پارامترها		مقادیر نوعی	+٪/۱۰	-٪/۱۰
بهره کنترلر	Ka	200	220	180
ثابت زمانی کنترلر	Ta	0.02	0.022	0.018
بهره انگرالی	Ki	0.25	0.275	0.225
بهره مشتقی	Kd	0.1	0.11	0.09
ثابت زمانی عملکرد مشتق	Td	0.2	0.22	0.18
ثابت زمانی تحریک	Te	0.35	0.385	0.315
بهره تحریک	Ke	0.5	0.55	0.45
بهره تناسی	Kp	0.2	0.22	0.18

برای این پارامترها مقادیر شیفت فاز و حساسیت آن نسبت به تغییر پارامترها در فرکانس ۲۷/۰ هرتز به ترتیب در جدول‌های ۲۰-۵ و ۲۱-۵ آورده شده است. بیشترین حساسیت در شیفت فاز برای بهره تنظیم‌کننده ولتاژ (Ka)، بهره کنترلر (Kp) و بهره تحریک (Ke) رخ می‌دهد و در بدترین حالت تغییری در حدود ۱ درجه ایجاد می‌کند که مقداری ناچیز می‌باشد و می‌توان از آن صرف نظر کرد.

جدول ۲۰-۵ : مقادیر شیفت فاز به سبب تغییر پارامترهای مدل AC8B در فرکانس ۰/۲۷ هرتز

	F=0.27 hz	10%	-10%
Ka	-7.58879962	-6.80848132	-8.569629
Ta	-7.58879962	-7.56280073	-7.6147709
Ki	-7.58879962	-7.10230103	-8.00591781
Kd	-7.58879962	-7.82629962	-7.24853014
Td	-7.58879962	-7.35309984	-7.8368498
Te	-7.58879962	-7.69953731	-7.4814422
Ke	-7.58879962	-8.3338123	-6.84140087
Kp	-7.58879962	-6.9444698	-8.36307466

جدول ۲۱-۵ : مقدار حساسیت شیفت فاز نسبت به تغییر پارامترهای مدل AC8B

	F=0.27 hz	10%	-10%
Ka	10.2824997 %	-12.9246973 %	
Ta	0.34259554 %	-0.34223174 %	
Ki	6.41074496 %	-5.49649763 %	
Kd	-3.12961229 %	4.48383795 %	
Td	3.10589014 %	-3.26863524 %	
Te	-1.45922538 %	1.41468251 %	
Ke	-9.81726648 %	9.84870838 %	
Kp	8.49053666 %	-10.2028659 %	

۲-۲ نتایج بررسی تأثیر عدم قطعیت در پارامترهای تحریک متناوب بر روی

شیفت فازی

می‌توان با توجه مباحث مطرح شده در این بخش نتایج را به صورت زیر مرتب کرد.

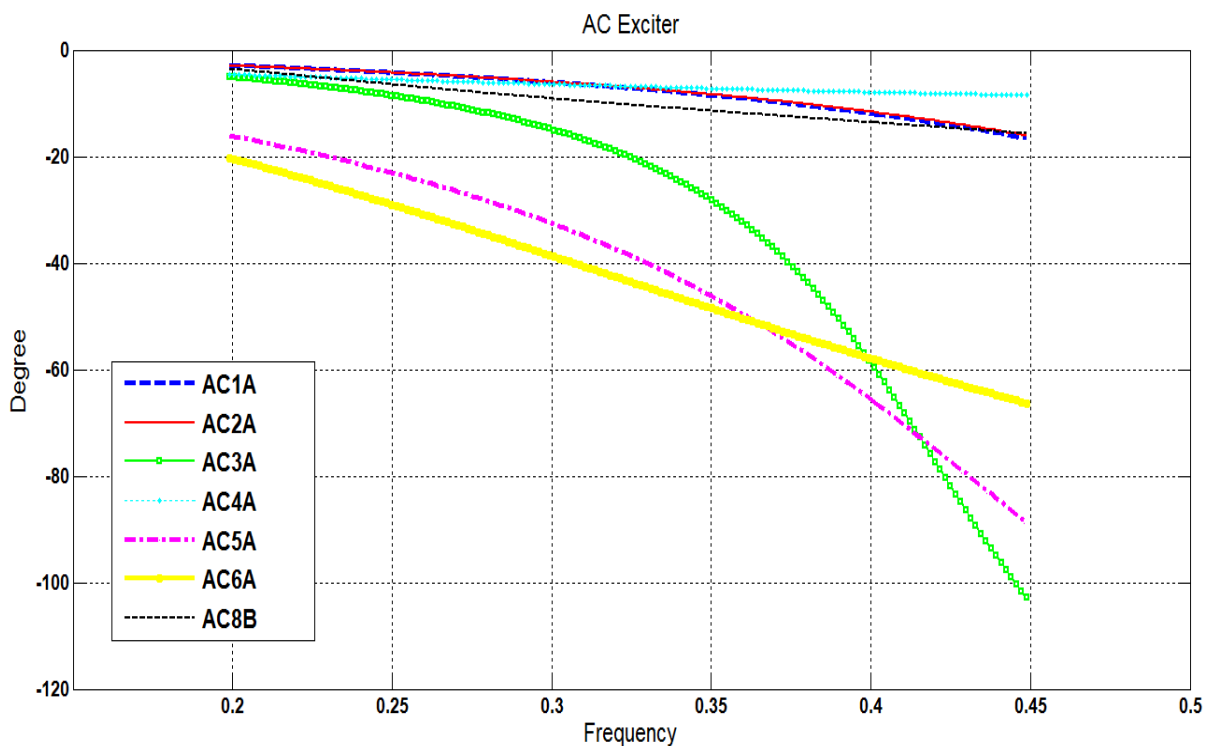
۱. پارامترهایی که بیشترین حساسیت را بر روی شیفت فاز داشته‌اند شامل بهره تنظیم‌کننده ولتاژ و ثابت زمانی‌های فیلتر مشتق می‌باشند که در صورت در دسترس بودن آن‌ها، بهتر است از مقادیر صحیح آن‌ها استفاده شود.
۲. پارامترهایی نظیر بهره پایدارساز سیستم تحریک و ثابت زمانی‌های پس فاز و یا ثابت زمانی‌هایی با مقادیر بسیار کوچک تأثیر ناچیزی بر روی شیفت فاز داشته‌اند و می‌توان از اثر عدم قطعیت در آن‌ها صرف نظر کرد.
۳. با توجه به اینکه بررسی‌ها در شرایط عدم قطعیت اکسایتر انجام شده است و اطلاعات دقیق در دسترس نمی‌باشد می‌توان بطور کلی گفت که تأثیر تغییر پارامترها بر روی شیفت فاز کم می‌باشد و صرف نظر کردن از آن‌ها اثر نامطلوبی بر روی نتایج شیفت فاز نخواهد گذاشت.

۲-۳ امکان سنجی تنظیم PSS در شرایط عدم قطعیت مدل سیستم تحریک

متناوب

در این بخش بررسی اثرگذاری مدل‌های مختلف تحریک متناوب بر روی شیفت فاز را بررسی خواهیم کرد. در واقع اثر عدم قطعیت مدل سیستم تحریک متناوب را بر روی تنظیم PSS بررسی خواهد کرد با توجه به اینکه تنظیم پایدارساز بر مبنای زاویه‌ی جبران سازی انجام می‌شود، نیازمند دانستن این مقدار برای تمام مدل‌های تحریک می‌باشیم. شکل ۱-۵ مکان هندسی شیفت فاز تمام مدل‌های تحریک را در یک منحنی به نمایش در آورده است. به دلیل آنکه در این بخش نیازی به دقت در رنج تغییرات شیفت فاز هر مدل نیست و می‌خواهیم تنها بازه‌ی تغییرات شیفت فاز تمام مدل‌ها در یک منحنی نمایش داده شود از شکل زیر استفاده

شده است. در بخش‌های بعدی برای تشخیص بازه‌ی تغییرات هر مدل از شکل‌های با وضوح بیشتر استفاده خواهیم کرد. با توجه به این شکل، اختلاف بسیار زیادی ما بین منحنی‌ها وجود دارد و به نظر می‌رسد با این شرایط دانستن مدل تحریک با اهمیت می‌باشد. در واقع بعد از تشخیص متناوب بودن سیستم تحریک باید نوع آن نیز تشخیص داده شود. این بدان معنی می‌باشد که عدم قطعیت در مدل سیستم تحریک متناوب از طریق تأثیر بر شیفت فاز به طور مستقیم بر روی تنظیم PSS تأثیر خواهد گذاشت.



شکل ۱-۵ : منحنی مکان هندسی شیفت فاز سیستم‌های تحریک متناوب

مطلوب دیگری که می‌توان از این شکل دریافت مربوط به تعداد مراحل جبران سازی می‌باشد. با توجه به اینکه بهتر است هر بلوک پیش فاز-پس فاز حداقل 60° درجه جبران سازی انجام دهد، بنابراین می‌توان گفت برای مدل‌های AC1A، AC2A، AC3A، AC4A و AC8B جبران سازی تک مرحله‌ای کافی می‌باشد ولی برای سایر مدل‌ها در فرکانس‌های بالاتر از ۴ هرتز، نیازمند جبران سازی دو مرحله‌ای خواهیم بود.

۴-۲-۵ بررسی طراحی روابست PSS

در این بخش جامعیت طراحی صورت گرفته برای یک مدل مشخص را مورد بررسی قرار خواهیم داد. به این معنی که آیا این تنظیم در مدل‌های دیگر نیز پاسخگو خواهد بود یا خیر؟ ابتدا تشابه تنظیم‌ها را بررسی می‌کنیم تا بتوانیم بر پایه این تشابهات مدل‌های دارای تنظیم مشابه را گروه‌بندی کنیم. از آن جایی که تنظیم پایدارساز بر مبنای زاویه‌ی جبران سازی انجام خواهد شد، بنابراین از شیفت فازی مدل‌های تحریک به عنوان شاخصی برای سنجش تشابه مابین مدل‌ها استفاده خواهیم کرد. سپس برای تصدیق گروه‌بندی‌های ارائه، در شبکه‌ی تست ۴ ماشینه به تنظیم PSS می‌پردازیم و اثر آن را بررسی می‌کنیم.

۱-۴-۲-۵ مقایسه تشابه طراحی PSS در مدل‌های تحریک متناوب

با داشتن تابع تبدیل‌های مدل‌های تحریک متناوب در فصل قبل، می‌توانیم برای نقاط کار متفاوت که به وجود آورنده‌ی مدهای نوسانی با فرکانس‌های مختلف است مقدار جبران سازی مورد نیاز را بدست آوریم و در مورد تشابهات این مدل‌ها اظهار نظر کنیم. در واقع می‌خواهیم به این سؤال پاسخ دهیم که اگر PSS را برای مدل تحریکی تنظیم کردیم، آیا همین پارامترهای تنظیمی می‌تواند برای مدل یا مدل‌های دیگر نیز پاسخگو باشد یا خیر؟

بنابراین بر پایه توضیحات بالا ابتدا میزان شیفت فازی را در ۴ مقدار فرکانسی برای تمام مدل‌های تحریک متناوب مقایسه می‌کنیم و سعی خواهیم کرد بر اساس نتایج بدست آمده از مقایسه، گروه‌بندی مناسبی برای مدل‌های تحریک ارائه کنیم. در واقع اگر فرض کنیم که از دید مطالعات ما دو مدل در یک گروه قرار گرفته‌اند به این معنی خواهد بود که تنظیم پایدارساز برای یکی از مدل‌ها در مدل دیگر نیز با تقریب خوبی پاسخگوست و نیازی به تنظیم مجدد نیست. یعنی ما به PSS روابستی دست یافته‌ایم که می‌تواند علاوه بر مدل خود برای مدل یا مدل‌های دیگر نیز پاسخگو باشد.

در جدول ۲۲-۵ مقادیر شیفت فاز تابع تبدیل GEP (معادله ۳-۵) در مدل‌های مختلف تحریک متناوب برای ۴ فرکانس متفاوت در بازه‌ی عملکردی مد بین ناحیه‌ای ($2/0$ هرتز تا $45/0$ هرتز) آورده شده است.

جدول ۲۲-۵ : شیفت فازی مدل‌های مختلف تحریک متناوب در ۴ مقدار فرکانسی

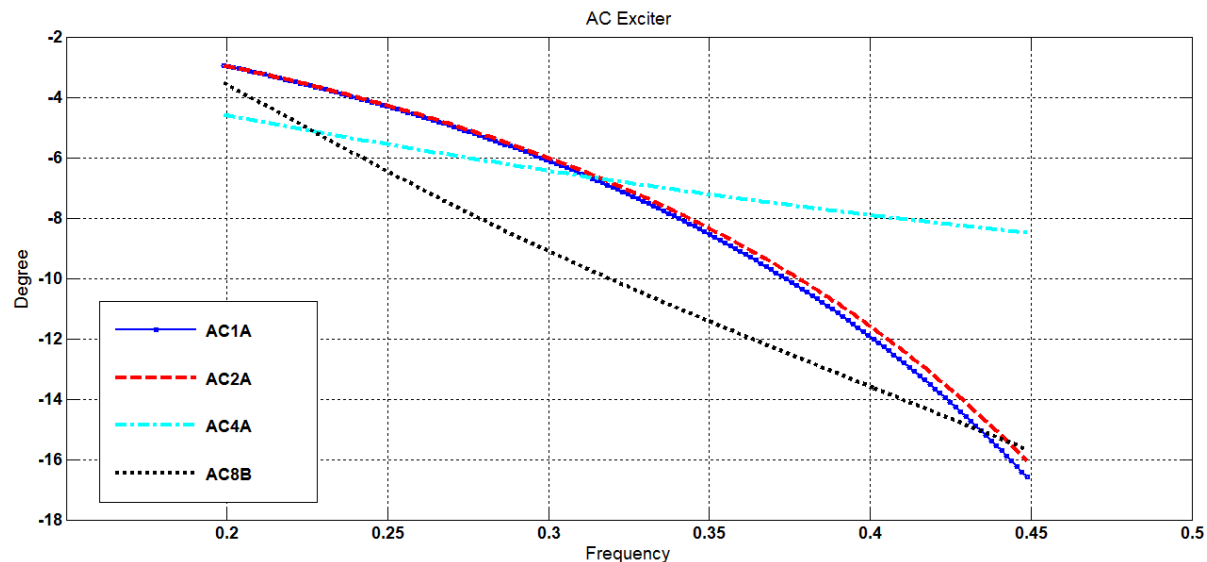
Frequency	0.22 hz	0.27 hz	0.35 hz	0.42 hz
AC1A	-3.4598	-4.9841	-8.5405	-13.6433
AC2A	-3.4452	-4.9246	-8.3433	-13.2259
AC3A	-6.2693	-10.7132	-28.171	-77.1646
AC4A	-4.9863	-5.9318	-7.218	-8.1576
AC5A	-18.6924	-26.5742	-46.1781	-74.851
AC6A	-23.7191	-32.9529	-48.5088	-61.4789
AC8B	-4.7284	-7.5908	-11.4217	-14.4306

با توجه به جدول بالا می‌بینیم که برای مدل‌های AC1A و AC2A مقدار زاویه‌ی جبران سازی در ۴ فرکانس انتخابی ما بسیار به یکدیگر نزدیک می‌باشند و همچنین می‌توان گفت که مدل‌های AC4A و نیز AC8B مقدار شیفت فاز نزدیکی به این دو مدل دارند.

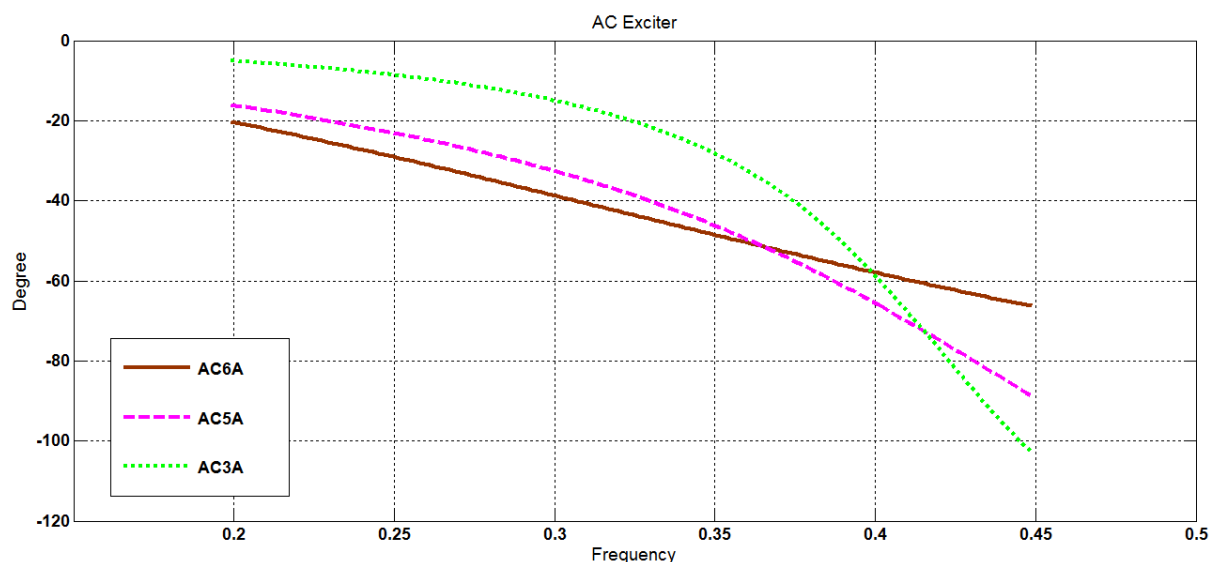
از طرف دیگر برای مدل‌های AC5A و AC6A در فرکانس‌های پایین‌تر مقدار شیفت فازی نزدیکی را مشاهده می‌کنیم، در حالی است که در فرکانس بالاتر به عنوان نمونه $42/0$ هرتز اختلاف فاز آن‌ها به ۱۳ درجه می‌رسد. بر اساس این نتایج نمی‌توان برای مدل AC3A اظهار نظر درستی داشت چرا که در فرکانس‌های پایین جبران سازی کمی دارد ولی برای فرکانس‌های بالاتر این مقدار به شدت افزایش می‌یابد.

بر طبق استدلال‌های بالا می‌توانیم بر اساس زاویه‌ی جبران سازی، مدل‌های AC1A، AC2A، AC4A و AC5A را در یک گروه و مدل‌های AC6A و AC8B را نیز در گروه دیگر قرار دهیم به نظر نمی‌رسد که بتوان برای مدل AC3A گروهی مشخص کرد و PSS اعمالی در این مدل تحریک باید به طور جدا تحلیل و تنظیم شود. شکل‌های ۲-۵ و ۳-۵ تغییرات شیفت فاز مدل‌های مختلف تحریک متناوب را نشان می‌دهد. می‌توان نتایج بدست آمده از جدول ۲۲-۵ را از این شکل‌ها نیز دریافت کرد. برای هر یک از مدل‌های بیان شده در بالا تنظیم PSS را بر پایه روابط موجود در فصل ۳ انجام خواهیم داد. بعد از انجام طراحی، با مقایسه‌ی اندازه‌ی تابع تبدیل پایدارساز سیستم قدرت به نظر می‌رسد می‌توان برای گروه‌بندی بالا نظر

قاطع‌تری داد. تابع تبدیل پایدارساز باید بدون بهره‌ی آن در نظر گرفته شود، زیرا همان‌طور که پیش از این گفته شد بهره‌ی مناسب در شرایط کار بدست خواهد آمد.



شکل ۲-۵ : منحنی مکان هندسی شیفت فاز سیستم‌های تحریک AC8B، AC4A، AC2A، AC1A



شکل ۳-۵ : منحنی مکان هندسی شیفت فاز سیستم‌های تحریک AC3A، AC6A، AC5A

جدول ۲۳-۵ تغییرات اندازه‌ی تابع تبدیل PSS بدون در نظر گرفتن بهره‌ی آن را برای فرکانس‌های دلخواه ما نشان می‌دهد. بر پایه این اطلاعات باید گفت مدل‌های AC1A و AC2A به شدت مشابه یکدیگر می‌باشند و مدل‌های AC8B و AC4A نیز تقریباً اندازه‌های نزدیکی به این دو مدل دارند و می‌توان آن‌ها را

در یک گروه قرار داد. همچنین همانند قبل مدل‌های AC5A و AC6A در فرکانس‌های پایین نزدیکی خوبی نسبت به یکدیگر دارند و می‌توان گفت در این فرکانس‌ها تنظیم PSS مشابه ای خواهد داشت ولی در فرکانس‌های بالاتر همانند قبل که زاویه‌ی جبران سازی متفاوتی داشتند، این بار اندازه‌های متفاوتی خواهد داشت که می‌توان نتیجه گرفت برای شبکه‌ای با مد نوسانی دارای فرکانس‌های تقریباً کوچک‌تر از $4/0$ هرتز تنظیم PSS این دو مدل تنظیم مشابهی خواهد داشت. به نظر می‌رسد همانند قبل مدل AC3A باید به طور جداگانه‌ای تحلیل شود.

جدول ۲۳-۵ : نرخ تغییرات اندازه‌ی تابع پایدارساز در 4 مقدار فرکانسی

Frequency	0.22 hz	0.27 hz	0.35 hz	0.42 hz
AC1A	1.062284847	1.09100513	1.16138792	1.27176093
AC2A	1.062013653	1.089867831	1.15735234	1.26227201
AC3A	1.115874318	1.206929027	1.66991952	8.8903835
AC4A	1.091046975	1.109283975	1.13463641	1.15356866
AC5A	1.394017915	1.618321538	2.48620723	7.52016501
AC6A	1.531633921	1.839971238	2.64008181	3.93451026
AC8B	1.086128409	1.142104956	1.22223362	1.28990363

بنابراین بر پایه بررسی‌های صورت گرفته می‌توان برای مدل‌های مختلف تحریک متناوب گروه‌بندی به صورت جدول ۲۴-۵ ارائه کرد.

جدول ۲۴-۵ : گروه‌بندی مدل‌های تحریک متناوب از لحاظ تشابه در تنظیم

مدل‌های سیستم تحریک متناوب		
فرکانس پایین‌تر از $4/0$ هرتز		فرکانس پایین‌تر از $4/0$ هرتز
AC1A, AC2A, AC4A, AC8B		
AC5A	AC4A	AC5A, AC4A
AC3A		

برای بررسی نتایج و صحت گروه‌بندی انجام شده در این جدول، در این قسمت قصد داریم نتایج طراحی PSS را برای سیستم‌های تحریک متناوب در سیستم ۴ ماشینه ارائه کنیم تا به صحت یا عدم صحت آن پی ببریم.

۲-۴-۲-۵ سیستم تحریک متناوب مدل AC1A

با اعمال مدل تحریک AC1A نتایج آنالیز مдал به صورت جدول ۲۵-۵ نشان داده شده است. نتایج تنها برای مدبین ناحیه‌ای سیستم که در مطالعه پایداری از اهمیت خاصی برخوردار است ارائه می‌شود.

جدول ۲۵-۵ : آنالیز مдал شبکه‌ی ۴ ماشینه برای سیستم تحریک AC1A

	قسمت حقیقی	قسمت موهومی	فرکانس	ضریب میرایی
Mode 00034	0.0312337	1.748277	0.278247	-0.01786256
Mode 00035	0.0312337	-1.748277	0.278247	-0.01786256

باید برای مدبین ناپایدار شبکه با فرکانس ۰/۲۷۸ هرتز تنظیم PSS را انجام دهیم. بر طبق نتایج فصل ۴ مبنی بر اینکه مدل‌های تحریک در فرکانس مد الکترومکانیکی تأثیر چندانی نخواهند گذاشت انتظار می‌رود برای سایر مدل‌ها نیز مدبی با چنین فرکانسی را به عنوان مدبین ناحیه‌ای داشته باشیم. در نتیجه به طور قراردادی برای تمام مدل‌ها، تنظیم PSS را در فرکانس ۰/۲۷ هرتز انجام خواهیم داد.

حال با داشتن فرکانس، با استفاده از روابط فصل ۳، نتایج تنظیم پایدارساز برای تمام مدل‌های سیستم تحریک متناوب در جدول ۲۶-۵ آورده شده است. این جدول نیز می‌تواند گروه‌بندی که در بخش قبل به آن دست یافته‌ایم را تصدیق کند. توجه داشته باشید که بهره پایدارساز برای دست‌یابی به پایداری بهینه می‌بایست در شرایط کار تعیین شود و مقدار بدست آمده در جدول ۲۶-۵، یک مقدار اولیه می‌باشد.

بر اساس آنالیز مشارکت برای تمام مدل‌ها، مکان مناسب نصب پایدارساز ژنراتور شماره ۳ می‌باشد. این نکته نشان‌دهنده عدم تأثیرپذیری موقعیت‌یابی PSS از تغییر در مدل و یا پارامترهای سیستم تحریک می‌باشد. از قبل نیز انتظار چنین نتیجه‌ای را داشتیم چرا که موقعیت‌یابی بر مبنای آنالیز ضرایب مشارکت و تحت تأثیر

متغیرهای مکانیکی سیستم بدست خواهد آمد. حال آنکه تغییر متغیرهای الکتریکی سیستم تحریک تأثیری بر روی نتایج موقعیت یابی پایدارساز نخواهد گذاشت.

جدول ۲۶-۵ : مقادیر تنظیمی پارامترهای پایدارساز برای تمام مدل‌های سیستم تحریک متناوب

فرکانس : ۰/۲۷ هرتز	ثبت زمانی پیش فاز	ثبت زمانی پس فاز	بهره پایدارساز
AC1A	0.64287239	0.540490369	9.371542668
AC2A	0.6422101	0.541047763	9.372802508
AC3A	0.710554	0.489007639	6.144532625
AC4A	0.6537595	0.531489544	11.2659664
AC5A	0.95191103	0.36501976	5.159263915
AC6A	1.08200827	0.321130942	5.42484975
AC8B	0.67284727	0.516411899	9.251461645

جدول ۲۷-۵ نتایج آنالیز مдал شبکه ۴ ماشینه با سیستم تحریک AC1A بعد از اعمال PSS1A را نشان می‌دهد. تنظیم پایدارساز بر مبنای اطلاعات سیستم تحریک AC2A انجام شده است. همان‌طور که می‌بینیم مدل مزدوج بین ناحیه‌ای با این تنظیم پایدار شده است. همان‌طور که مشاهده می‌کنید تنظیم انجام شده به خوبی پاسخ داده است و هم گروهی این دو مدل تحریک را تصدیق کرده است.

جدول ۲۷-۵ : آنالیز مقادیر ویژه در شبکه ۴ ماشینه برای سیستم تحریک AC1A با PSS

	قسمت حقیقی	قسمت موهومی	فرکانس	ضریب میرایی
Mode 00035	-0.1400758	1.414451	0.2251169	0.09854984
Mode 00036	-0.1400758	-1.414451	0.2251169	0.09854984

۳-۴-۲-۵ سیستم تحریک متناوب مدل AC2A

نتایج آنالیز مдал برای سیستم تحریک AC2A قبل و بعد از اعمال پایدارساز سیستم قدرت در جدول ۲۸-۵ آورده شده است. با توجه به مطالب بیان شده درباره گروه‌بندی‌ها، از PSS تنظیم شده برای مدل AC1A در این حالت استفاده خواهیم کرد.

جدول ۲۸-۵ : آنالیز مقادیر ویژه در شبکه‌ی ۴ ماشینه برای سیستم تحریک AC2A قبل و بعد از اعمال PSS

	قسمت حقیقی	قسمت موهومی	فرکانس	ضریب میرایی	
Mode 00034	0.03210615	1.747571	0.2781346	-0.01836877	بدون PSS
Mode 00035	0.03210615	-1.747571	0.2781346	-0.01836877	
Mode 00035	-0.1417144	1.411084	0.224581	0.09992676	با PSS تنظیمی AC1A
Mode 00036	-0.1417144	-1.411084	0.224581	0.09992676	

نتایج جدول ۲۸-۵ میرایی خوب مد بین ناحیه‌ای را به همراه نشان می‌دهد که نشان دهنده عملکرد خوب پایدارساز تنظیمی در مدل AC1A برای شبکه‌ی با مدل AC2A می‌باشد.

۴-۴-۲-۵ سیستم تحریک متناوب مدل AC4A

از آنجا که این مدل نیز با مدل‌های قبلی هم گروه می‌باشد، انتظار داریم برای تصدیق گروه پایداری از تنظیمی مدل AC1A بتواند میرایی مد بین ناحیه‌ای شبکه را افزایش دهد. جدول زیر تغییرات مد بین ناحیه‌ای شبکه قبل و بعد از اعمال PSS را نمایش می‌دهد.

جدول ۲۹-۵ : آنالیز مقادیر ویژه در شبکه‌ی ۴ ماشینه برای سیستم تحریک AC4A قبل و بعد از اعمال PSS

	قسمت حقیقی	قسمت موهومی	فرکانس	ضریب میرایی	
Mode 00026	-0.01602671	1.829011	0.2910961	0.00876217	بدون PSS
Mode 00027	-0.01602671	-1.829011	0.2910961	0.00876217	
Mode 00027	-0.1163835	1.754351	0.2792136	0.06619443	با PSS تنظیمی AC1A
Mode 00028	-0.1163835	-1.754351	0.2792136	0.06619443	

بر طبق جدول ۲۹-۵ مشاهده می‌کنیم که مد بین ناحیه‌ای به خوبی افزایش میرایی پیدا کرده است. بنابراین وابستگی تنظیم PSS مدل AC4A به مدل‌های AC2A و AC1A تایید شد.

۵-۴-۲-۵ سیستم تحریک متناوب مدل AC8B

بر طبق جدول ۲۴-۵ این مدل تحریک نیز همانند مدل AC4A هم گروه با مدل AC1A می‌باشد، بنابراین باید PSS تنظیمی آن برای این مدل تحریک نیز پاسخگو باشد. نتایج آنالیز مقادیر ویژه نشان از پایدار شدن مدل ناپایدار شبکه با اعمال PSS تنظیمی AC1A دارد. بنابراین باید گفت گروه‌بندی ارائه شده در مورد مدل‌های تحریک AC1A، AC2A، AC4A و AC8A درست می‌باشد.

جدول ۳۰-۵ : آنالیز مقادیر ویژه در شبکه‌ی ۴ ماشینه برای سیستم تحریک AC8A قبل و بعد از اعمال PSS

	قسمت حقیقی	قسمت موهومی	فرکانس	ضریب میرایی	
Mode 00034	0.02251711	1.811771	0.2883524	-0.01242727	بدون PSS
Mode 00035	0.02251711	-1.811771	0.2883524	-0.01242727	
Mode 00035	-0.01100096	1.687896	0.268637	0.00651742	با PSS تنظیمی AC1A
Mode 00036	-0.01100096	-1.687896	0.268637	0.00651742	

توجه داشته باشید که نتیجه حاصله با تغییر بهره پایدارساز از ۹/۳۸ ابتدایی به ۴ بدست آمده است. که با توجه به نکات بیان شده در مورد تنظیم بهره در شرایط کار این تغییر قابل قبول می‌باشد.

۶-۴-۲-۵ سیستم تحریک متناوب مدل AC5A

بر طبق جدول ۲۴-۵ برای فرکانس‌های کمتر از ۰/۴ هرتز، دو مدل AC5A و AC6A در یک گروه قرار دارند و دارای تنظیم PSS تقریباً مشابهی خواهند بود. بنابراین قصد داریم در این حالت از پایدارساز تنظیم شده در مدل AC6A برای افزایش میرایی مدد بین ناحیه‌ای استفاده کنیم. نتایج آنالیز مقادیر ویژه شبکه ۴ ماشینه متصل به سیستم تحریک AC5A قبل و بعد از اعمال PSS در جدول ۳۱-۵ آورده شده است.

جدول ۳۱-۵ : آنالیز مقادیر ویژه در شبکه‌ی ۴ ماشینه برای سیستم تحریک AC5A قبل و بعد از اعمال PSS

	قسمت حقیقی	قسمت موهومی	فرکانس	ضریب میرایی	
Mode 00032	-0.02884347	1.506729	0.2398033	0.0191396	بدون PSS
Mode 00033	-0.02884347	-1.506729	0.2398033	0.0191396	
Mode 00033	-0.1179883	1.054555	0.1678377	0.1111906	با PSS تنظیمی AC6A
Mode 00034	-0.1179883	-1.054555	0.1678377	0.1111906	

نتایج جدول ۳۱-۵ نشان می‌دهد میرایی مدل بین ناحیه‌ای شبکه خیلی خوب افزایش یافته است. بنابراین تنظیم PSS در مدل AC6A به طور مناسبی در مدل تحریک AC5A پاسخ داده است. حال همین بررسی را برای مدل AC6A انجام می‌دهیم.

۷-۴-۲-۵ سیستم تحریک متناوب مدل AC6A

نتایج آنالیز مقادیر ویژه شبکه‌ی ۴ ماشینه با سیستم تحریک AC6A قبل و بعد از اعمال PSS تنظیم شده در مدل AC5A در جدول ۳۲-۵ نشان داده شده است. نتایج نشان‌دهنده افزایش میرایی مدل بین ناحیه‌ای شبکه می‌باشد. این بدان معنی است که تنظیم انجام شده برای PSS خیلی خوب پایداری شبکه را افزایش داده است.

جدول ۳۲-۵ : آنالیز مقادیر ویژه در شبکه‌ی ۴ ماشینه برای سیستم تحریک AC6A قبل و بعد از اعمال PSS

	قسمت حقیقی	قسمت موهومی	فرکانس	ضریب میرایی	
Mode 00030	-0.03385641	1.706182	0.2715473	0.01983947	بدون PSS
Mode 00031	-0.03385641	-1.706182	0.2715473	0.01983947	
Mode 00032	-0.1276899	1.358997	0.2162911	0.09354693	با PSS تنظیمی AC5A
Mode 00033	-0.1276899	-1.358997	0.2162911	0.09354693	

بنابراین این دو مدل نیز وابستگی خوبی در تنظیم PSS نسبت به یکدیگر داشته‌اند و می‌توان گروه‌بندی ارائه شده برای آن‌ها را نیز تایید شده در نظر گرفت.

۸-۴-۲-۵ سیستم تحریک متناوب مدل AC3A

همان‌طور که گفته‌ایم سیستم تحریک AC3A دارای تنظیمات متفاوتی نسبت به سایر مدل‌های تحریک می‌باشد و می‌بایست بر مبنای اطلاعات خود مدل به تنظیم پایدارساز پرداخت. همانند حالت‌های قبل نتایج آنالیز مقادیر ویژه قبل و بعد از نصب PSS در جدول زیر آورده شده است. بر طبق آن شبکه دارای مدنپایداری بوده است که با اعمال PSS تنظیمی به خوبی میرا شده است.

جدول ۳۳-۵ : آنالیز مقادیر ویژه در شبکه‌ی ۴ ماشینه برای سیستم تحریک AC3A قبل و بعد از اعمال PSS

	قسمت حقیقی	قسمت موهومی	فرکانس	ضریب میرایی	
Mode 00034	0.1219778	1.717793	0.2733953	-0.07083007	بدون PSS
Mode 00035	0.1219778	-1.717793	0.2733953	-0.07083007	
Mode 00035	-0.07242789	1.96736	0.3131151	0.03678983	با PSS تنظیمی AC3A
Mode 00036	-0.07242789	-1.96736	0.3131151	0.03678983	

۵-۲-۵ نتایج بررسی تأثیر عدم قطعیت در مدل‌های تحریک متناوب بر روی شیفت فازی

- زاویه‌ی جبران سازی وابسته به نوع مدل تحریک متناوب است و نمی‌توان آن را مستقل از عدم قطعیت در مدل تحریک دانست.
- از بند بالایی نتیجه می‌شود عدم قطعیت در مدل تحریک متناوب به طور مستقیم بر روی تنظیم پایدارساز سیستم قدرت تأثیر می‌گذارد.
- نتایج حاصله از مطالعات تنظیم PSS، تصدیق کننده گروه‌بندی ارائه شده در جدول ۲۴-۵ می‌باشد. بنابراین می‌توان طراحی روابست را بدین ترتیب تعریف کرد که:
 - پایدارساز طراحی شده برای هر یک از مدل‌های AC1A، AC2A، AC4A و AC8B می‌تواند بر روی سایر مدل‌های این گروه نیز اثر مطلوبی داشته باشد.
 - پایدار سازهای طراحی شده برای مدل‌های AC5A و AC6A در فرکانس‌های پایین (کمتر از ۴/۰ هرتز) نیز همین تأثیر را بر روی یکدیگر خواهند داشت.
 - طراحی برای پایدارساز AC3A مستقل از سایر مدل‌ها می‌باشد.
- در تنظیم بهینه پایدارساز پس از طراحی می‌توان مجدداً بهره آن را تغییر داد تا شرایط بهتری بدست آید.
- موقعیت‌یابی پایدارساز سیستم قدرت مستقل از مدل سیستم تحریک متناوب است و با تغییر مدل تحریک نتایج آن تغییر نخواهد کرد.

۳-۵ سیستم‌های تحریک استاتیک

۳-۱ بررسی تأثیر پارامترها بر روی شیفت فاز مدل‌های سیستم تحریک استاتیک

در این بخش تحلیل‌های استفاده شده در بخش قبل را بروی سیستم‌های تحریک استاتیک مورد بررسی قرار خواهیم داد. از مدل‌های استاندارد استاتیک ST1A، ST2A، ST3A و ST4B برای انجام مطالعات این قسمت بهره برده‌ایم.

۱-۱-۱ سیستم تحریک مدل ST1A

دیاگرام تک خطی مدل ST1A در شکل ۱۷-۲ نشان داده شده است. همانند استدلال‌های بکار گرفته شده در مورد سیستم‌های تحریک متناوب، با حذف بلوک‌های مزایده‌ای و حدود و صفر قرار دادن ورودی‌های غیر از پایدارساز به مدل ساده شده سیستم تحریک برای محاسبه‌یتابع تبدیل آن دست می‌یابیم. پارامترهای موثر در شیفت فاز به همراه مقادیر تغییر یافته آن‌ها در جدول ۳۴-۵ آورده شده‌اند.

همانند قبل برای مقادیر نوعی پارامترها و تغییر یافته آن‌ها مقدار شیفت فاز و حساسیت آن به تغییر پارامترها را محاسبه خواهیم کرد. این نتایج برای فرکانس ۰/۲۷ هرتز در جدول‌های ۳۵-۵ و ۳۶-۵ آورده شده است.

جدول ۳۴-۵ : مقادیر پارامترهای موثر در مدل ST1A و تغییرات اعمال شده

پارامترها		مقادیر نوعی	+٪/۱۰	-٪/۱۰
بهره تنظیم‌کننده ولتاژ	Ka	145	159.5	130.5
ثابت زمانی تنظیم‌کننده ولتاژ	Ta	0.05	0.055	0.045
ثابت زمانی فیلتر مشتق اول	Tc	0.1	0.11	0.09
ثابت زمانی فیلتر تأخیر اول	Tb	1	1.1	0.9
ثابت زمانی فیلتر مشتق دوم	Tc1	1	1.1	1.1
ثابت زمانی فیلتر تأخیر دوم	Tb1	1	1.1	0.9
ثابت زمانی مسیر پایدارساز	Tf	1.2	1.32	1.08

بیشترین حساسیت شیفت فاز به سبب تغییر در پارامتر بهره تنظیم کننده ولتاژ به وجود می‌آید. ولی بر طبق جدول ۳۵-۵ این حساسیت تغییری کمتر از ۱ درجه را در شیفت فاز به وجود می‌آورد. این مقدار بسیار کوچک است و قابل صرف نظر می‌باشد.

جدول ۳۵-۵ : مقدار تغییر فاز به سبب تغییر پارامترهای مدل ST1A در فرکانس ۰/۲۷ هرتز

	F=0.27 hz	10%	-10%
Ka	-11.3181278	-10.6362833	-12.1727556
Ta	-11.3181278	-11.2632182	-11.3729051
Tc	-11.3181278	-11.4119251	-11.2184935
Tb	-11.3181278	-11.5733422	-11.0704807
Tc1	-11.3181278	-11.0555578	-11.5489949
Tb1	-11.3181278	-11.5733422	-11.0704807
Tf	-11.3181278	-10.9444918	-11.7328376

جدول ۳۶-۵ : مقدار حساسیت شیفت فاز نسبت به تغییر پارامترهای مدل ST1A

	F=0.27 hz	10%	-10%
Ka	6.024357939	-7.55096481	
Ta	0.485147508	-0.48397805	
Tc	-0.82873532	0.880307458	
Tb	-2.25491724	2.188057353	
Tc1	2.319906441	2.319906441	
Tb1	-2.25491724	2.188057353	
Tf	3.301217504	-3.66411988	

۲-۱-۳-۵ سیستم تحریک مدل ST2A

دیاگرام تک خطی سیستم تحریک مدل ST2A در شکل ۱۸ فصل ۲ نمایش داده شده است. این سیستم تحریک دارای منبع تغذیه کمپوند می‌باشد و از جریان و ولتاژ ترمینال ژنراتور برای تغذیه تحریک استفاده می‌کند. قسمتی که به صورت ضرب کننده در مدل آورده شده است بیان کننده این منبع کمپوند است. برای تشکیل تابع تبدیل بین ورودی پایدارساز و خروجی تحریک از بلوكهای مزايده‌ای و حدود قرار گرفته

روی بلوک‌ها صرف نظر می‌کنیم. با توجه به روابط بیان شده در دیاگرام ۲-۱۸، ضرب کننده عددی صحیح را در مدل ضرب می‌کند و هیچ تغییر فازی ایجاد نخواهد کرد. از آنجایی که هدف بدست آوردن شیفت فاز بین ورودی و خروجی می‌باشد می‌توان ضرب کننده را نیز حذف نمود. بنابراین برای بدست آوردن تابع تبدیل مدل ابهامی نخواهیم داشت و می‌توان به راحتی مقادیر شیفت فاز را محاسبه کرد. همچنین برای اطمینان بیشتر، مدل را شبیه سازی کرده و شیفت فاز آن را محاسبه کرده‌ایم. این مقدار با نتایج بدست آمده بعد از حذف ضرب کننده یکسان بوده است.

جدول ۳۷-۵ مقادیر نوعی و تغییرات ۱۰ درصدی پارامترهای سیستم تحریک ST2A را نمایش می‌دهد.

جدول ۳۷-۵ : مقادیر پارامترهای موثر در مدل ST2A و تغییرات اعمال شده

پارامترها		مقادیر نوعی	+٪/۱۰	-٪/۱۰
بهره کنترلر	Ka	150	165	135
ثابت زمانی کنترلر	Ta	0.02	0.022	0.018
ثابت زمانی تحریک	Te	1	1.01	0.99
بهره تحریک	Ke	0.9	0.99	0.81
ثابت زمانی پایدارساز	Tf	0.3	0.33	0.27

مقادیر شیفت فاز و حساسیت آن به تغییر پارامترها در فرکانس ۲۷/۰ هرتز محاسبه شده است و به ترتیب در جدول‌های ۳۸-۵ و ۳۹-۵ آورده شده است. در این حالت نیز حداکثر تغییر شیفت فاز در اثر تغییر بهره تنظیم‌کننده ولتاژ پدید آمده است و مقدار آن کمتر از ۱ درجه است. این مقدار بسیار کوچک است و صرف نظر کردن از آن خللی در مطالعات پدید نمی‌آورد.

جدول ۳۸-۵ : مقدار تغییر فاز به سبب تغییر پارامترهای مدل ST2A در فرکانس ۲۷/۰ هرتز

	F=0.27 hz	10%	-10%
Ka	-11.48465695	-10.84781555	-12.28881081
Ta	-11.48465695	-11.45409584	-11.51519118
Te	-11.48465695	-11.66104248	-11.31441431
Ke	-11.48465695	-12.02134322	-10.94624965
Tf	-11.48465695	-11.71216183	-11.19536272

جدول ۳۹-۵ : مقدار حساسیت شیفت فاز نسبت به تغییر پارامترهای مدل ST2A

F=0.27 hz	10%	-10%
Ka	5.545149529	-7.001984179
Ta	0.266103809	-0.265869774
Te	-1.535836291	1.482348477
Ke	-4.673071781	4.688057324
Tf	-1.980946215	2.518962758

۳-۱-۳-۵ سیستم تحریک مدل ST3A

شکل ۱۹-۲ نشان دهنده مدل تحریک ST3A می باشد. این مدل نیز همانند ST2A دارای منبع توان کمپوند می باشد که اثر آن به صورت ضرب کننده در مدل ظاهر شده است. همانند قبل می توان با حذف این ضرب کنند و بکار گیری استدلال های بخش های قبلی به مدل ساده شده و تابع تبدیل آن دست یافت. جدول ۴۰-۵ پارامترهای تأثیر گذار در تابع تبدیل مدل به همراه تغییرات آن ها را نمایش می دهد.

جدول ۴۰-۵ : مقادیر پارامترهای موثر در مدل ST3A و تغییرات اعمال شده

پارامترها		مقادیر نوعی	+٪/۱۰	-٪/۱۰
بهره کنترلر	Ka	200	220	180
ثبت زمانی کنترلر	Ta	0.05	0.055	0.045
ثبت زمانی پس فاز	Tc	3	3.3	2.7
ثبت زمانی پیش فاز	Tb	10	11	9
بهره فیدبک	Kg	1	1.1	0.9
بهره مسیر پیش خور	Km	1	1.1	0.9
ثبت زمانی پیش خور	Tm	0.01	0.011	0.009

جدول های ۴۱-۵ و ۴۲-۵ مقادیر شیفت فاز و حساسیت را برای مقادیر نوعی و تغییرات پارامترها نمایش می دهند. همانند مدل های قبلی بهره تنظیم کننده ولتاژ بیشترین اثر را بر روی شیفت فاز داشته است. حداقل تغییر شیفت فاز در حدود ۲ درجه بوده است که در مقایسه با مقدار مبنای (۲۱/۹۷ درجه) مقدار

کوچکی است و می‌توان انتظار داشت صرف نظر از این مقدار کوچک تأثیری بر نتایج تنظیم PSS نداشته باشد. بنابراین می‌توان گفت شیفت فاز مستقل از تغییر پارامترهای سیستم تحریک ST3A است.

جدول ۴۱-۵ : مقدار تغییر فاز به سبب تغییر پارامترهای مدل ST3A در فرکانس ۰/۲۷ هرتز

	F=0.27 hz	10%	-10%
Ka	-21.97018234	-19.98556675	-24.36601607
Ta	-21.97018234	-22.01507717	-21.92556997
Tc	-21.97018234	-20.00420135	-24.35827471
Tb	-21.97018234	-24.14563328	-19.77819264
Kg	-21.97018234	-23.05105736	-20.88241783
Km	-21.97018234	-20.97904099	-23.1745531
Tm	-21.97018234	-21.97327844	-21.96708823

جدول ۴۲-۵ : مقدار حساسیت شیفت فاز نسبت به تغییر پارامترهای مدل ST3A

	F=0.27 hz	10%	-10%
Ka	9.033223116	-10.90493329	
Ta	-0.20434438	0.203058701	
Tc	8.948405453	-10.86969754	
Tb	-9.901833791	9.977112004	
Kg	-4.91973622	4.951094588	
Km	4.51130232	-5.481842334	
Tm	-0.014092275	0.014083209	

۴-۱-۳-۵ سیستم تحریک مدل ST4B

دیاگرام تک خطی سیستم تحریک مدل ST4B در شکل ۲۰-۲ آورده شده است. با حذف بلوک‌های مزایده‌ای، حدود روی بلوک و ضرب کننده مربوط به اثر منبع توان کمپوند می‌توان پارامترهای موثر در تابع تبدیل مدل را به صورت زیر نشان داد. تغییرات ± ۱۰ درصدی آن‌ها نیز در کنار مقادیر نوعی در جدول ۴۳-۵ آورده شده است.

جدول ۴۳-۵ : مقادیر پارامترهای موثر در مدل ST4B و تغییرات اعمال شده

پارامترها		مقادیر نوعی	+٪/۱۰	-٪/۱۰
ثابت زمانی کنترلر	Ta	0.05	0.055	0.045
بهره تناسبی PI	Kpr	10	11	9
ثابت زمانی PI	Kir	1	1.1	0.9
بهره فیدبک	Kg	0.1	0.11	0.09
بهره مسیر پیش خور	Kpm	1	1.1	0.9
ثابت زمانی پیش خور	Kim	1	1.1	0.9

مقادیر شیفت فاز و حساسیت فاز در فرکانس ۲۷/۰ هرتز مربوط به پارامترهای جدول ۴۳-۵ به ترتیب در جدولهای ۴۴-۵ و ۴۵-۵ آورده شده است. نتایج جدول ۴۵-۵ نشان می‌دهد که بهره تناسبی بلوک PI بیشترین حساسیت را در شیفت فاز برای فرکانس ۲۷/۰ هرتز به وجود آورده است. این حداکثر حساسیت تغییر ۶ درجه‌ای را ایجاد می‌کند که در مقایسه با مقدار شیفت فاز در مقدار نوعی پارامترها (۶۷ درجه) مقدار کوچکی است و به نظر می‌رسد حذف آن تاثیر چشم‌گیری بر تنظیم PSS نخواهد گذاشت.

جدول ۴۴-۵ : مقدار تغییر فاز به سبب تغییر پارامترهای مدل ST4B در فرکانس ۲۷/۰ هرتز

	F=0.27 hz	10%	-10%
Ta	-67.81192537	-68.1480242	-67.48094468
Kpr	-67.81192537	-62.39436187	-73.7724642
Kir	-67.81192537	-67.99623563	-67.62572746
Kg	-67.81192537	-68.15424366	-67.46245148
Kpm	-67.81192537	-63.07443691	-73.31920435
Kim	-67.81192537	-67.6166569	-67.74214545

جدول ۴۵-۵ : مقدار حساسیت شیفت فاز نسبت به تغییر پارامترهای مدل ST4B

F=0.27 hz	10%	-10%
Ta	-0.495633814	0.488086255
Kpr	7.989101431	-8.789809164
Kir	-0.271796233	0.274579878
Kg	-0.504805452	0.515357571
Kpm	6.986217292	-8.121401881
Kim	0.287955932	0.102902136

۵-۳-۲ نتایج بررسی تأثیر عدم قطعیت در پارامترهای تحریک استاتیک بر روی

شیفت فاز

این بخش نیز نتایجی مشابه بخش ۵-۲-۲ دارد و می‌توان آن‌ها را به صورت زیر بیان کرد:

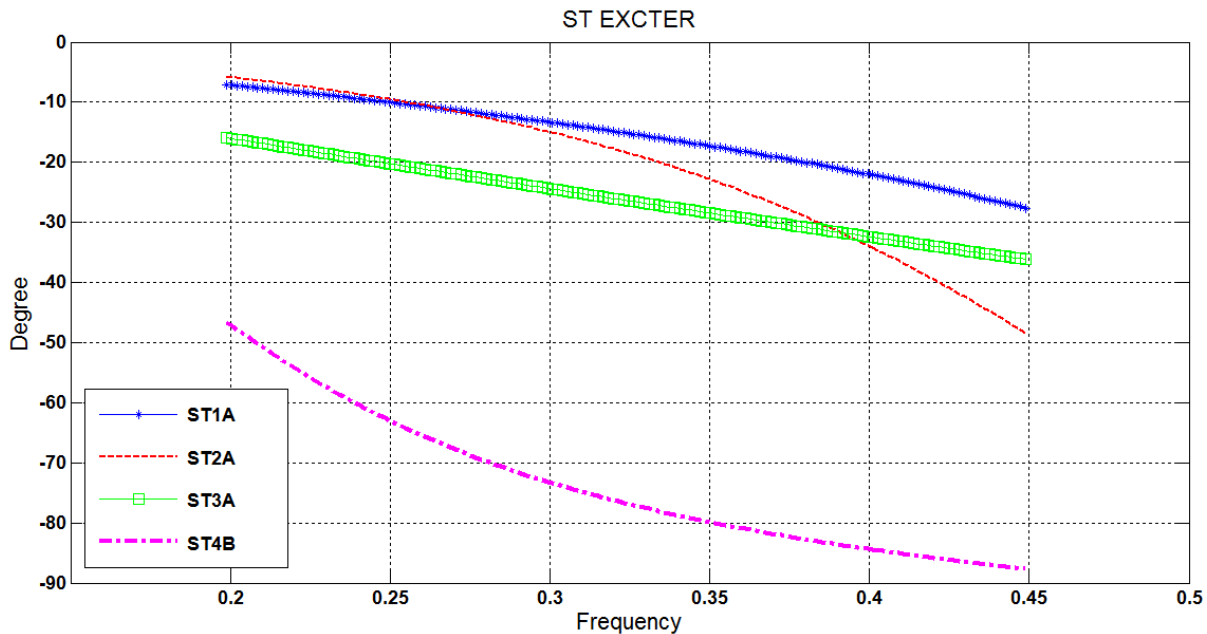
۱. بهره تنظیم‌کننده ولتاژ و ثابت زمانی‌های فیلتر مشتق که در مسیر پیش خور سیگنال ورودی قرار دارند دارای بیشترین تأثیرگذاری و ثابت زمانی‌های تأخیر پس فاز دارای کمترین اثرگذاری بر روی شیفت فاز می‌باشند.
۲. در مقایسه با سیستم تحریک متناوب حساسیت شیفت فاز به تغییر پارامترها کاهش یافته است که می‌تواند مزیت خوبی به حساب آید.
۳. بطورکلی با توجه جدول‌ها و مطالب بیان شده در بالا می‌توان گفت تغییر در پارامترها یا همان عدم قطعیت در آن اثر کوچک و قابل صرف نظری بر روی شیفت فاز داشته است و انتظار می‌رود در نظر نگرفتن حساسیت آن‌ها، تأثیر نامطلوبی بر روی نتایج تنظیم PSS نگذارد.

۵-۳-۳ امکان‌سنجی تنظیم PSS در شرایط عدم قطعیت در مدل تحریک استاتیک

در این بخش می‌خواهیم تأثیر عدم قطعیت در مدل سیستم تحریک استاتیک را بر روی شیفت فاز جبران سازی مورد بررسی قرار دهیم. اگر تغییر مدل‌های مختلف تحریک همانند تغییر پارامترهای آن تأثیر زیادی بر روی شیفت فاز نداشته باشد می‌توانیم بگوییم شیفت فاز جبران سازی مستقل از عدم قطعیت در اطلاعات سیستم تحریک است.

شکل ۴-۵ منحنی‌های مکان هندسی شیفت فاز را برای سیستم‌های تحریک استاتیک در بازه‌ی فرکانسی ۰/۲ تا ۰/۴۵ هرتز نشان می‌دهد. با توجه به شکل بطورکلی می‌توان گفت به دلیل فاصله‌ی نسبتاً زیاد مابین منحنی‌ها، تغییر مدل تحریک استاتیک سبب تغییر نسبتاً زیادی در مقدار زاویه‌ی جبران سازی می‌شود. این اختلاف زاویه برای مدل ST4B نسبت به سایر مدل‌ها بسیار بیشتر است. بنابراین برای طراحی PSS‌ها

نیازمند دانستن نوع مدل تحریک استاتیک می‌باشیم و در این باره باید اطلاعات دقیق‌تری نسبت به پارامتر داشته باشیم. بنابراین می‌توان نتیجه گفت که تنظیم PSS وابسته به مدل تحریک و نوع آن است و عدم قطعیت در این حوزه تنظیم PSS را تحت تأثیر قرار خواهد داد.



شکل ۴-۵ : منحنی مکان هندسی شیفت فاز سیستم‌های تحریک استاتیک

۴-۳-۵ بررسی طراحی روابط PSS برای سیستم تحریک استاتیک

همانند بخش ۳-۲-۵ قصد داریم با مقایسه زاویه‌ی جبران سازی در مدل‌های مختلف تحریک استاتیک ارتباطی میان آن‌ها بدست آوریم و با توجه به آن تنظیم مقاومی برای PSS‌های نصب شده در این مدل‌ها ارائه کنیم.

۱-۴-۳-۵ مقایسه تشابه طراحی PSS در مدل‌های تحریک استاتیک

همانند بررسی‌های انجام شده بر روی مدل‌های متناوب، در ۴ نقطه‌ی فرکانسی مقادیر جبران سازی فاز مدل‌های مختلف تحریک استاتیک بررسی می‌شود و بر مبنای اطلاعات بدست آمده از آن در مورد تشابه تنظیم اظهار نظر خواهد شد. جدول ۴-۵ مقادیر شیفت فاز در ۴ فرکانس انتخابی در بازه‌ی $0\text{--}2$ هرتز تا $0\text{--}45$ هرتز را برای ۴ مدل تحریک استاتیک نمایش می‌دهد. با توجه به شکل ۴-۵ و جدول ۴-۵ به نظر

می‌رسد گروه‌بندی مدل‌ها بر پایه رنج فرکانسی مد باید انجام بگیرد. همان‌طور که مشاهده می‌کنید برای فرکانس‌های تقریباً کمتر از $35/0$ هرتز مدل‌های ST1A و ST2A دارای شیفت فازی نزدیکی در تابع تبدیل‌های خود می‌باشند. ولی در فرکانس‌های بالاتر اختلاف زاویه‌ی جبران سازی این دو مدل افزایش می‌یابد و به نظر نمی‌رسد بتوان در این فرکانس‌ها آن‌ها را دارای تنظیم مشابهی دانست. از طرف دیگر در این فرکانس‌ها زاویه‌ی جبران سازی مدل ST3A در حال نزدیک شدن به شیفت فازی مدل ST2A می‌باشد. این نزدیکی پس از جند هرتز تغییر در فرکانس مد از بین می‌رود. در تمام این شرایط فرکانسی مدل ST4B دارای مقادیر شیفت فاز متفاوتی از سایر مدل‌ها می‌باشد.

جدول ۴۶-۵ : شیفت فازی مدل‌های تحریک استاتیک در ۴ مقدار فرکانسی

Frequency	0.22 hz	0.27 hz	0.35 hz	0.42 hz
ST1A	-8.23803	-11.2812	-17.2862	-24.1836
ST2A	-7.12524	-11.426	-22.8208	-39.473
ST3A	-17.7136	-21.9234	-28.4442	-33.9392
ST4B	-54.1929	-67.6924	-79.8643	-85.8498

بر طبق استدلال‌های بالا می‌توان گفت تنظیم PSS در فرکانس‌های پایین برای مدل‌های ST2A و ST1A مشابه خواهد بود. ولی برای فرکانس‌های بالاتر از $35/0$ هرتز می‌بایست PSS اعمالی در تمامی مدل‌ها به طور جداگانه تحلیل و تنظیم شود.

بنابراین بر پایه بررسی‌های صورت گرفته می‌توان گروه‌بندی مدل‌های تحریک استاتیک را بر مبنای تشابه طراحی PSS و فرکانس مد به صورت جدول ۴۷-۵ ارائه کرد.

جدول ۴۷-۵ : گروه‌بندی مدل‌های تحریک استاتیک از لحاظ تشابه در تنظیم

مدل‌های سیستم تحریک استاتیک		
فرکانس‌های پایین (کمتر از $35/0$ هرتز)		
ST1A	ST2A	ST1A, ST2A
ST3A		ST3A
ST4B		

جدول ۴۸-۵ تغییرات اندازه‌یتابع تبدیل PSS بدون در نظر گرفتن آن را برای فرکانس‌های انتخابی ما نشان می‌دهد. در فرکانس‌های پایین همانند قبل مدل‌های ST1A و ST2A شباهت خوبی به یکدیگر دارند و به نظر می‌رسد طراحی PSS مشابهی خواهند داشت. در این فرکانس‌ها تغییرات اندازه تابع تبدیل مدل‌های استاتیک ST3A و ST4B نسبت به بقیه متفاوت است و با توجه به جدول ۴۶-۵، طراحی PSS در این مدل‌ها باید جداگانه تحلیل و انجام شود. در فرکانس‌های بالاتر (بزرگ‌تر از $35/0$ هرتز) جدول ۴۶-۵ همگرایی بین مدل‌ها مشاهده نمی‌شود و به نظر می‌رسد تمامی مدل‌ها در گروه‌های جداگانه‌ای قرار خواهند گرفت. بر پایه بررسی‌های تئوری، می‌توان گفت گروه‌بندی جدول ۴۷-۵ صحیح است. حال باید نتایج حاصله از تنظیم PSS در مدل‌های مختلف تحریک استاتیک را بر روی شبکه‌ی نمونه ۴ ماشینه، مورد بررسی قرار داد.

جدول ۴۸-۵ : نرخ تغییرات اندازه‌یتابع تبدیل پایدارساز در ۴ مقدار فرکانسی

Frequency	0.22 hz	0.27 hz	0.35 hz	0.42 hz
ST1A	1.1552	1.2192	1.3585	1.5453
ST2A	1.1328	1.2223	1.5057	2.119
ST3A	1.3692	1.4804	1.679	1.9783
ST4B	2.673	3.5143	4.5847	5.2704

۲-۴-۳-۵ سیستم تحریک استاتیک مدل ST1A

همان‌طور که قبلاً نیز گفته‌ایم به دلیل عدم تأثیر مدل‌های تحریک بر روی فرکانس مدد مکانیکی، تنظیم PSS در فرکانس $27/0$ هرتز برای مدل‌های تحریک استاتیک انجام شد و مقادیر پارامترهای آن در جدول ۴۹-۵ آورده شده است.

جدول ۴۹-۵ : مقادیر تنظیم پایدارساز برای تمام مدل‌های سیستم تحریک استاتیک

فرکانس : $27/0$ هرتز	ثبت زمانی پیش فاز	ثبت زمانی پس فاز	بهره پایدارساز
ST1A	0.718660914	0.483491351	8.261480428
ST2A	0.720515882	0.482246603	7.028892352
ST3A	0.872654822	0.398171565	7.871308326
ST4B	1.105037596	0.314438475	3.230668046

با توجه به اینکه فرکانس مد کمتر از 35° هرتز می‌باشد، بر طبق جدول ۴۷-۵ انتظار داریم پایدارساز در مدل‌های ST1A و ST2A دارای تنظیم مشابهی باشد. بنابراین برای تایید این امر از پایدارساز تنظیمی بر پایه اطلاعات مدل تحریک ST2A برای شبکه‌ی دارای مدل ST1A و بر عکس استفاده خواهیم کرد.

نتایج آنالیز مقادیر ویژه قبل و بعد از اعمال PSS در ۵۰-۵ آورده شده است. بر طبق آن مد بین ناحیه‌ای ناپایدار شبکه پس از اعمال PSS به خوبی پایدار شده است. این نتیجه تشابه تنظیم پایدار سازهای اعمالی در سیستم‌های تحریک ST1A و ST2A را نشان می‌دهد. همین بررسی را برای PSS تنظیم شده در مدل ST1A انجام خواهیم داد.

جدول ۵۰-۵ : آنالیز مقادیر ویژه در شبکه‌ی ۴ ماشینه برای سیستم تحریک ST1A قبل و بعد از اعمال PSS

	قسمت حقیقی	قسمت موهومی	فرکانس	ضریب میرایی	
Mode 00030	0.04118598	1.759752	0.2800733	-0.02339801	بدون PSS
Mode 00031	0.04118598	-1.759752	0.2800733	-0.02339801	
Mode 00033	-0.04060047	1.674256	0.2664661	0.02424273	با PSS تنظیمی ST2A
Mode 00034	-0.04060047	-1.674256	0.2664661	0.02424273	

جدول ۵۱-۵ : آنالیز ضرایب مشارکت مد بین ناحیه‌ای با سیستم تحریک ST1A

متغیرهای حالت	شماره مد	ضرایب مشارکت
G3; speed	30	1
G3; phi	30	0.9460059
G4; speed	30	0.9060826
G4; phi	30	0.9021898

آنالیز ضرایب مشارکت مد بین ناحیه‌ای شبکه در جدول ۵۱-۵ آورد شده است. همان‌طور که مشاهده می‌کنید متغیرهای مکانیکی ماشین شماره ۳ بیشترین تاثیر را در ساختار مد بین ناحیه‌ای داشته‌اند. آنالیز ضرایب مشارکت در تمام مدل تحریک استاتیک نشان از آن دارد ماشین شماره ۳ مناسب‌ترین مکان برای نصب پایدارساز سیستم قدرت است. از آنجایی که متغیرهای الکتریکی سیستم تحریک تاثیری زیادی در

آنالیز ضرایب مشارکت مد بین ناحیه‌ای نداشته‌اند و مدهای الکترومکانیکی شبکه متأثر از متغیرهای مکانیکی آن مانند تغییرات زاویه ($\Delta\delta$) و سرعت ماشین ($\Delta\omega$) می‌باشند. بنابراین چنین انتظاری داشتیم که تغییر مدل تحریک تاثیری بر موقعیت‌یابی PSS نداشته باشد.

۳-۴-۳-۵ سیستم تحریک استاتیک مدل ST2A

جدول ۵۲-۵ نتایج آنالیز مقادیر ویژه شبکه‌ی ۴ ماشینه با مدل تحریک استاتیک ST2A قبل و بعد از PSS تنظیم شده در مدل ST1A را نشان می‌دهد. همان‌طور که انتظار داشتیم مد ناپایدار شبکه با اعمال پایدارساز پایدار شده است. بنابراین با توجه به نتایج این دو بخش باید گفت گروه‌بندی ارائه شده در جدول ۴۷-۵ تایید شده است.

جدول ۵۲-۵ : آنالیز مقادیر ویژه در شبکه‌ی ۴ ماشینه برای سیستم تحریک ST2A قبل و بعد از اعمال PSS

	قسمت حقيقی	قسمت موهومی	فرکانس	ضریب میرایی	
Mode 00032	0.03805396	1.810734	0.2881873	-0.02101113	بدون PSS
Mode 00033	0.03805396	-1.810734	0.2881873	-0.02101113	
Mode 00037	-0.0097159	1.679768	0.2673433	0.00578398	با PSS تنظیمی ST1A
Mode 00038	-0.0097159	-1.679768	0.2673433	0.00578398	

۴-۴-۳-۵ سیستم تحریک استاتیک مدل ST3A

نتایج آنالیز مقادیر ویژه برای مد بین ناحیه‌ای شبکه‌ی ۴ ماشینه با سیستم تحریک ST3A قبل و بعد از اعمال PSS در جدول ۵۳-۵ نشان داده شده است. پایدارساز بر اساس اطلاعات تحریک ST3A تنظیم شده است و با توجه به نتایج به خوبی توانسته است مد کم میرای شبکه را به سمت چپ محور مختصات انتقال دهد.

جدول ۵۳-۵ : آنالیز مقادیر ویژه در شبکه‌ی ۴ ماشینه برای سیستم تحریک ST3A قبل و بعد از اعمال PSS

	قسمت حقیقی	قسمت موهومی	فرکانس	ضریب میرایی	
Mode 00032	-0.03511322	1.765276	0.2809524	0.01988713	بدون PSS
Mode 00033	-0.03511322	-1.765276	0.2809524	0.01988713	
Mode 00033	-0.2921399	3.082163	0.4905415	0.09436112	با PSS تنظیمی ST3A
Mode 00034	-0.2921399	-3.082163	0.4905415	0.09436112	

۵-۴-۳-۵ سیستم تحریک استاتیک مدل ST4B

نتیجه‌ی آنالیز مقادیر ویژه قبل از اعمال PSS نشان‌دهنده وجود مد ناپایداری در شبکه با سیستم تحریک است. همان‌طور که از جدول ۴۶-۵ مشخص است، جبران سازی در دو مرحله انجام خواهد شد. بنابراین مقادیر تنظیمی ثابت‌های زمانی PSS در جدول ۴۹-۵ برای مدل ST4B می‌بایست دو بار تکرار شوند تا مقدار پس فازی مورد نیاز جبران شود.

جدول ۵۴-۵ نتایج آنالیز مقادیر ویژه بعد از اعمال PSS را نشان می‌دهد. در این حالت مد ناپایدار شبکه به خوبی میرا شده است.

جدول ۵۴-۵ : آنالیز مقادیر ویژه در شبکه‌ی ۴ ماشینه برای سیستم تحریک ST4B قبل و بعد از اعمال PSS

	قسمت حقیقی	قسمت موهومی	فرکانس	ضریب میرایی	
Mode 00024	0.2699185	0.1706437	0.0271588	-0.84525	بدون PSS
Mode 00025	0.2699185	-0.1706437	0.0271588	-0.84525	
Mode 00024	-0.0802123	1.465554	0.2332502	0.05464993	با PSS تنظیمی ST4B
Mode 00025	-0.0802123	-1.465554	0.2332502	0.05464993	

۳-۵ نتایج بررسی تأثیر عدم قطعیت در مدل‌های تحریک استاتیک بر روی

شیفت فازی

- منحنی مکان هندسی شیفت فاز وابسته به نوع مدل سیستم تحریک استاتیک می‌باشد.
- بر طبق بند ۱ عدم قطعیت در اطلاعات مدل تحریک استاتیک منجر به عدم اطمینان ما از محاسبه‌ی درست شیفت فاز و در نتیجه تنظیم مناسب PSS می‌شود.

- با توجه به نتایج مربوط به تنظیم پایدار سازه‌ای سیستم قدرت باید گفت گروه‌بندی ارائه شده در جدول ۴۷-۵ برای سیستم‌های تحریک استاتیک تایید شده است. بدین ترتیب خواهیم داشت:

۱. تنظیم PSS برای مدل‌های تحریک ST1A و ST2A در فرکانس کمتر از $35/0$ هرتز مشابه

خواهد بود.

۲. در مدل‌های ST3A و ST4B پایدارساز باید بر اساس اطلاعات هر مدل تحریک و به طور جداگانه

تنظیم شود.

۳. مدل ST4B در هیچ بازه‌ی فرکانسی دارای هم گروهی از لحاظ تشابه تنظیم نخواهد بود.

- موقعیت‌یابی پایدارساز سیستم قدرت مستقل از مدل سیستم تحریک استاتیکی می‌باشد و با تغییر مدل تغییر نخواهد کرد.

فصل ششم

نتیجه گیری و پیشنهادات

در این پایان‌نامه اثرگذاری عدم قطعیت در اطلاعات سیستم تحریک بر روی تنظیم و موقعیت یابی پایدارساز سیستم قدرت مورد بررسی قرار گرفت. عدم قطعیت مزبور در این بررسی به صورت اعمال پارامترها و مدل‌های مختلف برای سیستم‌های تحریک در نظر گرفته شد. اثر گذاری از دو منظر مورد بررسی قرار گرفت.

در منظر اول تاثیر مدل‌ها و پارامترهای مختلف تحریک بر روی مد الکترومکانیکی شبکه بررسی شد. در این حالت بازه‌ی تغییرات قسمت‌های حقیقی و موهومی مد به عنوان شاخص‌های انتخابی در مباحث پایداری و تنظیم PSS مورد تحلیل قرار گرفت. در این وضعیت مشخص شد قسمت موهومی مد و یا همان فرکانس آن از تغییرات اعمال در سیستم تحریک تاثیر کمی دریافت می‌کند که به نظر می‌رسد در نظر نگرفتن این تغییر خلی در مسئله‌ی تنظیم PSS به وجود نخواهد آورد. ولی بررسی نشان داده قسمت حقیقی مد که شاخص پایداری شبکه نیز می‌باشد، تغییرات نسبتاً زیادی در اثر عدم قطعیت مذکور داشته است. این بدان معناست، در شرایطی که مدل و یا پارامترهای واقعی سیستم تحریک مشخص نباشند، نمی‌توان به طور قطع به نتایج دریافتنی از آنالیزهای پایداری اطمینان کرد.

نکته‌ی مهم دیگری که در این حالت به آن دست یافتیم، مربوط به ساختار شبکه‌ی تست می‌باشد. در تحلیل بالا از دو شبکه‌ی تک ماشینه و چهار ماشینه برای انجام مطالعات استفاده کردیم. نتایج نشان داد،

تغییرات قسمتهای حقیقی و موهومی مد در شبکه‌ی چهار ماشینه نسبت به تک ماشینه به شدت کاهش یافت. می‌توان علت این امر را گستردگی شدن شبکه و افزایش متغیرهای حالت شبکه دانست. بر اساس این نتایج انتظار داریم در شبکه‌های بزرگ‌تر مانند شبکه‌ی کشور تاثیر عدم قطعیت در مدل و پارامترهای سیستم تحریک بر روی مد الکترومکانیکی بسیار کم باشد. و شاید بتوان گفت در چنین شبکه‌های گستردگی صرف نظر کردن از تغییرات قابل قبول است.

در منظر دوم اثر گذاری مدل‌ها و پارامترهای مختلف تحریک بر روی شیفت فاز جبران سازی مورد بررسی قرار گرفت. در این حالت تغییرات پارامترها اثر قابل توجهی بر روی شیفت فاز نداشته است ولی با توجه به نتایج دریافتی بازه‌ی تغییرات زاویه‌ی جبران سازی برای مدل‌های مختلف تحریک نسبتاً زیاد می‌باشد. بنابراین تنظیم PSS مستقل از عدم قطعیت در پارامترهای سیستم تحریک است ولی به تغییر مدل‌های تحریک وابسته می‌باشد.

در این حالت با توجه به شیفت فاز جبران سازی مدل‌های مختلف تحریک، تنظیم روابستی را برای پایدارساز تعريف کردیم. در واقع این تنظیم روابست را این چنین تعریف کردہ‌ایم که آیا PSS تنظیم شده بر اساس اطلاعات سیستم تحریک معینی می‌تواند در مدل‌های دیگر تحریک پاسخ گو باشد یا خیر؟

بر این اساس بر مبنای تشابه شیفت فاز جبران سازی گروه‌بندی برای مدل‌های مختلف سیستم تحریک ارائه شد که نتایج مطالعات صورت گرفته، این گروه‌بندی‌ها تایید کرد.

همچنین بر اساس مطالعات و بررسی‌های صورت گرفته باید گفت موقعیت یابی PSS مستقل از تغییر در مدل و پارامترهای سیستم تحریک می‌باشد. با توجه به اینکه مناسب‌ترین مکان برای نصب پایدارساز، ژنراتوری می‌باشد که بیشترین مشارکت را در ایجاد مد الکترومکانیکی شبکه داشته است، بنابراین متغیرهای الکتریکی سیستم تحریک نمی‌توانند تاثیر خاصی بر روی این مشارکت داشته باشند.

با توجه به بررسی‌های صورت گرفته سه پیشنهاد زیر برای استفاده در کارهای آینده ارائه شده است.

۱. برای نشان دادن عدم قطعیت در پارامترهای تحریک، بازه‌ی تغییرات باید با دقت انتخاب شود. با توجه به نزدیکی و تشابه مقادیر پارامترها و ساختار بعضی از مدل‌های سیستم تحریک، ممکن است تغییرات انتخابی ما برای پارامترهای یک مدل مشخص منجر به دریافت نتایج مربوط به مدل دیگر شود.
۲. ساختار شبکه در نتایج بدست آمده بسیار با اهمیت می‌باشد و پیشنهاد می‌شود از شبکه‌های تست استاندارد که دارای اطلاعات کامل و درستی می‌باشند برای انجام بررسی‌ها استفاده شود.
۳. مقادیر اولیه استفاده شده برای سیستم‌های تحریک بر روی نتایج دریافتی بسیار موثر خواهد بود. باید دقت شود تمامی مقادیر در رنج منطقی خود قرار داشته باشند. بر طبق بررسی‌های انجام شده پیشنهاد می‌شود برای سیستم‌های تحریک از مقادیر اولیه ارائه شده در نرم افزار DIGSILENT به جای مقادیر آورده شده در استاندارد IEEE 421 استفاده شود.

پیوست ۱

پارامترها و مشخصات شبکه‌های تست

الف. شبکه‌ی تک ماشین متصل به باس بی‌نهایت

مقادیر بر حسب ولتاژ و توان نامی ژنراتور پریونیت شده است.

ثوابت مربوط به ژنراتورها:

$$\begin{array}{llll} SG, & S = 300 \text{ MVA.} & P.F = 0.9. & V = 6 \text{ Kv} \\ f = 50 \text{ Hz.} & M = 2H = 8.1 & D = 0. & Xl = 0.1 \text{ P.u.} \\ Xd = 0.973 \text{ P.u.} & Xq = 0.55 \text{ P.u.} & Xd' = 0.19 \text{ P.u.} & Xd'' = 0.1 \text{ P.u.} \\ Xq'' = 0.2 \text{ P.u.} & Td\delta = 7.76 \text{ s.} & Td\delta' = 0.0475 \text{ s} & Tq\delta = 0.075 \text{ s} \end{array}$$

ثوابت مربوط به خط:

$$L = 600 \text{ Km.} \quad R = 0.1 \text{ P.u.} \quad X = 1.125 \text{ P.u.}$$

نقطه کار سیستم:

$$P = 0.9 \text{ P.u.} \quad Q = 0.433 \text{ P.u.} \quad V = 1.04 \text{ P.u.}$$

ب. شبکه‌ی نمونه دو ناحیه‌ای ۴ ماشینه

مقادیر ژنراتور بر حسب ولتاژ و توان نامی خودش پریونیت شده است.

ثوابت مربوط به ژنراتورها:

$$\begin{array}{lllll} SG, & S = 900 \text{ MVA.} & P.F = 0.8 & V = 20 \text{ Kv} & D = 0. \\ Xd = 1.8 \text{ P.u.} & Xq = 1.7 \text{ P.u.} & Xd' = 0.3 \text{ P.u.} & Xd'' = 0.25 \text{ P.u.} & Xl = 0.2 \text{ P.u.} \\ Xq'' = 0.25 \text{ P.u.} & Td\delta = 8 \text{ s.} & Tq\delta = 0.4 \text{ s.} & Td\delta' = 0.03 \text{ s} & Tq\delta' = 0.05 \text{ s} \\ f = 50 \text{ Hz.} & H = 6.5 \text{ s (for G1 and G2).} & H = 6.175 \text{ s. (for G3 and G4)} & Ra = 0.0025 & \end{array}$$

ثوابت مربوط به خط:

مقادیر خط در مبنای ولتاژ ۲۳۰ کیلو ولت و توان نامی ۱۰۰ مگا ولت آمپر پریونیت شده‌اند.

$$R = 0.0001 \text{ P.u/Km.} \quad X = 0.001 \text{ P.u/Km.} \quad b_c = 0.00175 \text{ p.u/Km.}$$

نقطه کار سیستم:

$$G1: \quad P = 740 \text{ MW.} \quad Q = 72 \text{ MVar} \quad Et = 1.03\angle 20.2^\circ$$

$$G2: \quad P = 700 \text{ MW.} \quad Q = 411 \text{ MVar} \quad Et = 1.01\angle 10.6^\circ$$

$$G3: \quad P = 719 \text{ MW.} \quad Q = 71 \text{ MVar} \quad Et = 1.03\angle -51.89^\circ$$

$$G4: \quad P = 700 \text{ MW.} \quad Q = 336 \text{ MVar} \quad Et = 1.01\angle -61.74^\circ$$

$$Bus 7: \quad Pl = 967 \text{ MW.} \quad Ql = 100 \text{ MVar} \quad Qc = 188 \text{ MVar}$$

$$Bus 9: \quad Pl = 1767 \text{ MW.} \quad Ql = 185 \text{ MVar} \quad Qc = 334 \text{ MVar}$$

مراجع

- [۱] P. Kundur, “Power System Stability and Control”, McGraw-Hill Inc., United States of America, 1994.
- [۲] IEEE Guide for Identification, Testing ,and Evaluation of the Dynamic Performance of Excitation Control Systems, IEEE Standard 421.2-2005.
- [۳] M. Klein, G. Rogers, and P. Kundur, “A fundamental study of inter-area oscillation in power systems”, IEEE Trans. On Power System, Vol. PS-6, 1991, pp. 914-921.
- [۴] P. Kundur, M. Klein, G.J. Rogers and M.S. Zywno, “Application of power system stabilizer for enhancement of overall system stability”, IEEE Trans. on Power Systems, Vol. PWRS-4, 1989, pp. 614-629.
- [۵] علی کریمپور ”بکارگیری روش‌های سیستماتیک طراحی ساختار کنترل در بهبود پایداری شبکه‌های قدرت“ رساله دکتری، دانشکده برق، دانشگاه فردوسی مشهد، ۱۳۸۲.
- [۶] E.V. Larsen and D.A. Swan, “Applying Power System Stabilizers, Part I,II, and III”, IEEE Trans., Vol. PAS-100, pp. 3017-3046, June 1981.
- [۷] F.P. Demello, L.N. Hannett, J.M. Undrill, “Practical Approaches to Supplementary Stabilizing from Acceleration Power”, IEEE Trans. Vol PAS- 97, pp. 1515-1522, September/October 1978.
- [۸] D.C. Lee, R.E. Beaulieu, and J.R.R. Service, “A Power System Stabilizer Using Speed and Electrical Power Inputs – Design and Filed Experience”, IEEE Trans., Vol. PAS-100, pp.4151-4167, September 1981.
- [۹] F.P. de Mello, P.J. Nolan, T.F. Laskowski, and J.M. Undrill., “Coordinated application of stabilizers in multimachine power systems”, IEEE Trans. On Power Apparatus and System, Vol. 99, No.3, 1980, pp. 892-901
- [۱۰] O.H. Abdalla, S.A. Hassan, and N.T. Tweig., “Coordinated stabilization of a multimachine power system”, IEEE Trans. On Power Apparatus and System, Vol. 103, No. 3, 1984, pp. 483-494.

- [۱۱] E. Z. Zhou, O.P. Malik, G.S. Hope., “Theory and method for selection of power system stabilizer location”, IEEE Trans. On Energy Conversion, Vol. 6, No. 1, 1991, pp. 170-176.
- [۱۲] Y. Zhuang, A. Feliachi, “Identification Of Optimal Location For Power System Stabilizers”, IEEE PROCEEDINGS 1988, pp. 236-238.
- [۱۳] A. Feliachi, “Optimal siting of power system stabilisers”, IEE PROCEEDINGS, Vol. 137, Pt. C. No. 2, 1990, pp. 101-106.
- [۱۴] R. Yen, P. W. Sauer, “Eigenvalue Tracking for PSS Placement”, IEEE conference North American Power Symposium (NAPS), 2009, pp. 1-6.
- [۱۵] T. Hiyama, “Coherency-based Identification of Optimum Site for Stabilizer Applications”, IEE PROCEEDINGS, Vol. 130, Pt. C, No. 2, 1983, pp. 71-74.
- [۱۶] D. T. NGUYEN, D. GEORGES., “Controllability Gramian for Optimal Placement of Power System Stabilizers in Power Systems”, Circuits and System, 2006. APCCAS 2006, IEEE Asia Pacific Conference, pp. 1373-1378.
- [۱۷] Y. Y. Hsu, C. L. Chen., "Identification of Optimum Location of Stabilizer Applications Using Participation Factors", IEEE PROCEEDINGS., Vol. 134, Pt. C. No. 3, 1987, pp. 238-244.
- [۱۸] Z. Ao, T.S. Sidhu, R.J. Fleming., “Stability investigation of a longitudinal power system and its stabilization by a coordinated application of power system stabilizers”, IEEE Trans. On Energy Conversion, Vol. 9, No. 4, 1994, pp. 466-474.
- [۱۹] A. Karimpour, R. Asgharian, O.P. Malik., “Determination of PSS location based on singular value decomposition”, Electrical Power and Energy Systems 27 (2005), 2005, pp. 535–541.
- [۲۰] J. V. Milanovic, A. C. S. Duque, “Identification of Electromechanical Modes and Placement of PSSs Using Relative Gain Array”, IEEE TRANSACTIONS ON POWER SYSTEMS, VOL. 19, NO. 1, 2004, pp. 410-417.
- [۲۱] N. Martins, L. T. G. Lima, “Determination of suitable locations for damping electromechanical oscillations in large scale power systems” IEEE Trans. Power Systems, vol. 5, No. 4, 1990, pp. 1455-1469.
- [۲۲] H. Li, Q. Liu, and S. Peng., “Selection of Suitable Installing Locations of PSS in Large Scale Power Systems” in IEEE International Conference on Power System Technology. 2004. POWERCON 2004, pp. 1106-1110.

- [۲۳] K. Sebaa, M. Boudour, "Optimal Locations and tuning of Robust Power System Stabilizers using Genetic Algorithms", IEEE industrial Electronics, IECON 2006-32nd Annual Conference on, pp. 501-506.
- [۲۴] J. L. Hsiao, D. Chiang and J. S. Thorp, "Identification of Optimum Sites for Power System Stabilizer Applications", IEEE Transactions on Power Systems, Vol. 5, No.4, 1990, pp. 1302-1308.
- [۲۵] M. Eslami, H. Shareef, A. Mohamed, M. Khajehzadeh, "Optimal Location of PSS Using Improved PSO with Chaotic Sequence", International Conference on Electrical, Control and Computer Engineering (INECCE) 2011, pp. 253-258.
- [۲۶] F.P. deMello, C. Concoridia, "Concept of Synchronous Machine Stability as Affected by Excitation Control," IEEE Trans. on PAS, vol. 88, pp. 316-329, Apr. 1969.
- [۲۷] P. Kundur, D.C. Lee, H.M. Zein El-Din, "Power System Stabilizers for Thermal Units: Analytical Techniques and On-site Validation," IEEE Trans. on PAS, vol. PAS-100, no.1, pp. 81-95, Jan. 1981.
- [۲۸] C.M. Lim, and S. Elangovan, "A New Stabilizer Design Technique for Multimachine Power systems," IEEE Trans., Vol.PAS-104, pp.2393-2400, 1985.
- [۲۹] D. R. Ostoicic "STABILIZATION OF MULTIMODAL ELECTROMECHANICAL OSCILLATIONS BY COORDINATED APPLICATION OF POWER SYSTEM STABILIZERS" IEEE Trans on Power Systems. Vol. 6, No. 4. November 1991.
- [۳۰] M. Hasanovic ', A. Feliachi, A. Hasanovic ', N. B. Bhatt, and A. G. DeGroff "Practical Robust PSS Design Through Identification of Low-Order Transfer Functions". IEEE TRANSACTIONS ON POWER SYSTEMS, VOL. 19, NO. 3, AUGUST 2004.
- [۳۱] K. Glover and J. C. Doyle, "State-space formulae for all stabilizing controllers that satisfy an H_∞ -norm bound and relations to risk sensitivity," Syst. Contr. Lett., vol. 11, pp. 167-172, 1988.
- [۳۲] J. C. Doyle, K. Glover, P. P. Khargonekar, and B. A. Francis, "Statespace solutions to standard H_2 and H_∞ control problems," IEEE Trans Automat. Contr., vol. 34, pp. 831-847, 1989.
- [۳۳] P. S. Rao and I. Sen " Robust Pole Placement Stabilizer Design Using Linear Matrix Inequalities " IEEE Trans On Power System, VOL. 15, NO. I, FEBRUARY 2000.
- [۳۴] M. Abido, "Parameter optimization of a multi-machine power system stabilizer using genetic local search", Electrical Power and Energy Systems 23 ,2001,pp 785-792.

- [۳۵] J. Kennedy, R. C. Eberhart, *Swarm Intelligence*, Morgan Kaufmann, 2001.
- [۳۶] J. Kennedy, "The particle swarm: Social adaptation of knowledge," in Proc. IEEE Int. Conf. Evolutionary Comput., Indianapolis, IN, 1997, pp. 303-308.
- [۳۷] T. K. Das, and G. K. Venayagamoorthy, " Optimal Design of Power System Stabilizers Using a Small Population Based PSO " power engineering society general meeting , 2006, IEEE.
- [۳۸] K. A. Folly, "Multimachine Power System Stabilizer Design Based on a Simplified Version of Genetic Algorithms Combined with Learning", ISAP 2005.
- [۳۹] IEEE Recommended Practice for Excitation System Models for Power System Stability Studies, IEEE Standard 421.5-2005.
- [۴۰] M. Mišković, M. Mirošević, Z. Maljković, "Analysis of Synchronous Generator Stability in Case of Separate and Self-Excitation System" 14th International Power Electronics and Motion Control Conference, EPE-PEMC 2010.
- [۴۱] W. G. Heffron and R. A. Philips, Effect of modern amplidyne voltage regulator on underexcited operation of large turbine generators. AIEE Trans. Power Appar. Syst. 692-697, Aug. 1952.
- [۴۲] پژوهشکده برق پژوهشگاه نیرو، "تعیین پارامترهای دینامیکی یک واحد نیروگاه حرارتی توس" ، ایران،

.۱۳۸۴

- [۴۳] P. M. Anderson and A. A. Fouad, "Power System Stability", Iowa state university press, Ames, Iowa, 1977.
- [۴۴] J. Machowski, J. W. Bialek, J. R. Bumby, "Power System Dynamics: Stability and Control" Second Edition, John Wiley & Sons Ltd, West Sussex, United Kingdom, 2008.
- [۴۵] M. S. Dyrcz, C. C. Young, and F. J. Maginniss, "A digital transient stability program including the effects of regulator, exciter, and governor response," AIEE Trans. Power Apparatus and Systems), vol. 79, pp. 1245-1257, 1960 (February 1961 sec.).
- [۴۶] L. Bu, W. Xu, L. Wang, F. Howell, P. Kundur., "A PSS Tuning Toolbox and Its Application". IEEE Conference, 2003.
- [۴۷] Yao-Nan Yu, *Electric Power System Dynamics*. New York: Academic Press, 1983.